



Evolution of the Antarctic surface mass balance by high-resolution downscaling and impact on sea-level change for the next centuries

**Cécile AGOSTA, Vincent FAVIER, Christophe GENTHON,
Hubert GALLÉE and Gerhard KRINNER**

Laboratoire de Glaciologie et Géophysique de l'Environnement
CNRS/UJF – Grenoble, France



Laboratoire de Glaciologie et Géophysique de l'Environnement



UNIVERSITÉ DE GRENOBLE



1.1

1

Model

2

Valid.

3

Futur

4

Concl.

5



Mass balance uncertainties

Grounded ice sheet :

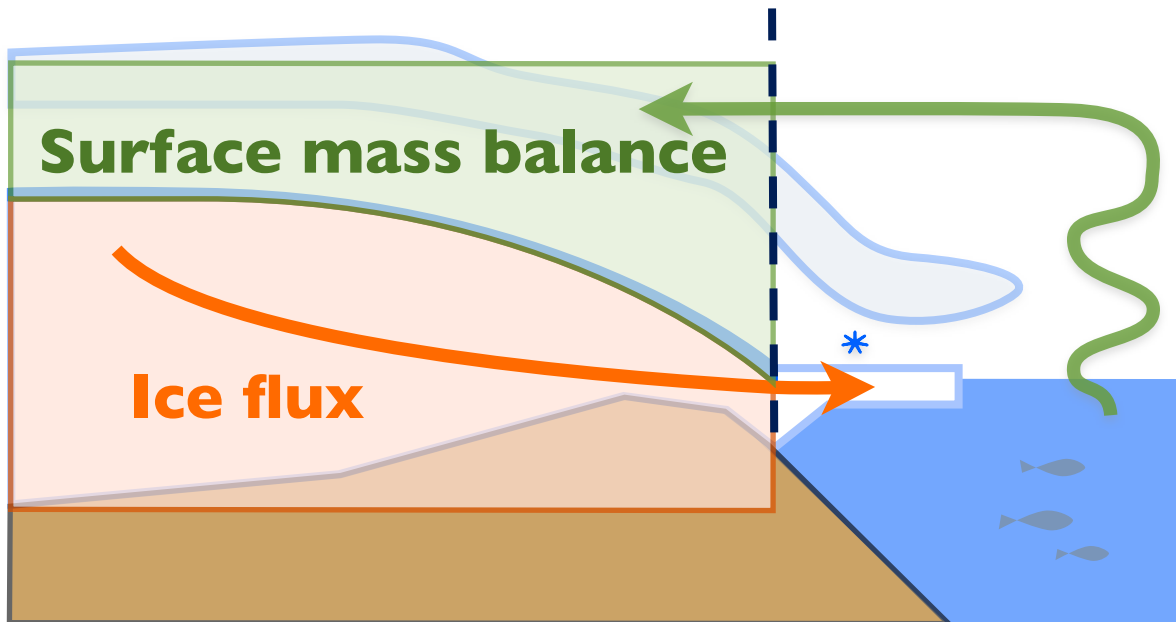
Surface mass balance + Ice flux**= Mass balance = Sea level contribution**

Estimations for the end of the 20th century :

$$= (-5,5 \pm 0,3) + (6,0 \pm 0,1) \text{ mm/yr}$$

Lenaerts et al. 2012 Rignot et al. 2011

$$= (0,5 \pm 0,4) \text{ mm/yr}$$

Observed sea level rise : ~3 mm/yr

1.1

1

Model

2

Valid.

3

Futur

4

Concl.

5



Mass balance uncertainties

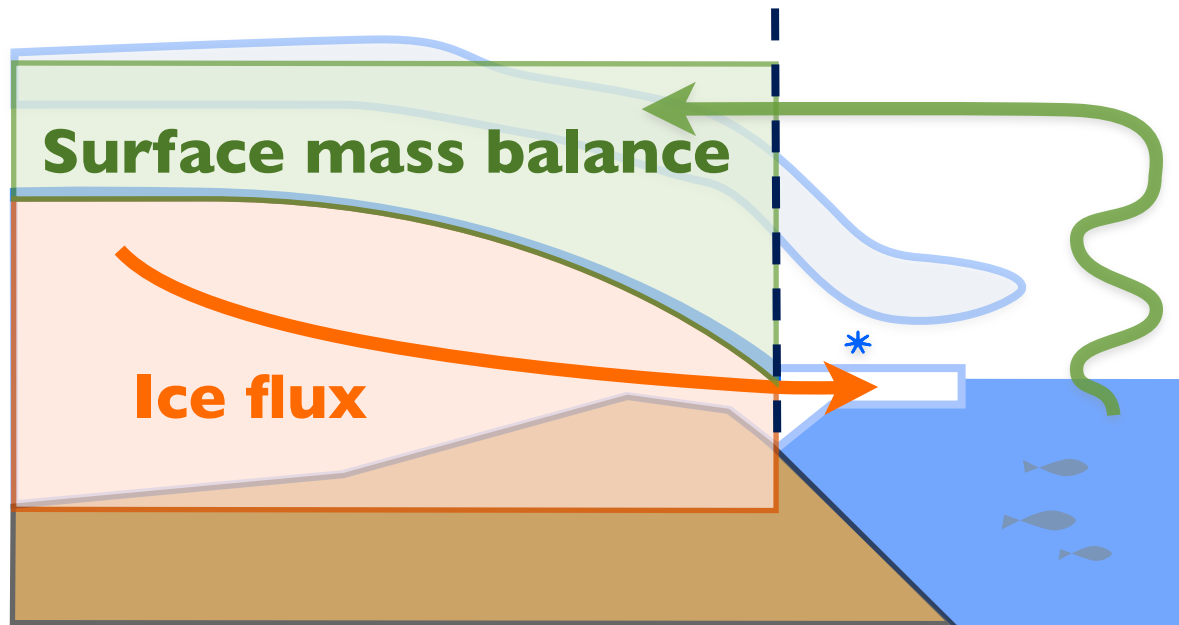
Grounded ice sheet :

Surface mass balance + Ice flux**= Mass balance = Sea level contribution**

Estimations for the end of the 20th century :

= $(-5,5 \pm 0,3) + (6,0 \pm 0,1)$ mm/yr

Lenaerts et al. 2012 Rignot et al. 2011

= $(0,5 \pm 0,4)$ mm/yr**Observed sea level rise : ~3 mm/yr**

1.1

Mass balance uncertainties

1

Model

2

Valid.

3

Futur

4

Concl.

5



Evolution for the next centuries ?

Response to global warming :

Surface mass balance : instantaneous

Ice flux : acceleration, indirect effect

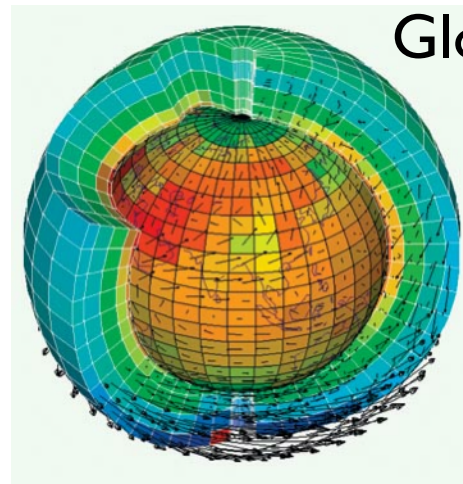
(in West Antarctica, Pritchard et al. 2012)



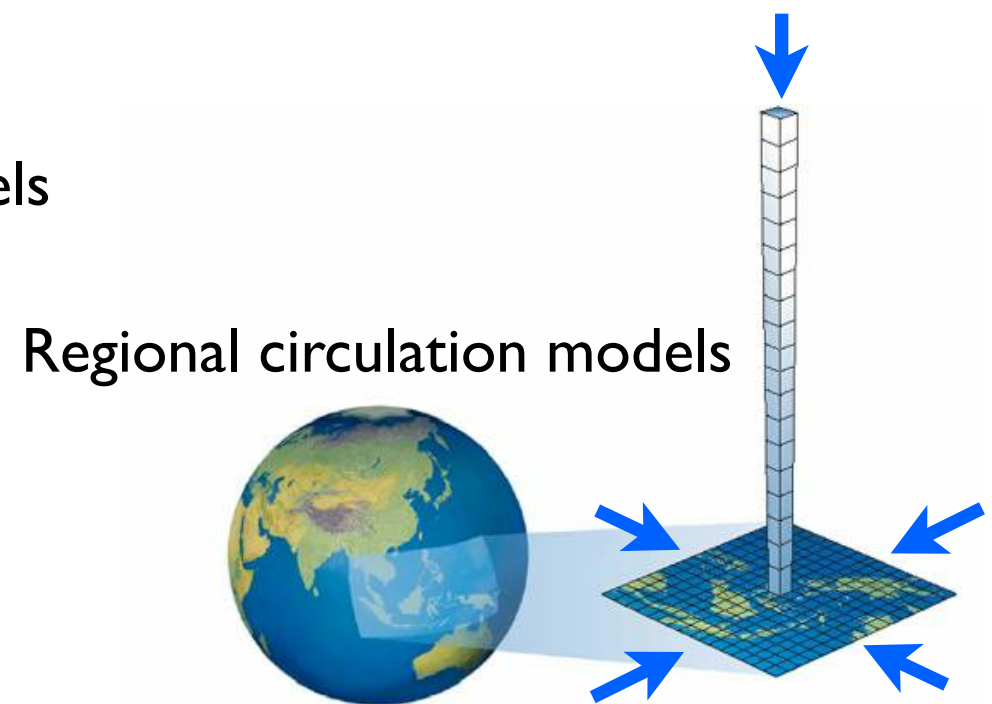
1.2

Aim of the downscaling ?

Modeling : only tool to estimate the SMB evolution



Global circulation models



Regional circulation models

Antarctic SMB estimations

depend on models **resolution**

(IPCC 2007, Genthon et al. 2009)

1.2

Aim of the downscaling ?

1

Model

2

Valid.

3

Futur

4

Concl.

5



Good SMB estimation :
require **high resolution (<20 km)**
at ice-sheet margins
(high accumulation, complex topography)

BUT :
Large spatial extent (5000 km x 5000 km)
Large temporal extent (hundred of years)

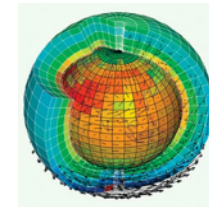
→ Climate models **limited by computational costs**

2.1

Downscaling method

INPUTS

(RESOLUTION : ~50 KM)

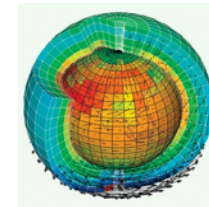
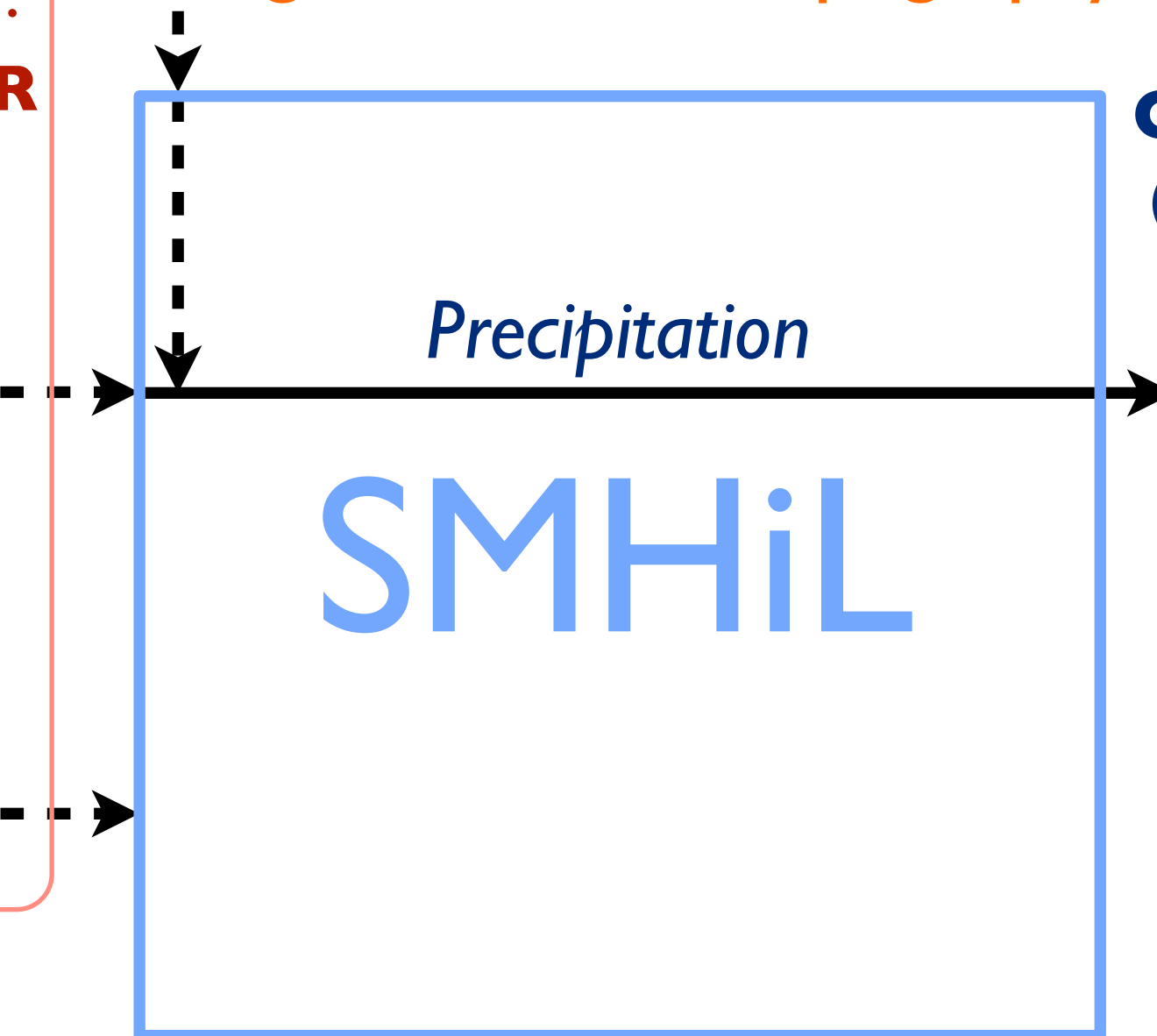
**Large-scale
model outputs :****P, T, Q, U, V, W, R****3D Fields****Time step : 6H****Surface fields****Time step : 3H****High-resolution topography****OUTPUTS**
(RES. : ~15 KM)**SMHiL**

2.1

Downscaling method

INPUTS

(RESOLUTION : ~50 KM)

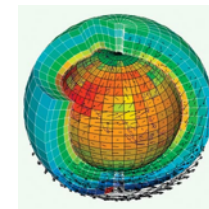
**Large-scale
model outputs :****P, T, Q, U, V, W, R****3D Fields****Time step : 6H****Surface fields****Time step : 3H****High-resolution topography****Precipitation****SMHiL****OUTPUTS**
(RES. : ~15 KM)

2.1

Downscaling method

INPUTS

(RESOLUTION : ~50 KM)

**Large-scale
model outputs :****P, T, Q, U, V, W, R**

3D Fields

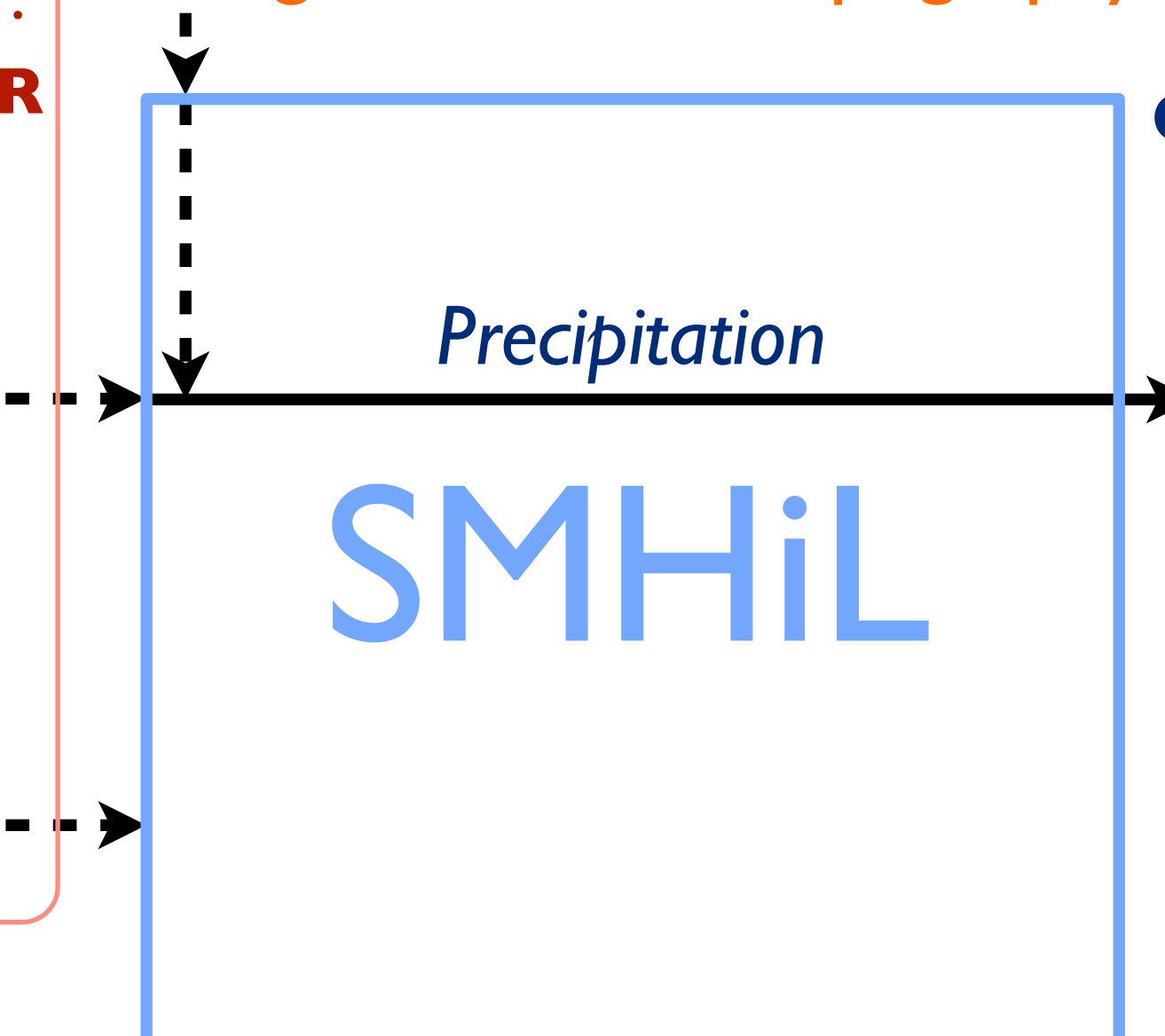
Time step : 6H

Surface fields

Time step : 3H

High-resolution topography

Precipitation

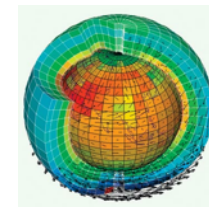
SMHiL**OUTPUTS**
(RES. : ~15 KM)Snow
Rain

2.1

Downscaling method

INPUTS

(RESOLUTION : ~50 KM)

Large-scale model outputs :**P, T, Q, U, V, W, R**

3D Fields

Time step : 6H

Surface fields

Time step : 3H

High-resolution topography

Precipitation

SMHiL

Surface energy balance

OUTPUTS

(RES. : ~15 KM)

Snow

Rain

⋮

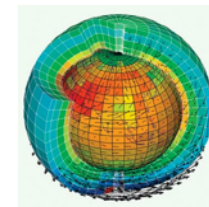


2.1

Downscaling method

INPUTS

(RESOLUTION : ~50 KM)

Large-scale model outputs :**P, T, Q, U, V, W, R**

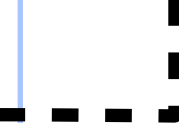
3D Fields

Time step : 6H

Surface fields

Time step : 3H

High-resolution topography

**Precipitation****SMHiL****Surface energy balance****OUTPUTS**
(RES. : ~15 KM)**Snow****Rain****Sublim.
Melting
Refreez.**

2.2

Precipitation downscaling

Goals

1

2

Valid.

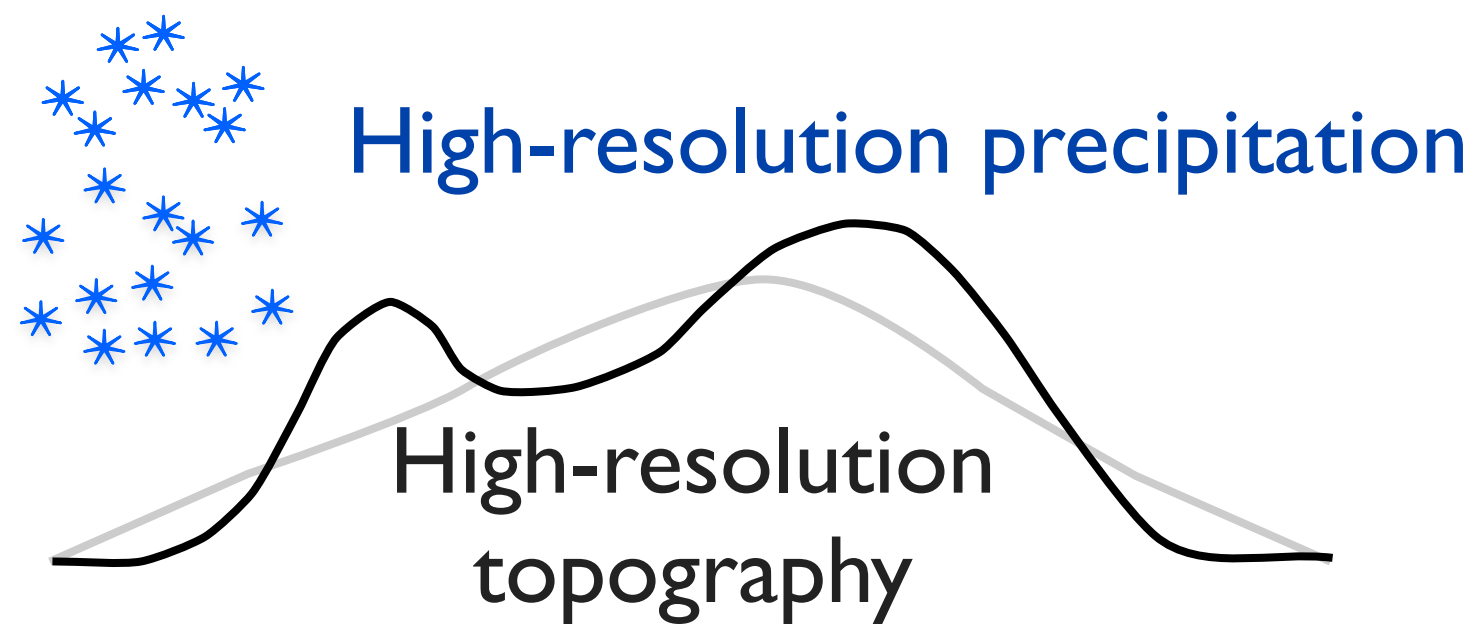
3

Futur

4

Concl.

5



2.2

Precipitation downscaling

Goals

1

2

Valid.

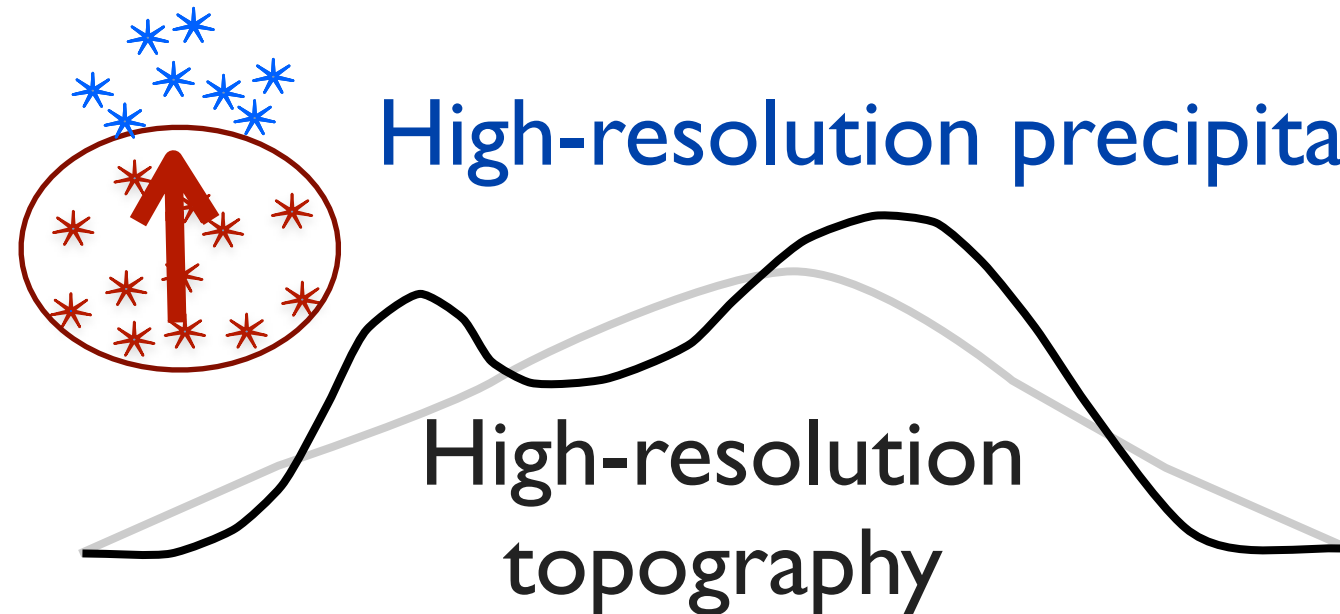
3

Futur

4

Concl.

5



Orographic precipitation
Linked to topography

I-D (air column) parametrization

Brasseur, Fettweis, Gallée, Gentil
Sinclair, 1994

Funk et Michaelsen, 2004
Durran and Klemp, 1982

2.2

Precipitation downscaling

Non-orographic precipitation

Synoptic scale

Computed from large-scale outputs

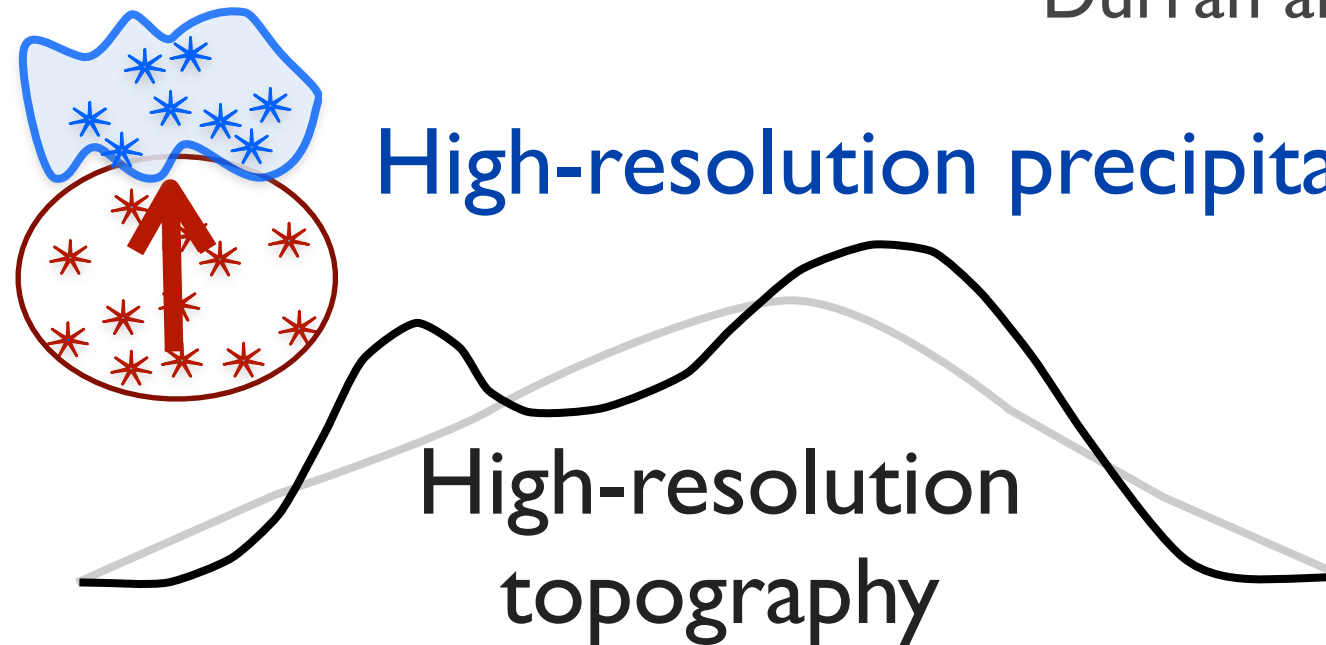
Orographic precipitation

Linked to topography

I-D (air column) parametrization

Brasseur, Fettweis, Gallée, Gentil
Sinclair, 1994

Funk et Michaelsen, 2004
Durran and Klemp, 1982



2.3

Goals

1

2

Valid.

3

Futur

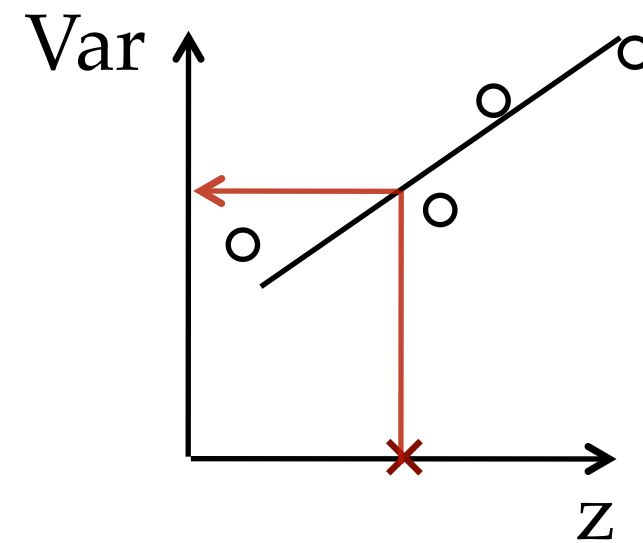
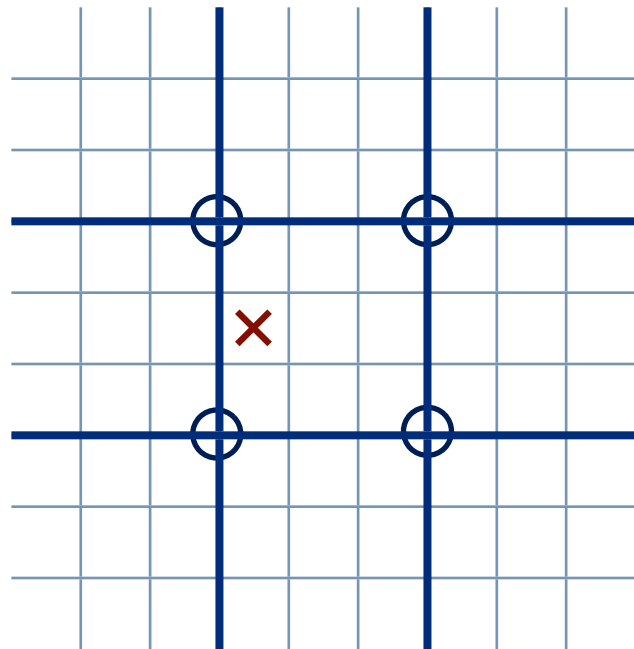
4

Concl.

5



Local regression of large-scale surface fields against the topography



2.3

Goals

1

2

Valid.

3

Futur

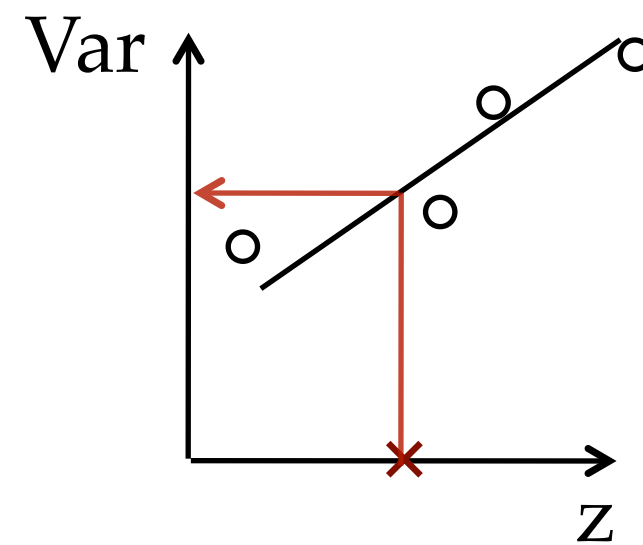
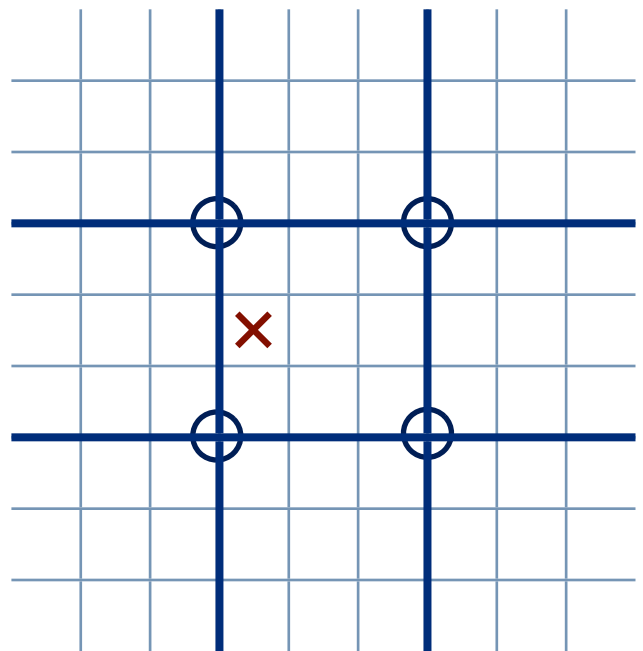
4

Concl.

5



Local regression of large-scale surface fields against the topography



Surface scheme

2.3

Goals

1

2

Valid.

3

Futur

4

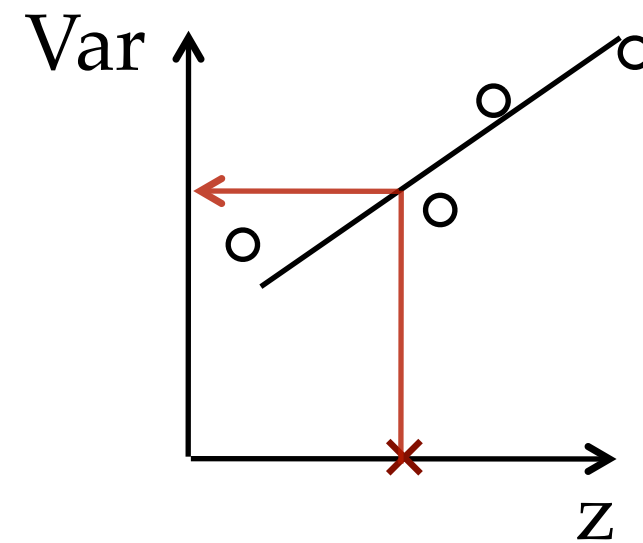
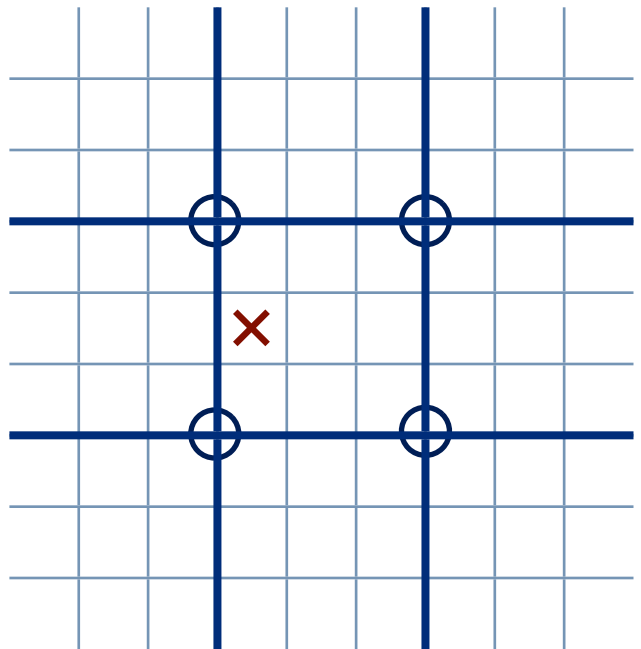
Concl.

5



Surface energy balance downscaling

Local regression of large-scale surface fields
against the topography



High-resolution
precipitation

Surface scheme

2.3

Goals

1

2

Valid.

3

Futur

4

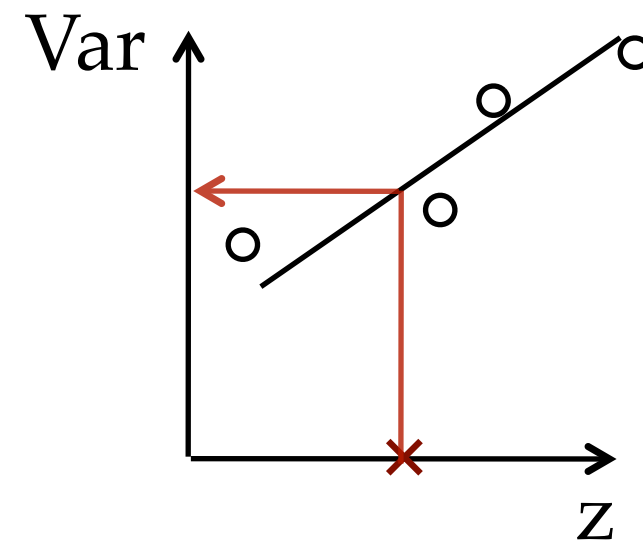
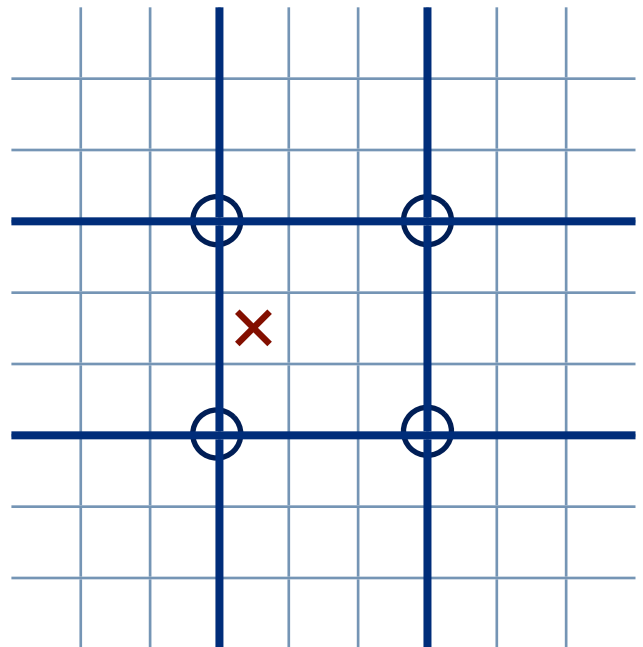
Concl.

5



Surface energy balance downscaling

Local regression of large-scale surface fields
against the topography



High-resolution
precipitation

Surface scheme
LMDZ4

Sublimation
Melting
Off-line Refreezing

2.3

Goals

1

2

Valid.

3

Futur

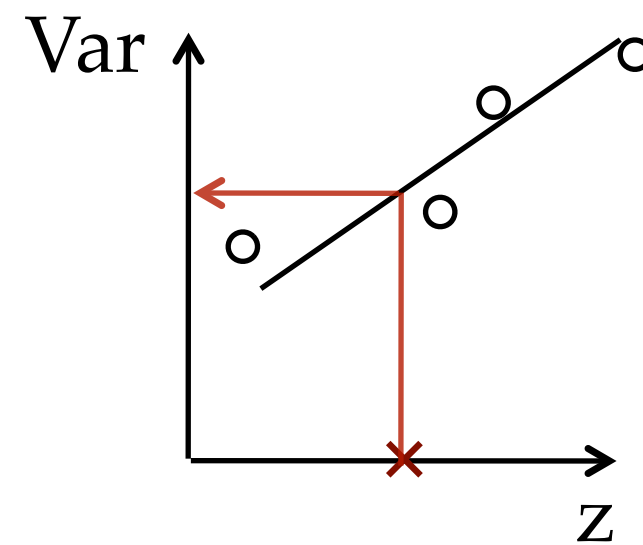
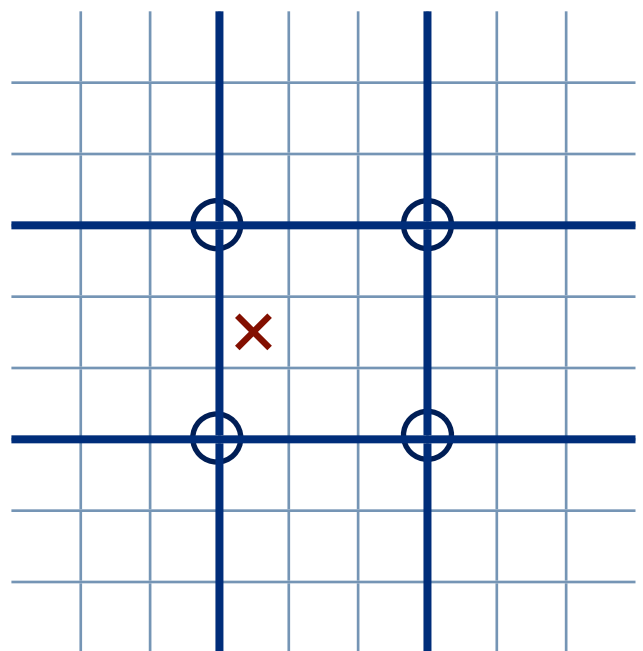
4

Concl.

5



Local regression of large-scale surface fields against the topography



High-resolution
precipitation



SISVAT (full scheme)

Sublimation
Melting

Sublimation
Melting
Off-line Refreezing Refreezing



3.1

Downscaling of an atmospheric global climate model

Goals

1

Model

2

3

Futur

4

Concl.

5

**LMDZ4**

French Global Circulation Model (IPCC 2007)

Zoomed on the Antarctic continent

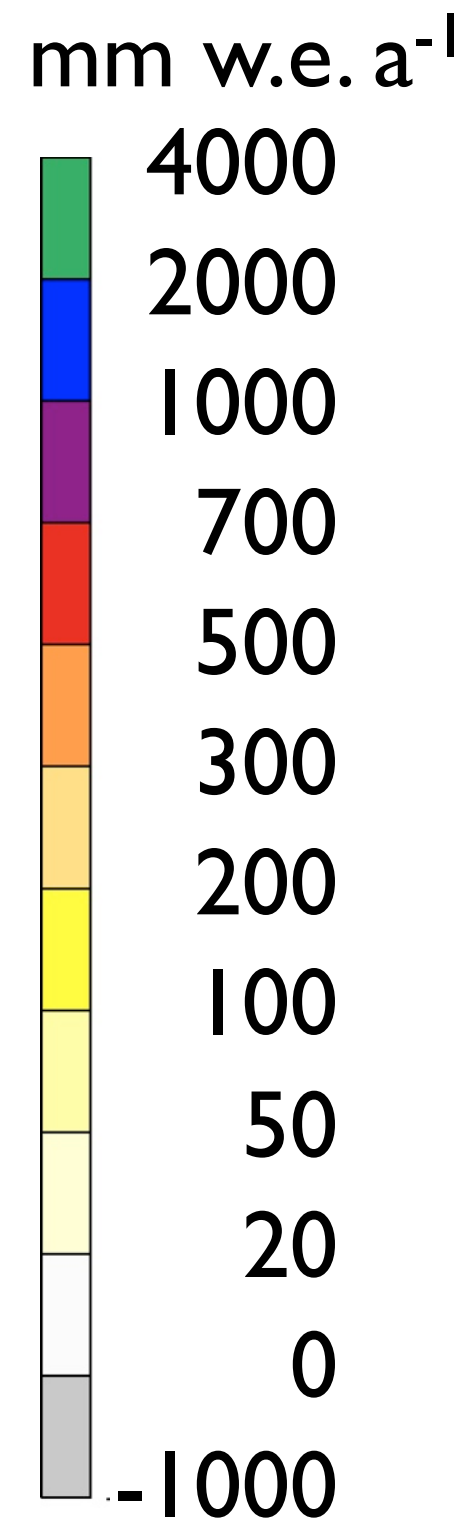
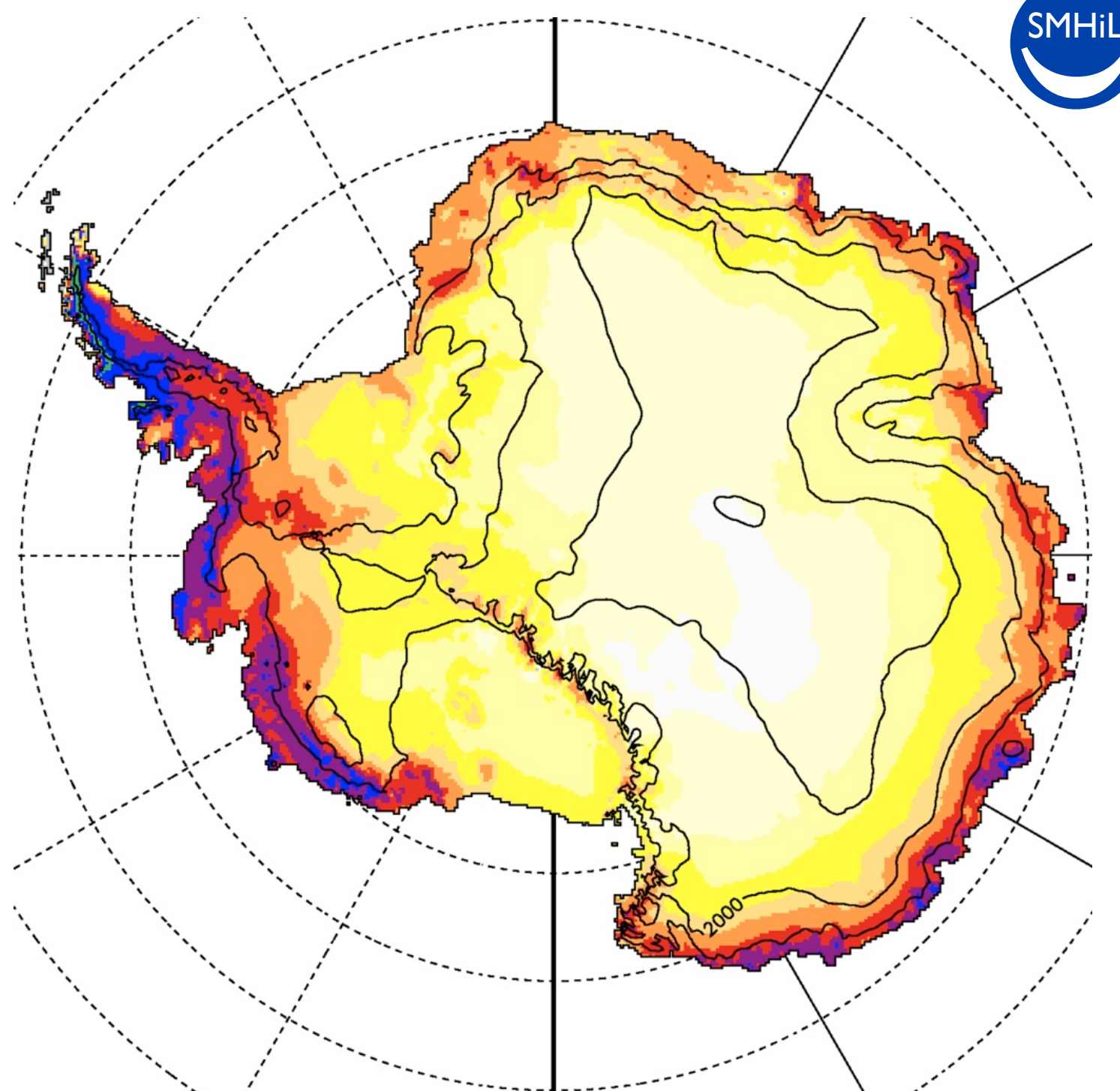
Climatic runs (decadal variability)

Antarctic resolution : **60 km** / Runs : **1980-2200**

3.2

Impact of downscaling on SMB estimation

SMB LMDZ4 1981-2000

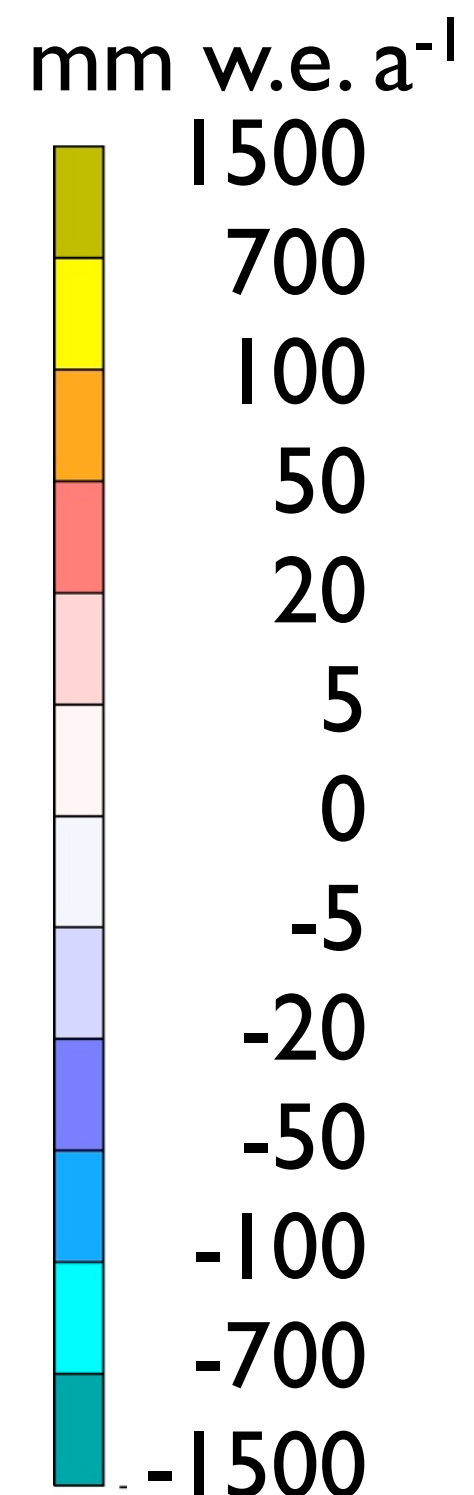
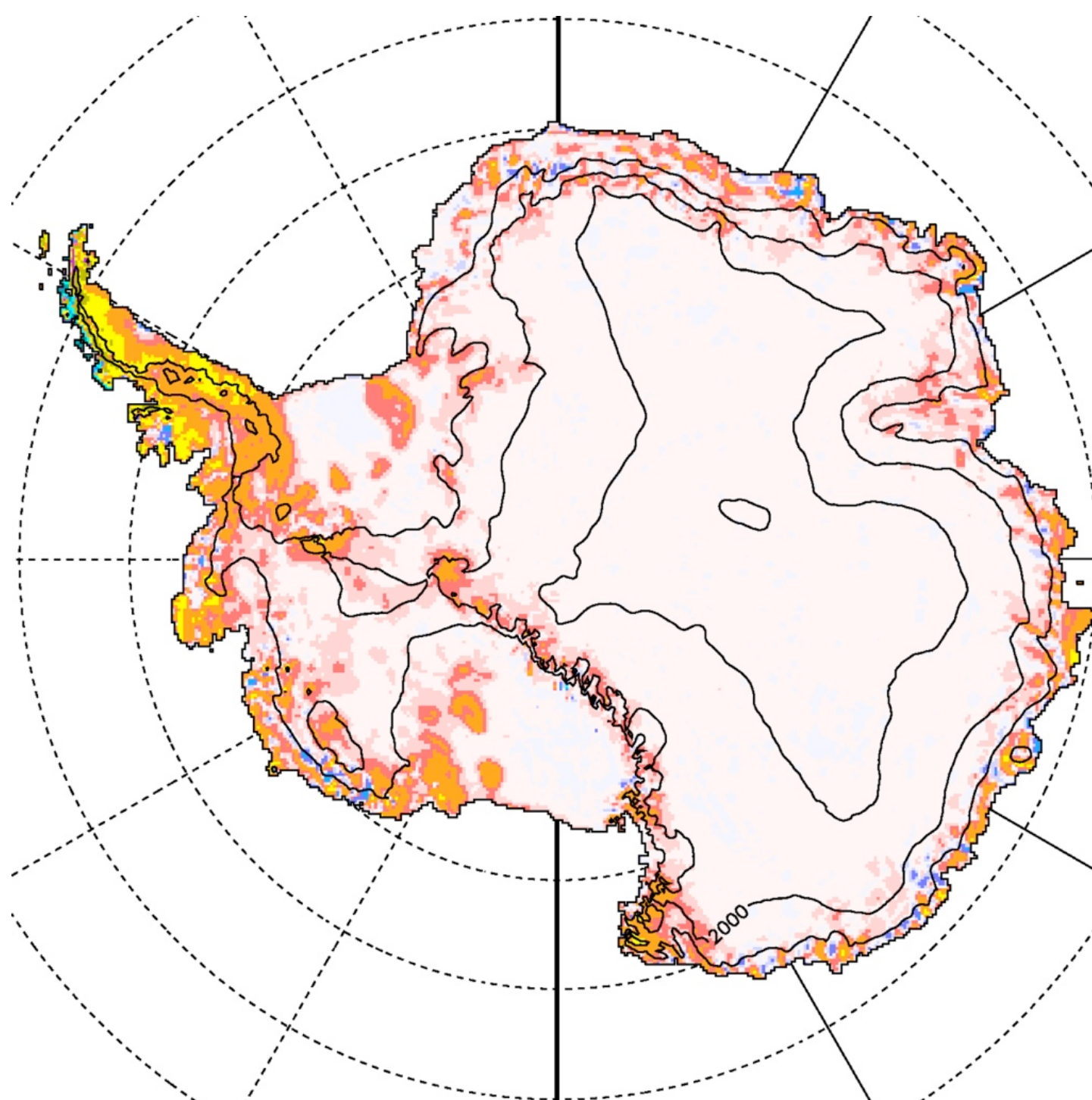
SMHiL

3.2

Impact of downscaling on SMB estimation

SMB LMDZ4 1981-2000

$$\Delta\text{SMB} = \text{SMHiL} - \text{Large-scale}$$



3.2

Impact of downscaling on SMB estimation

Contribution of present Antarctic SMB to sea-level changes

LMDZ4

Large-scale

- 5,6 mm/yr

SMHiL

- 6,5 mm/yr (+17%)
(- 0,9 mm/yr)

ERA-Interim

Large-scale

- 4,4 mm/yr

SMHiL

- 5,5 mm/yr (+26%)
(- 1 mm/yr)

Significantly different
How to validate it ?

3.3

Goals

1

Model

2

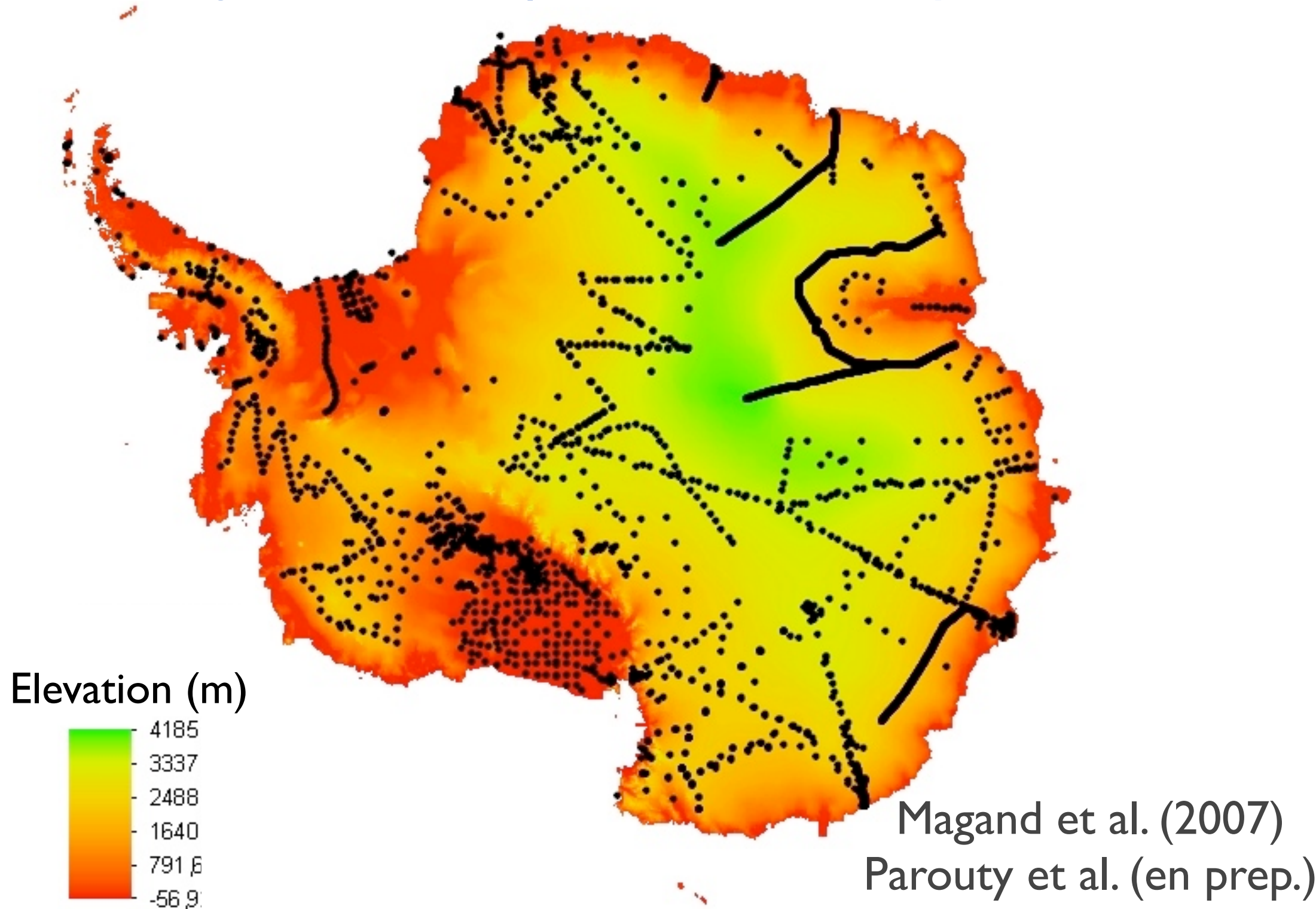
3

Futur

4

Concl.

5

Comparison to observations
SMB observations
Climatological scale / Up-to-date / Quality-controlled

3.3

Goals

1

Model

2

3

Futur

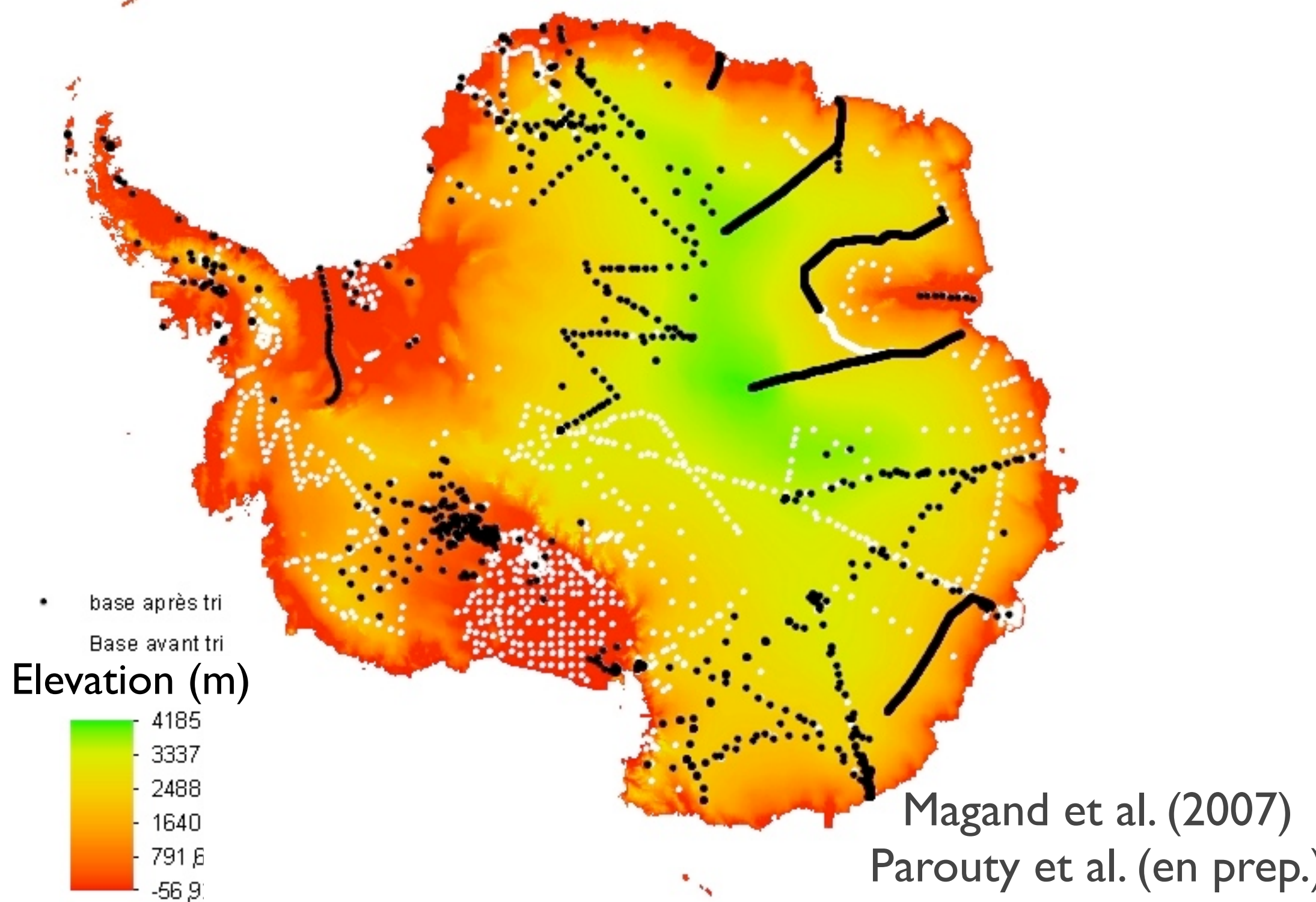
4

Concl.

5



SMB observations
Climatological scale / Up-to-date / Quality-controlled



3.3

Goals

1

Model

2

3

Futur

4

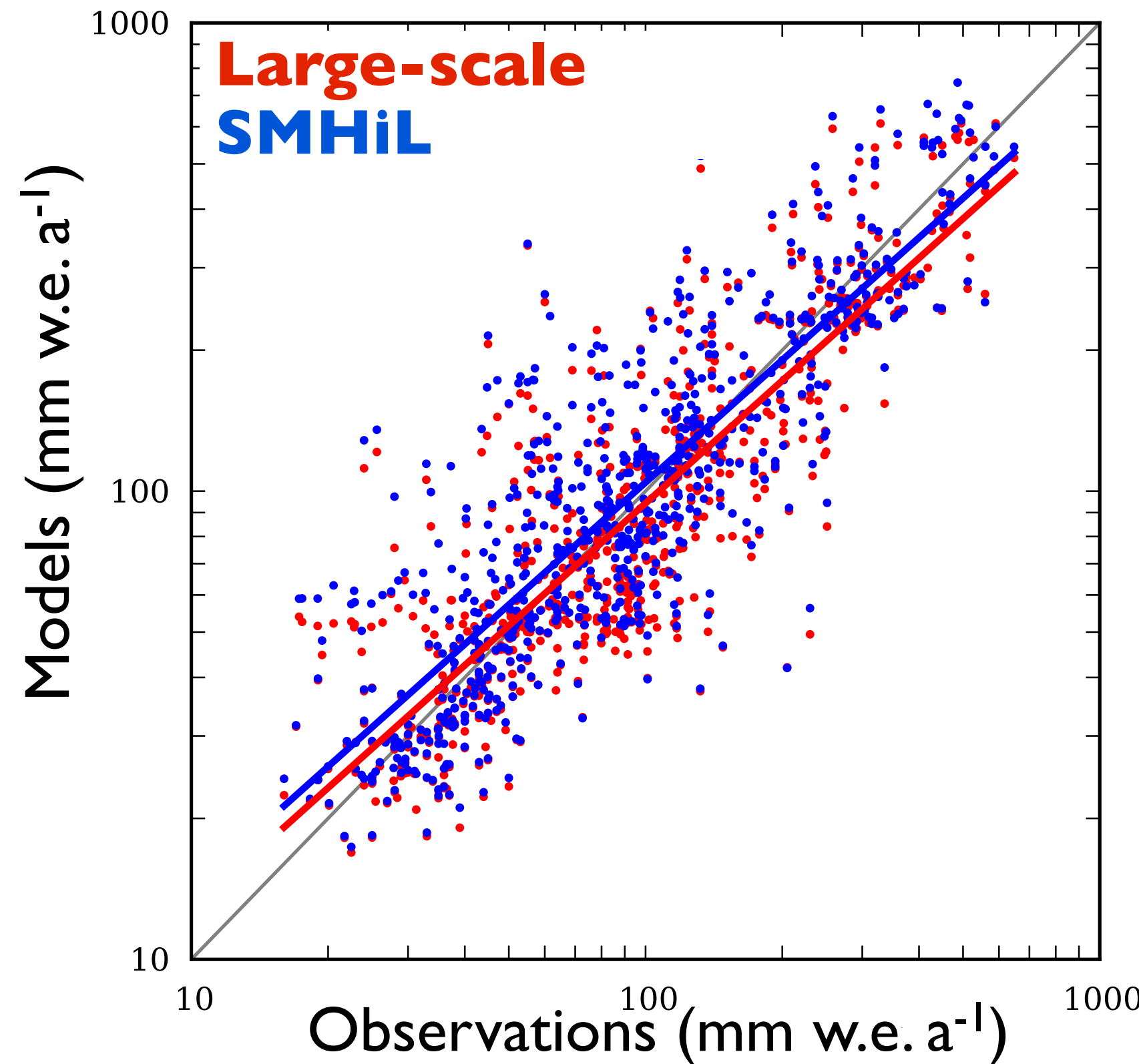
Concl.

5



Comparison to observations

SMB LMDZ4 1981-2000



3.3

Goals

1

Model

2

3

Futur

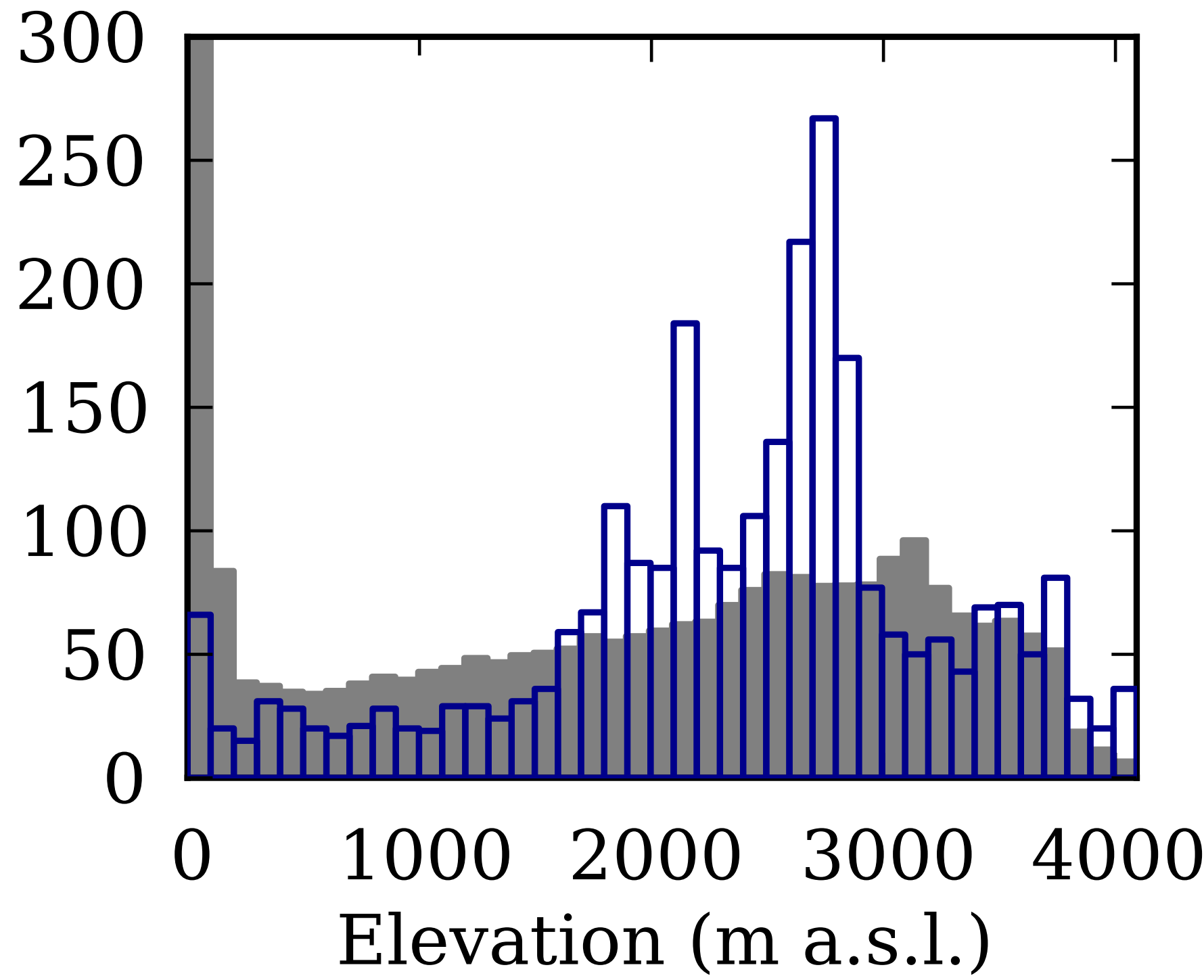
4

Concl.

5



Comparison to observations

Observations number
by elevation binsNormalized surface
by elevation bins

3.3

Goals

1

Model

2

3

Futur

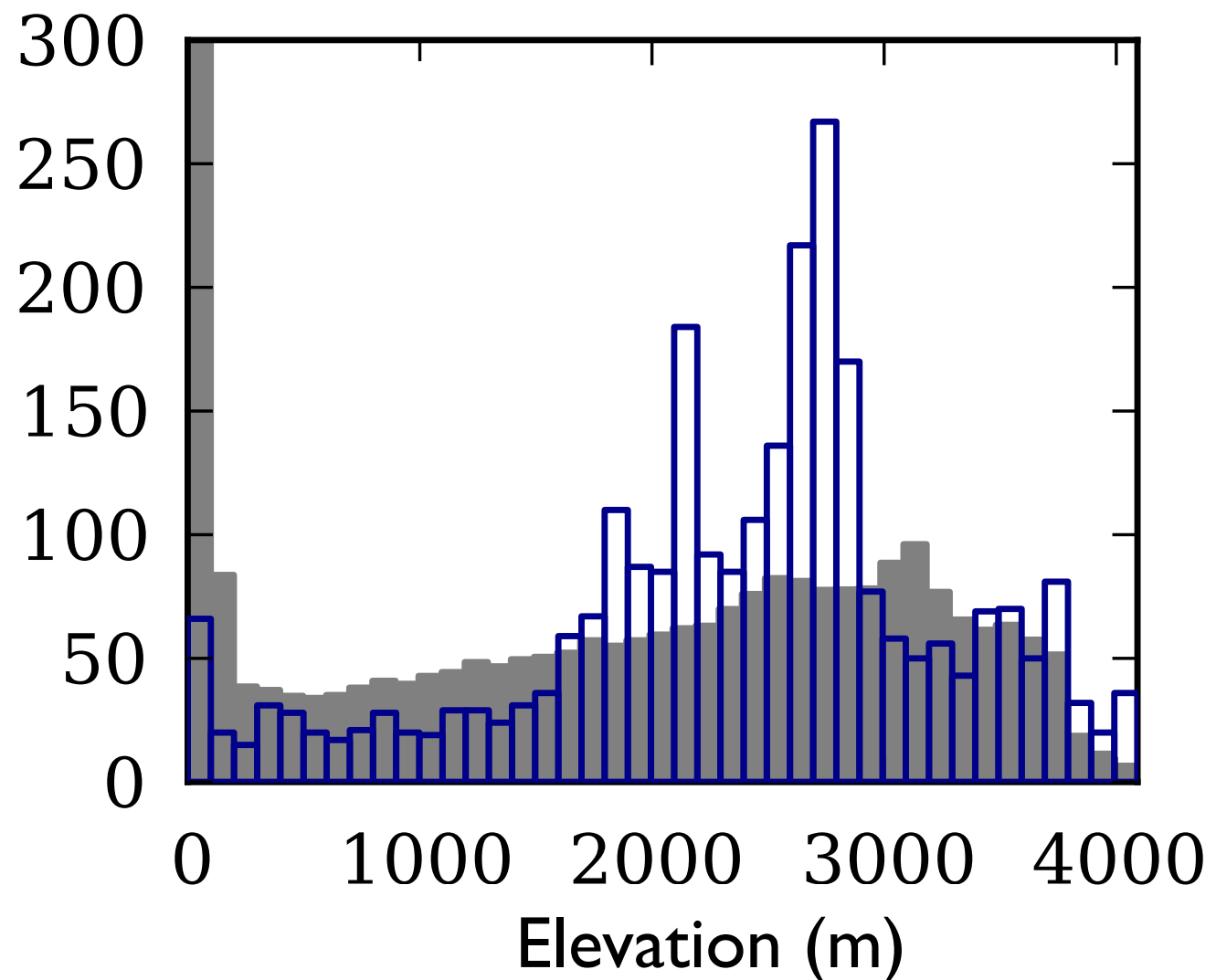
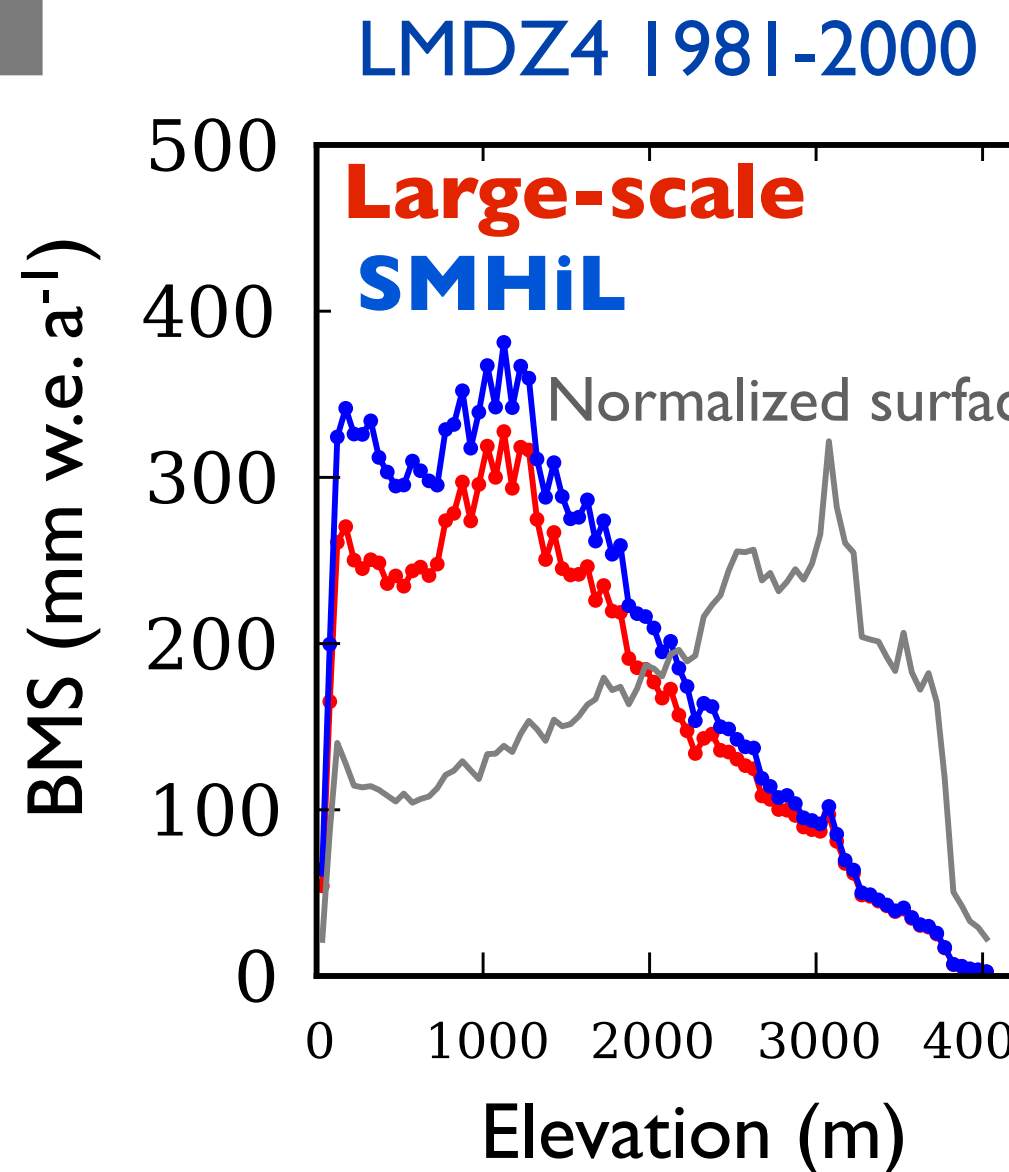
4

Concl.

5



Comparison to observations

Observations number
by elevation binsNormalized surface
by elevation bins

3.4

Goals

1

Model

2

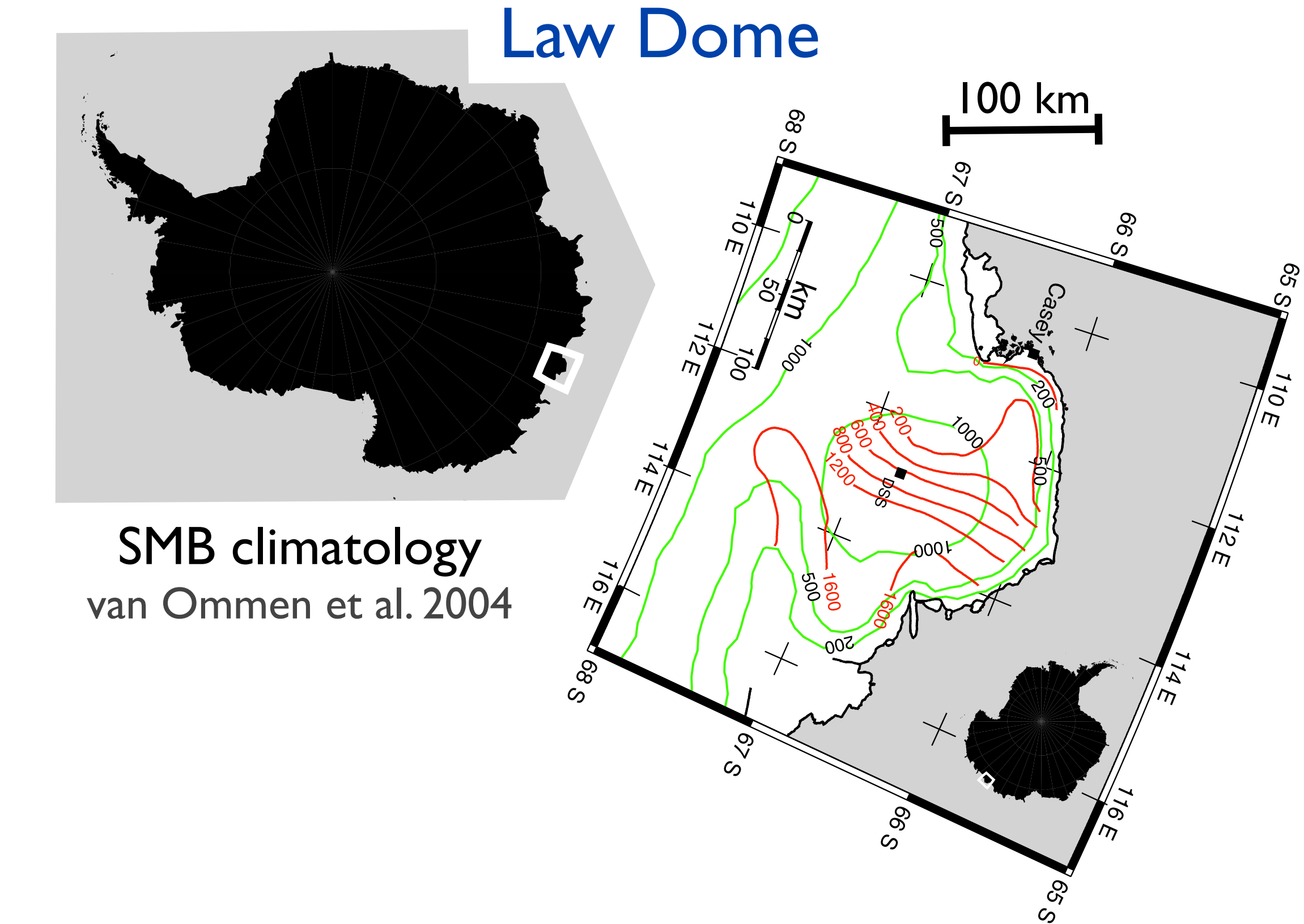
3

Futur

4

Concl.

5



3.4

Goals

1

Model

2

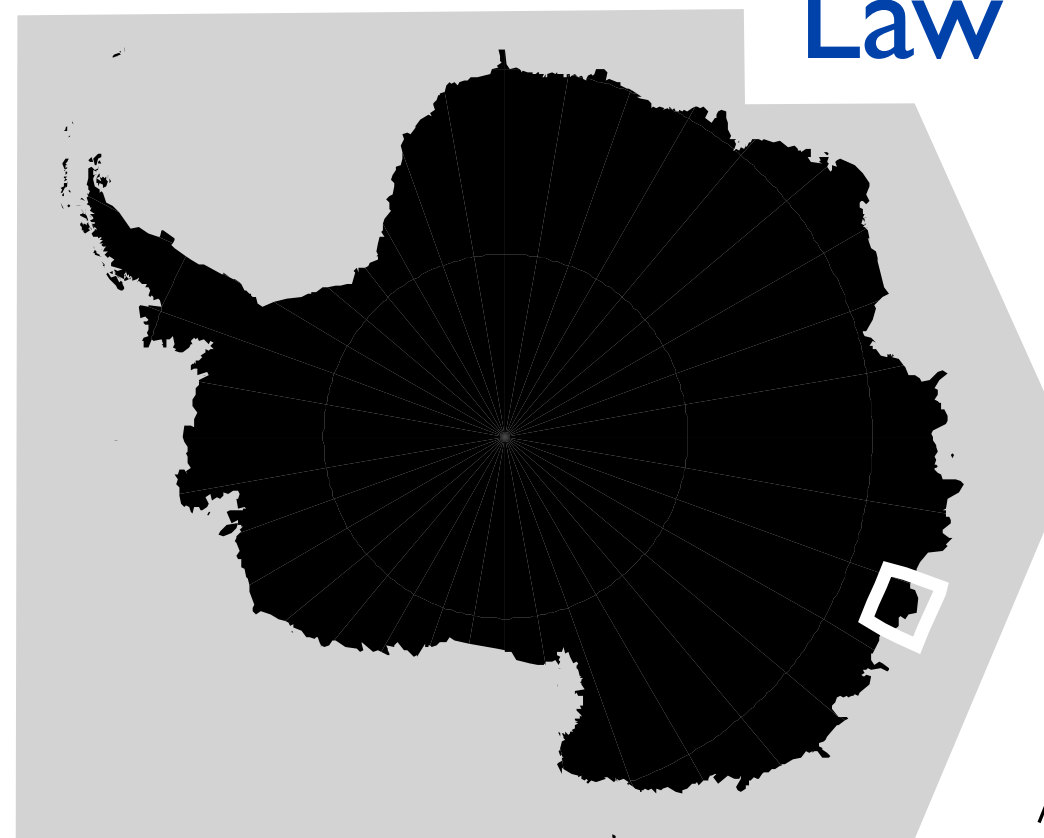
3

Futur

4

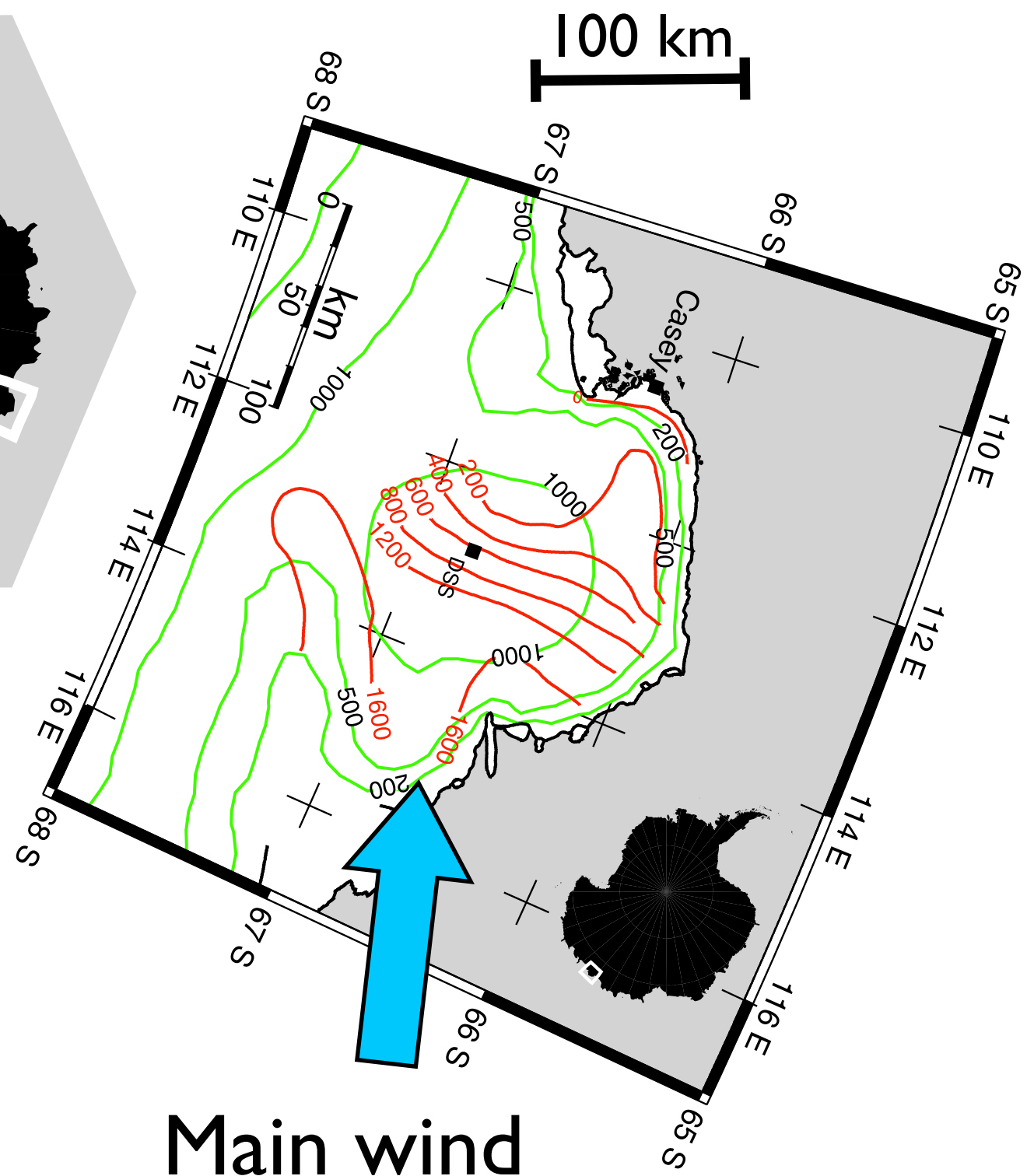
Concl.

5



SMB climatology
van Ommen et al. 2004

Law Dome



3.4

Goals

1

Model

2

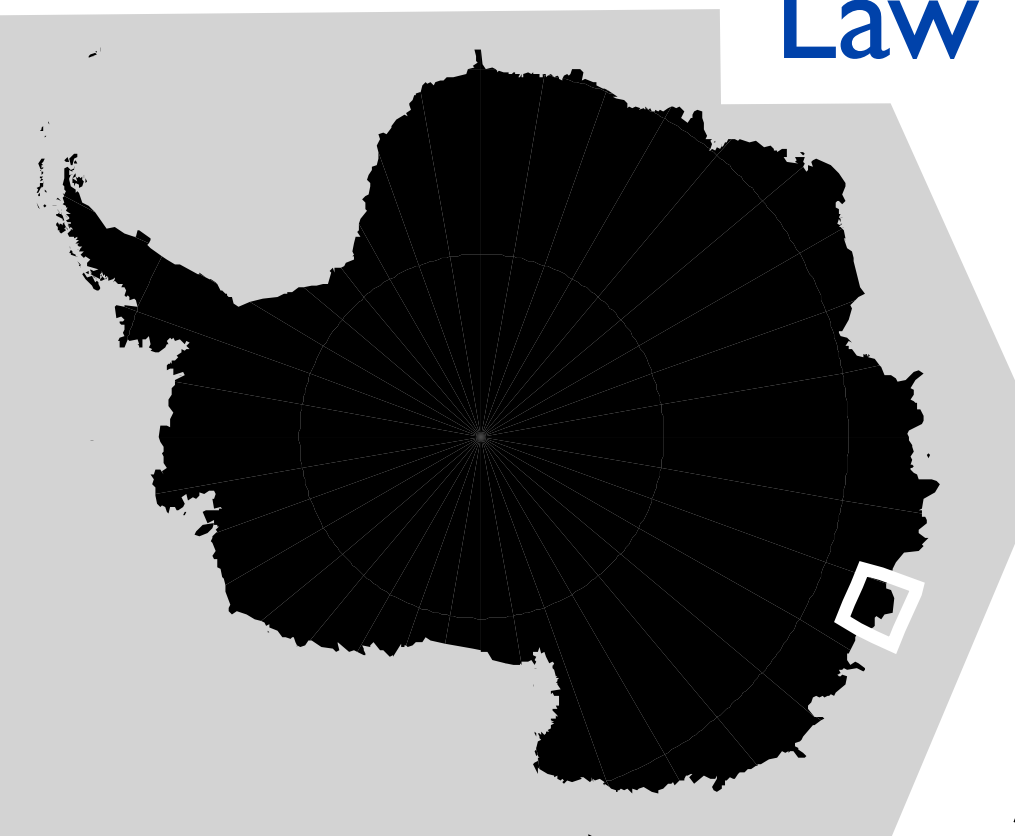
3

Futur

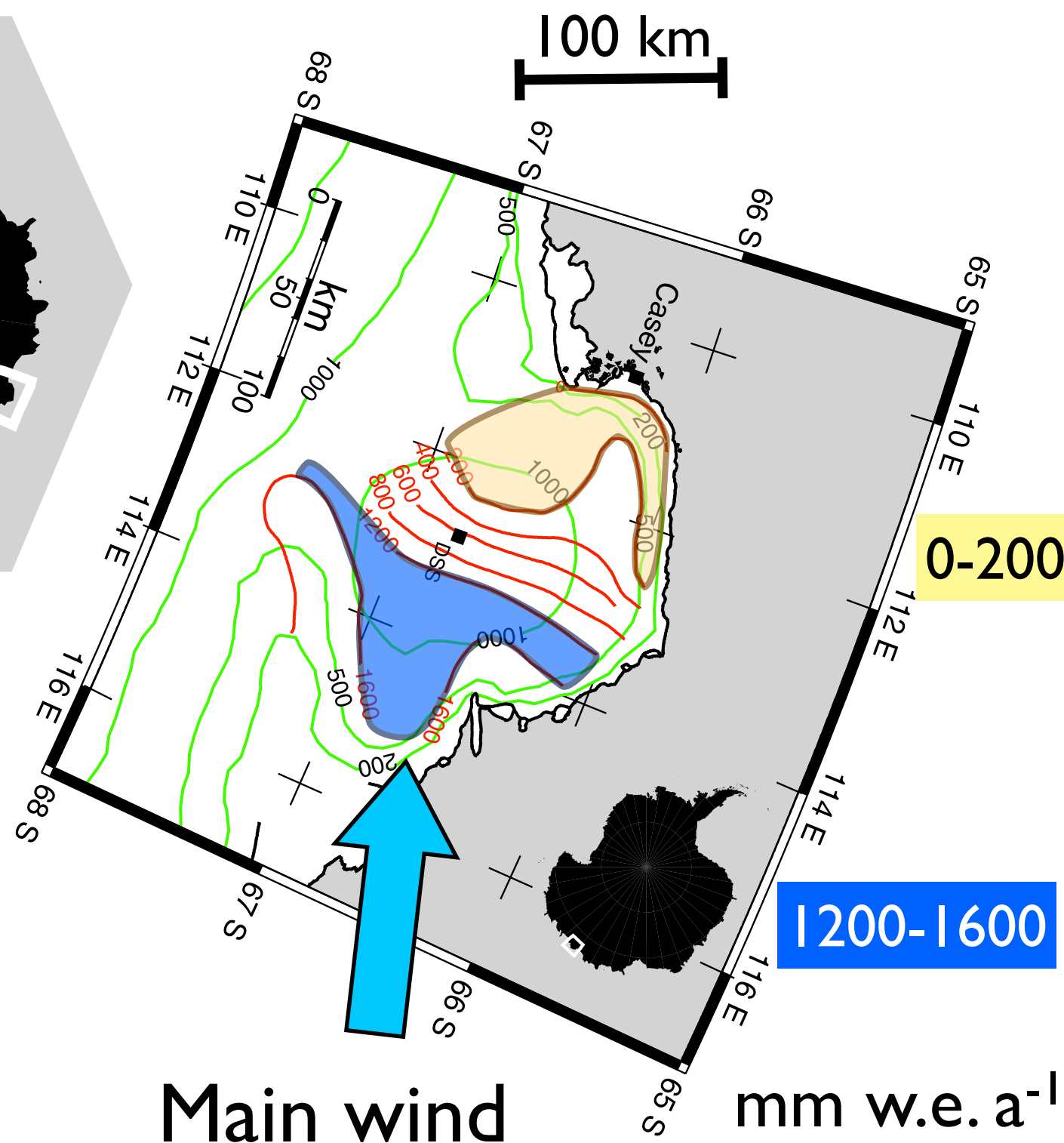
4

Concl.

5



SMB climatology
van Ommen et al. 2004



3.4

Goals

1

Model

2

3

Futur

4

Concl.

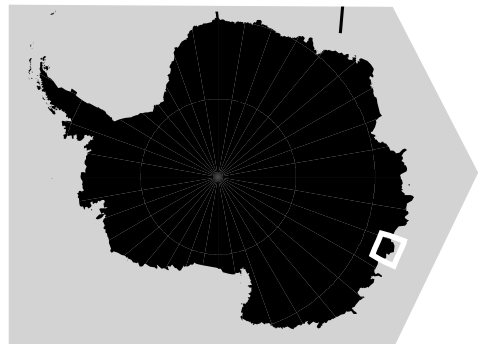
5



16/07/12

15

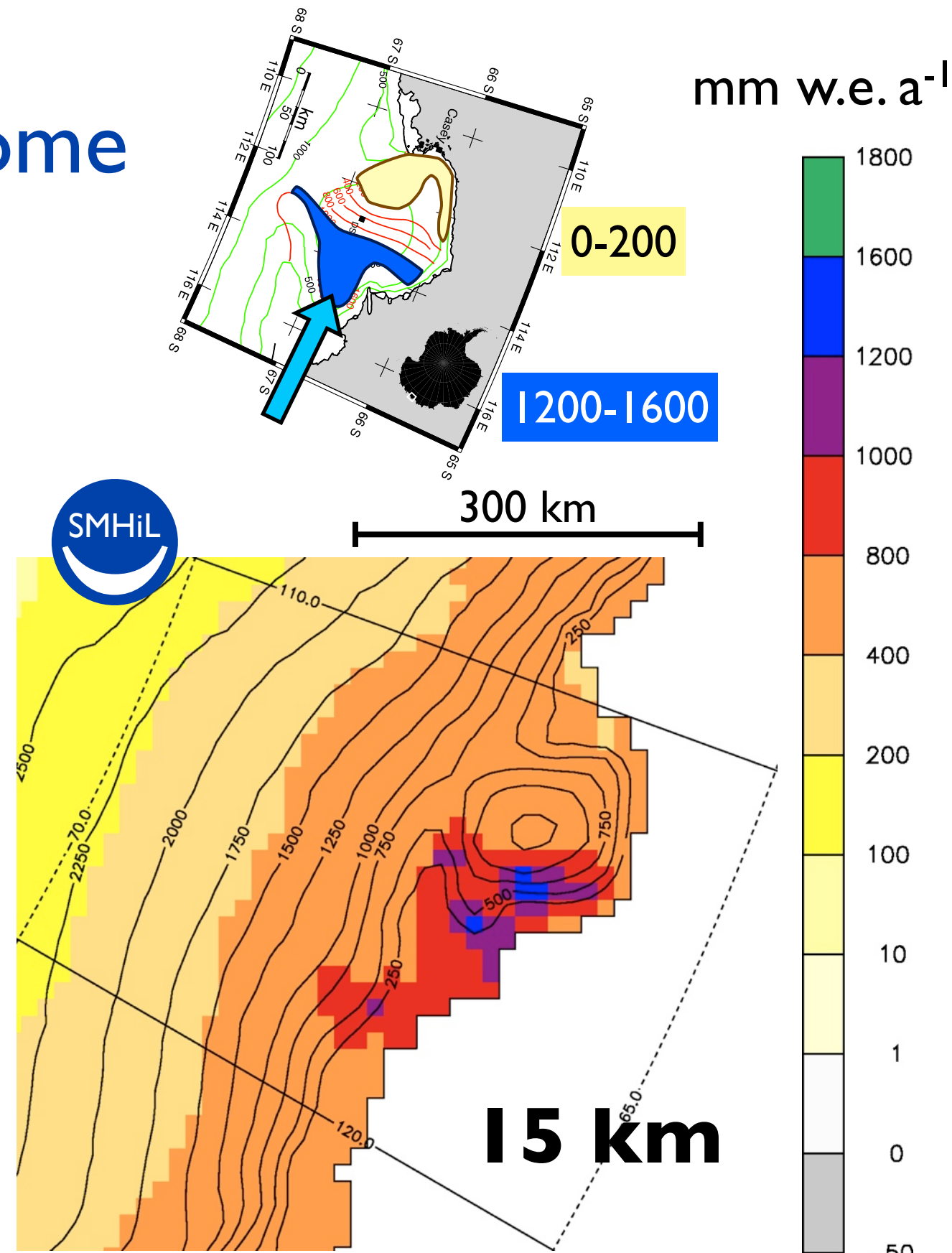
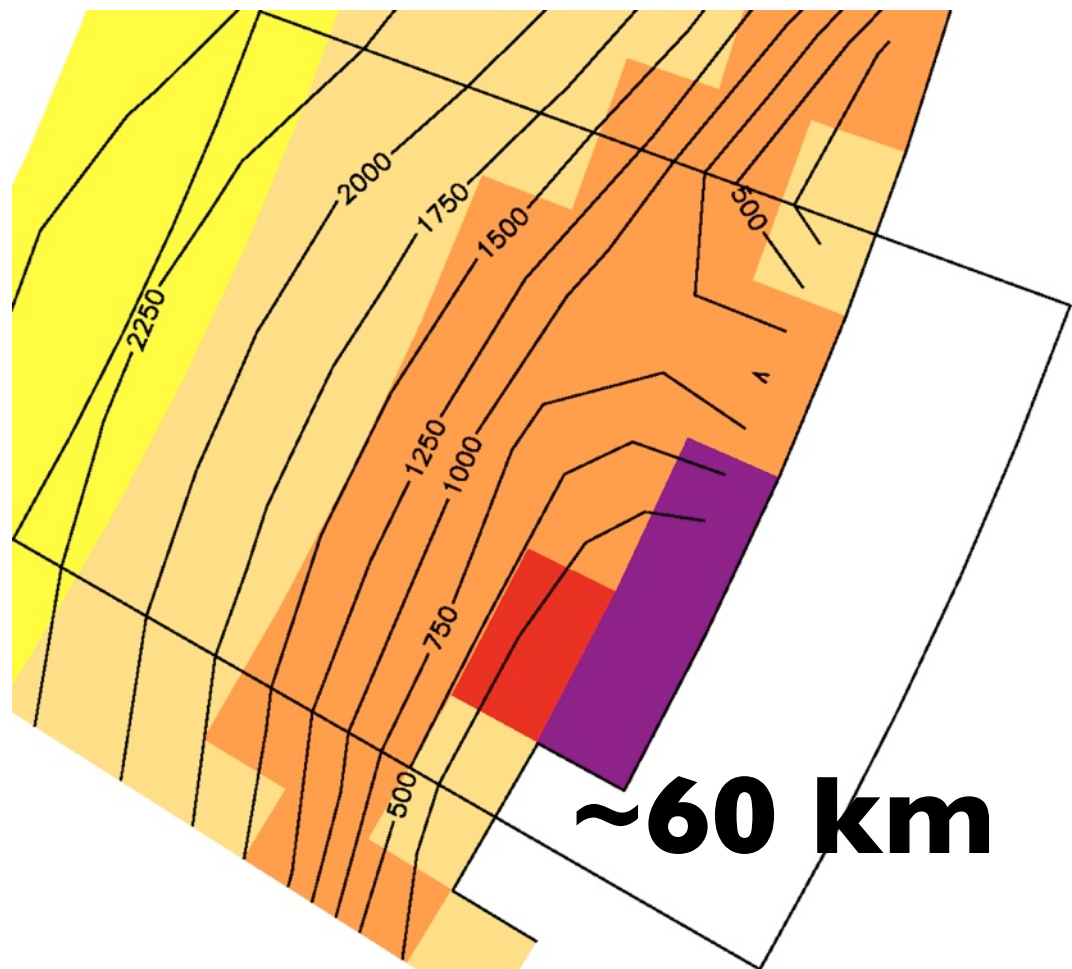
Validation over Law Dome



Law Dome

LMDZ4, 1981-2000

SMB



3.4

Goals

1

Model

2

3

Futur

4

Concl.

5



Validation over Law Dome



Spatial pattern and intensity better displayed

Air drying to be improved

Linked to large-scale model processes and resolution

4.1

Scenarios and forcings

Goals

1

Model

2

Valid.

3

4

Concl.

5



Green-house gases
emission scenarios

Ocean forcings
Sea surface temperature
Sea-ice concentration

LMDZ4

Atmospheric global climate model

End of the
20th century

21st century
22nd century

Observations

AIB «Realistic»
EI «Optimistic»

Observations

HADCM3
ECHAM5
Anomalies

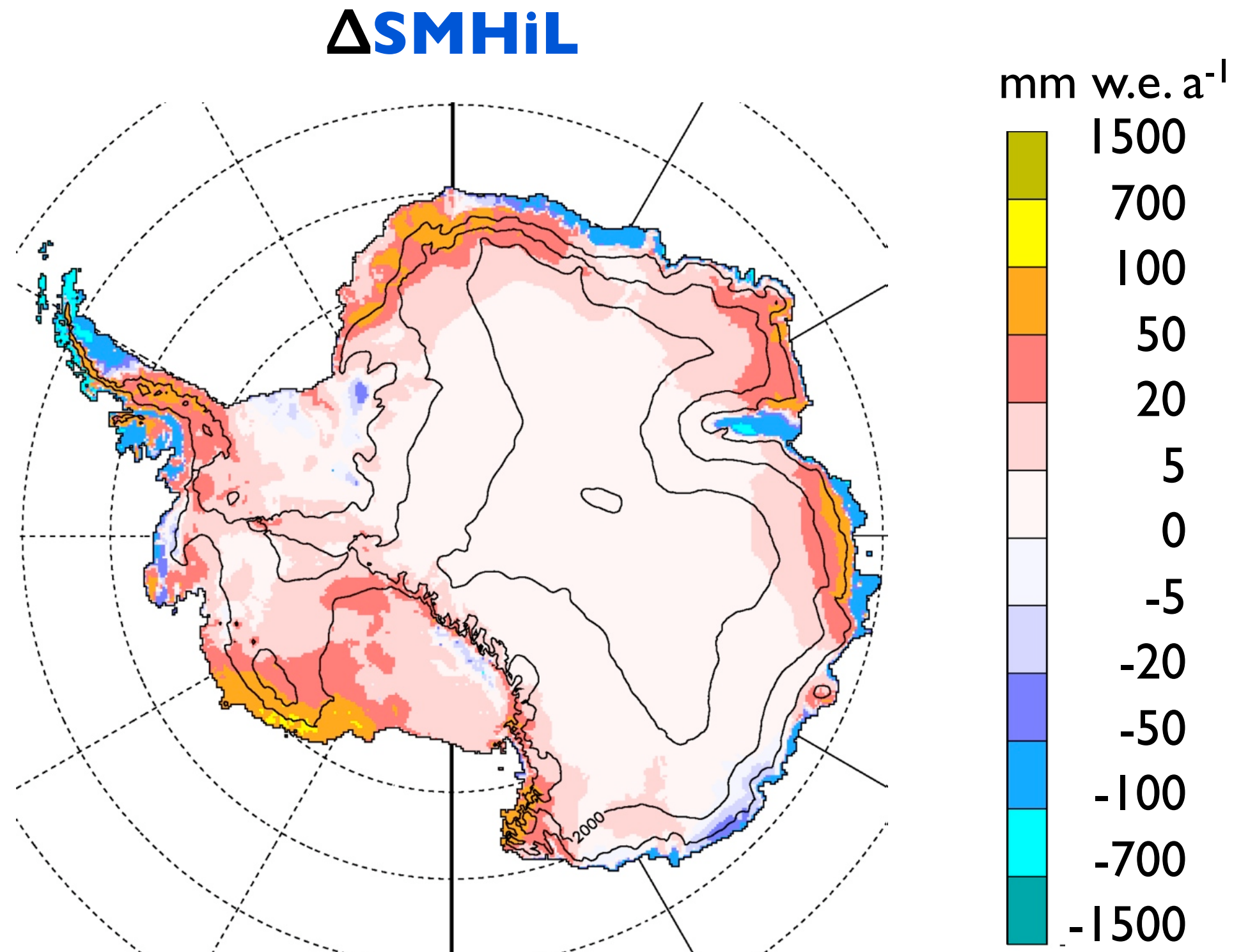
→ 700 years

4.2

SMB evolution

AIB
HADCM3

$$\Delta = \text{SMB End 21st} - \text{SMB End 20th century}$$



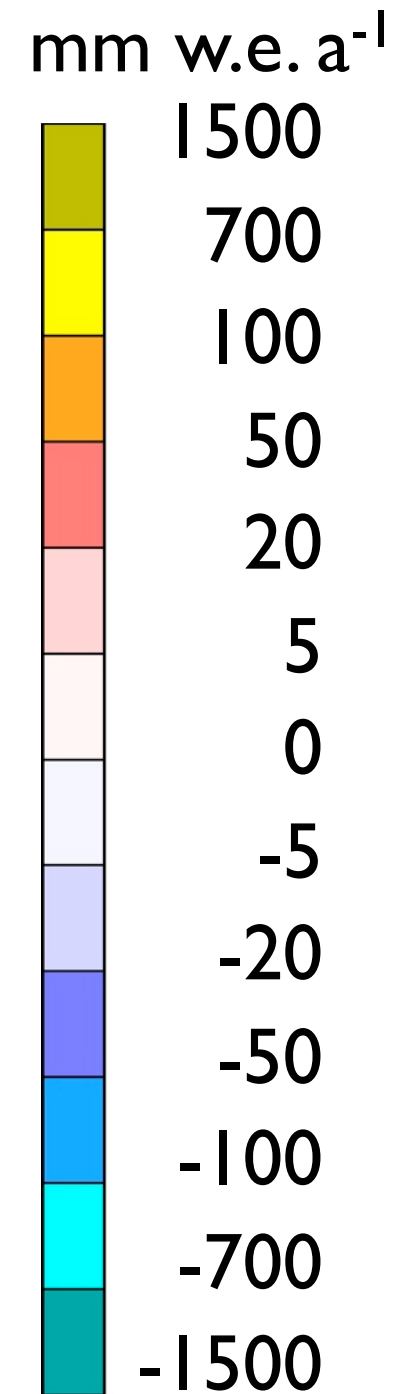
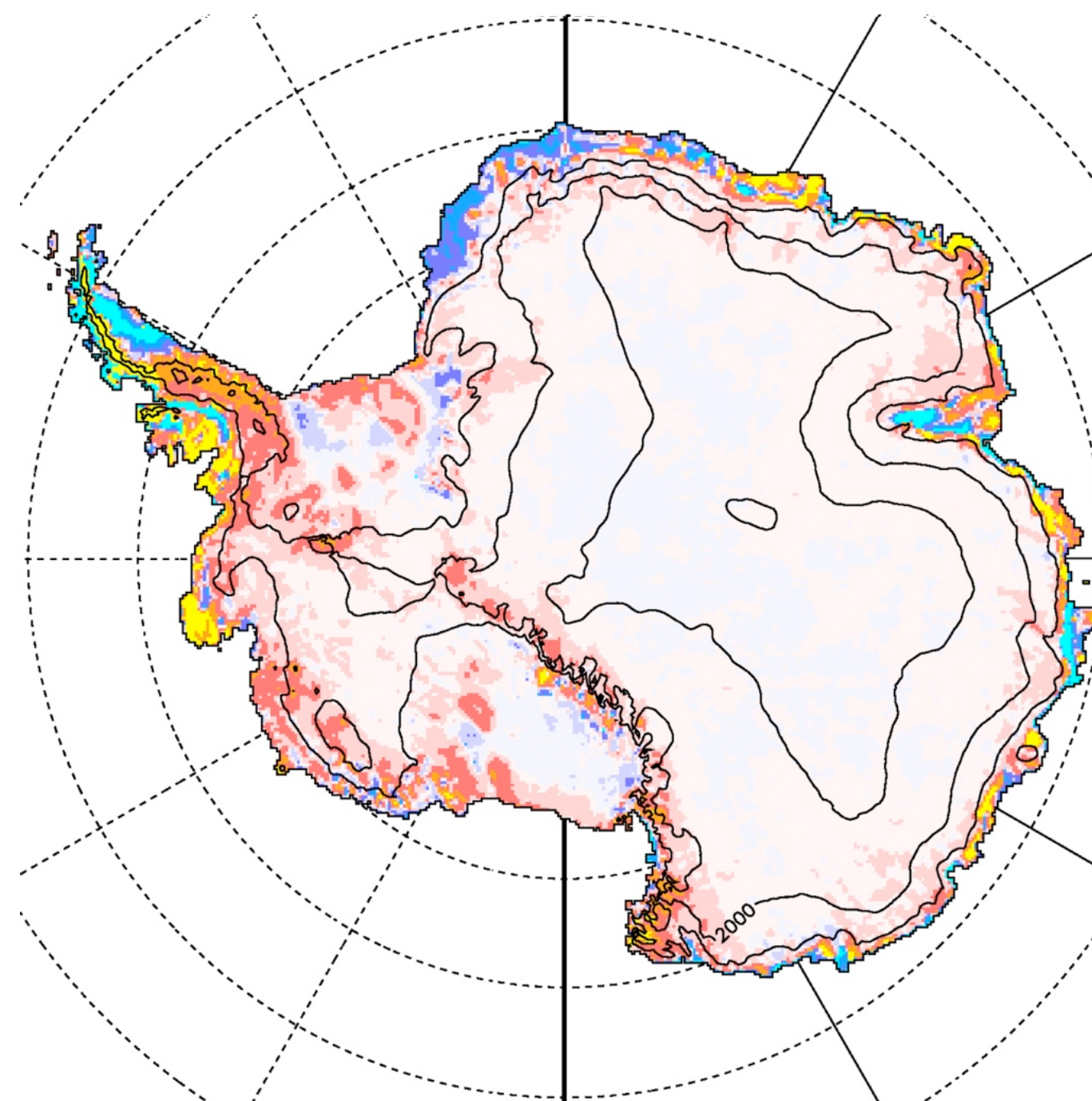
4.2

SMB evolution

AIB
HADCM3

$\Delta = \text{SMB End 21st} - \text{SMB End 20th century}$

$\Delta \text{SMHiL} - \Delta \text{Large-scale}$





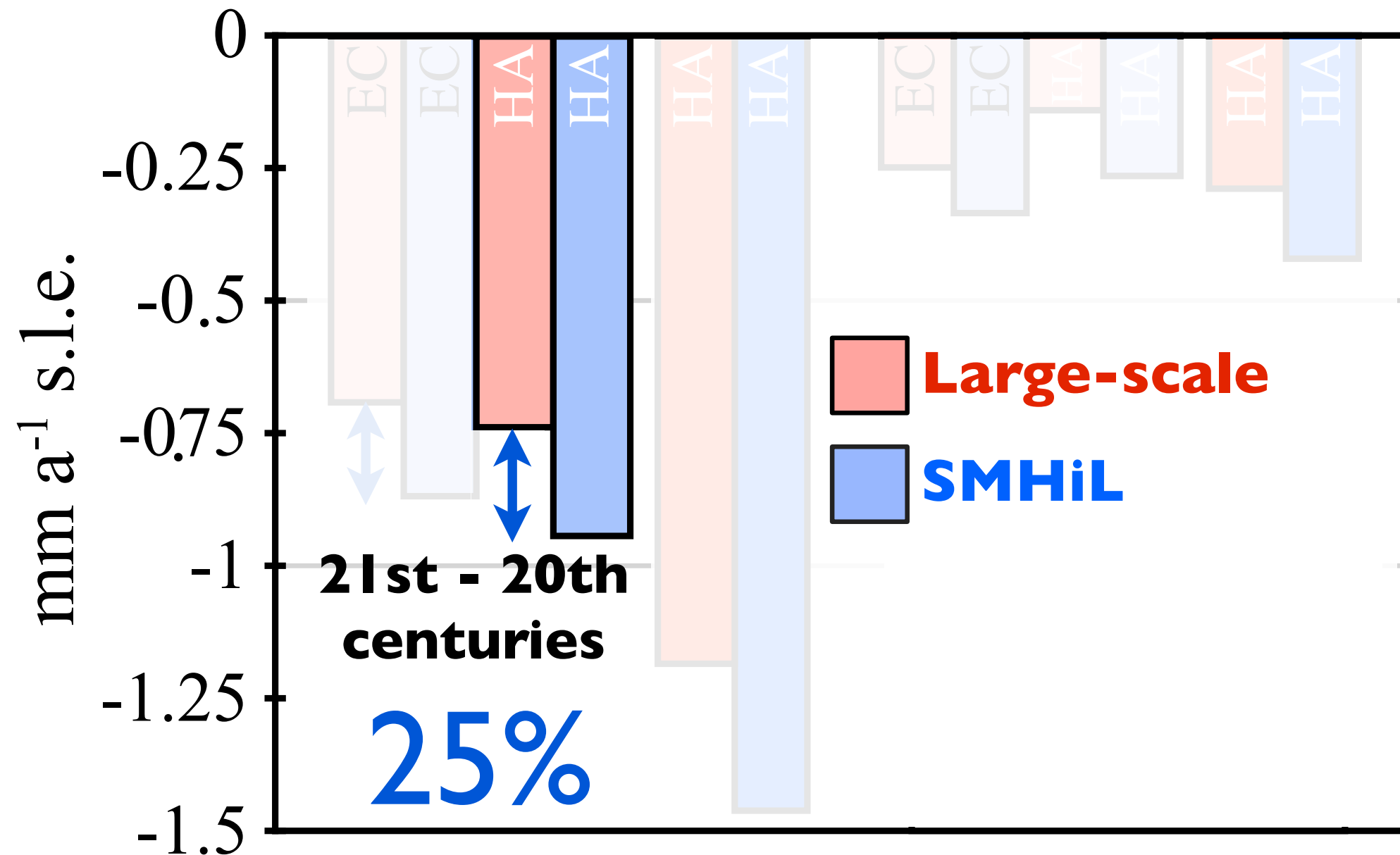
SMB contribution to sea-level changes

LMDZ4

EC = ECHAM5
HA = HADCM3

A1B scenario

E1



25%

21st - 20th
centuries



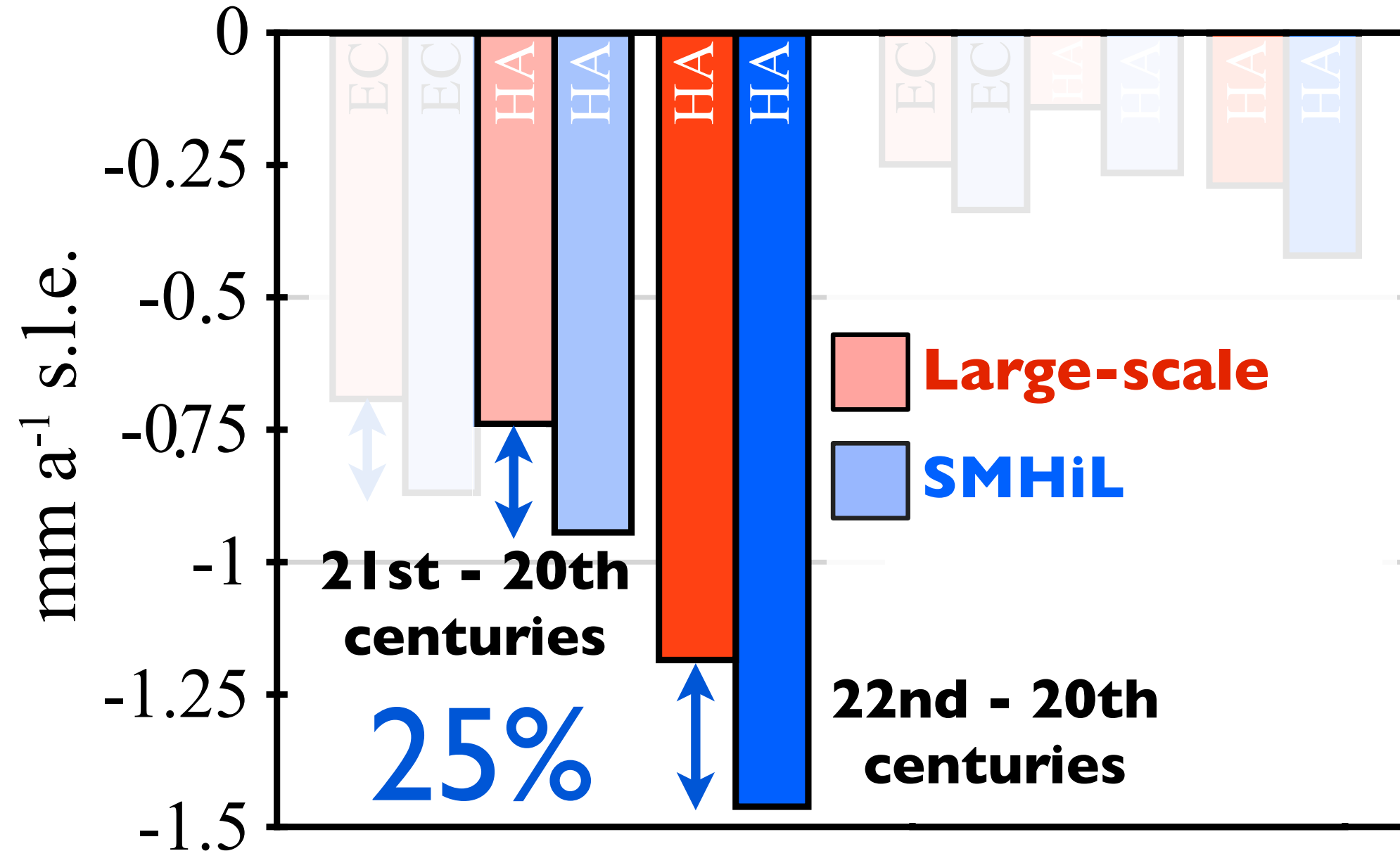
SMB contribution to sea-level changes

LMDZ4

EC = ECHAM5
HA = HADCM3

A1B scenario

E1



Conclusions

Goals

1

Model

2

Valid.

3

Futur

4

5

**SMHiL**

Based on physical parametrisation

Performant over ice-sheets

Fast computing



Conclusions

Goals

1

Model

2

Valid.

3

Futur

4

5

**SMHiL**

Based on physical parametrisation

Performant over ice-sheets

Fast computing



Compute the impact of the high-resolution topography
on surface mass balance

Highest resolution ever tested
for climatic runs over Antarctica

5

Outcomes

Goals

1

Model

2

Valid.

3

Futur

4

5



**High-resolution SMB (present / evolution)
significantly different from large-scale SMB**

To be implemented

Humidity advection

Snow drift ?

Under-representation of observation in low-elevation areas
where the SMB variability/amount is the highest

Crutial need of observations :

In coastal areas / Large spatial extent / Long-term measurements

Other methods for downscaling validation :

Comparison to a regional climate model

Outlooks

Goals

1

Model

2

Valid.

3

Futur

4

5



**High-resolution SMB (present / evolution)
significantly different from large-scale SMB**

To be implemented

Humidity advection

Snow drift ?

**Under-representation of observation in low-elevation areas
where the SMB variability/amount is the highest**

Crutial need of observations :

In coastal areas / Large spatial extent / Long-term measurements

Other methods for downscaling validation :

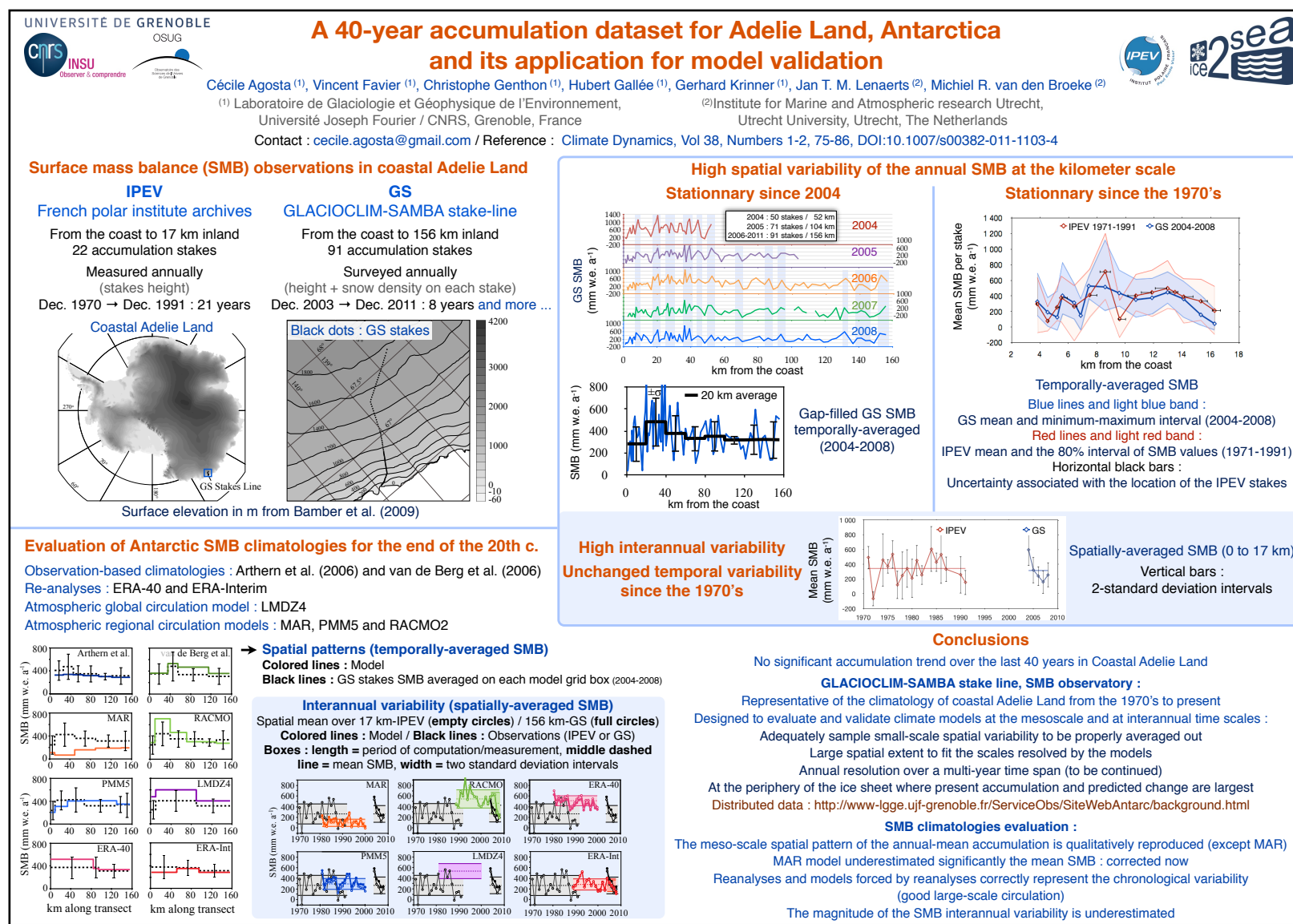
Comparison to a regional climate model



Poster :

32. Observing Antarctica and the Southern Ocean

Wednesday 18th

A 40-year accumulation dataset for Adelie Land, Antarctica
and its application for model validation

Thank you



Merci

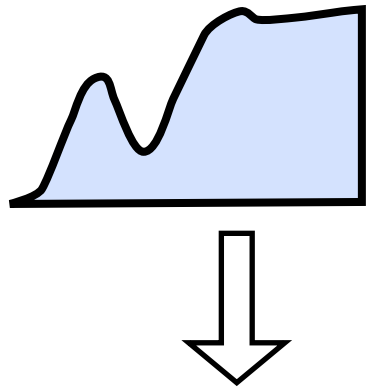


1.3

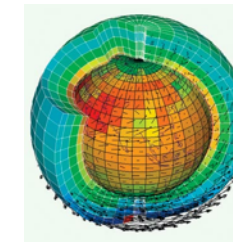
Aim of the downscaling ?

Surface mass balance downscaling

High-resolution
topography



Complex models outputs
Physics + / Resolution -



Simplified physical equations
Limited computational costs



High-resolution SMB
from various large-scale climate models

5

Perspectives

Enjeu

1

Modèle

2

Valid.

3

Futur

4

5



Régionalisation du BMS pour les modèles d'écoulement
Intermédiaire entre modèle atmosphérique et modèle de calotte
Groenland/Antarctique, siècle/milliers d'années

Thèse de Déborah Verfaillie :

Régionalisation du BMS sur la péninsule Antarctique et Kerguelen
Implantation de l'advection ...

Stratégie d'utilisation de SMHiL :

SMHiL ~15km

Meilleur modèle atmosphérique régional sur l'Antarctique
(processus polaires)

MAR ? ~40km

Meilleur modèle de climat global sur l'Antarctique
(circulation présente)

A choisir parmi les modèles de CMIP5 ~80km



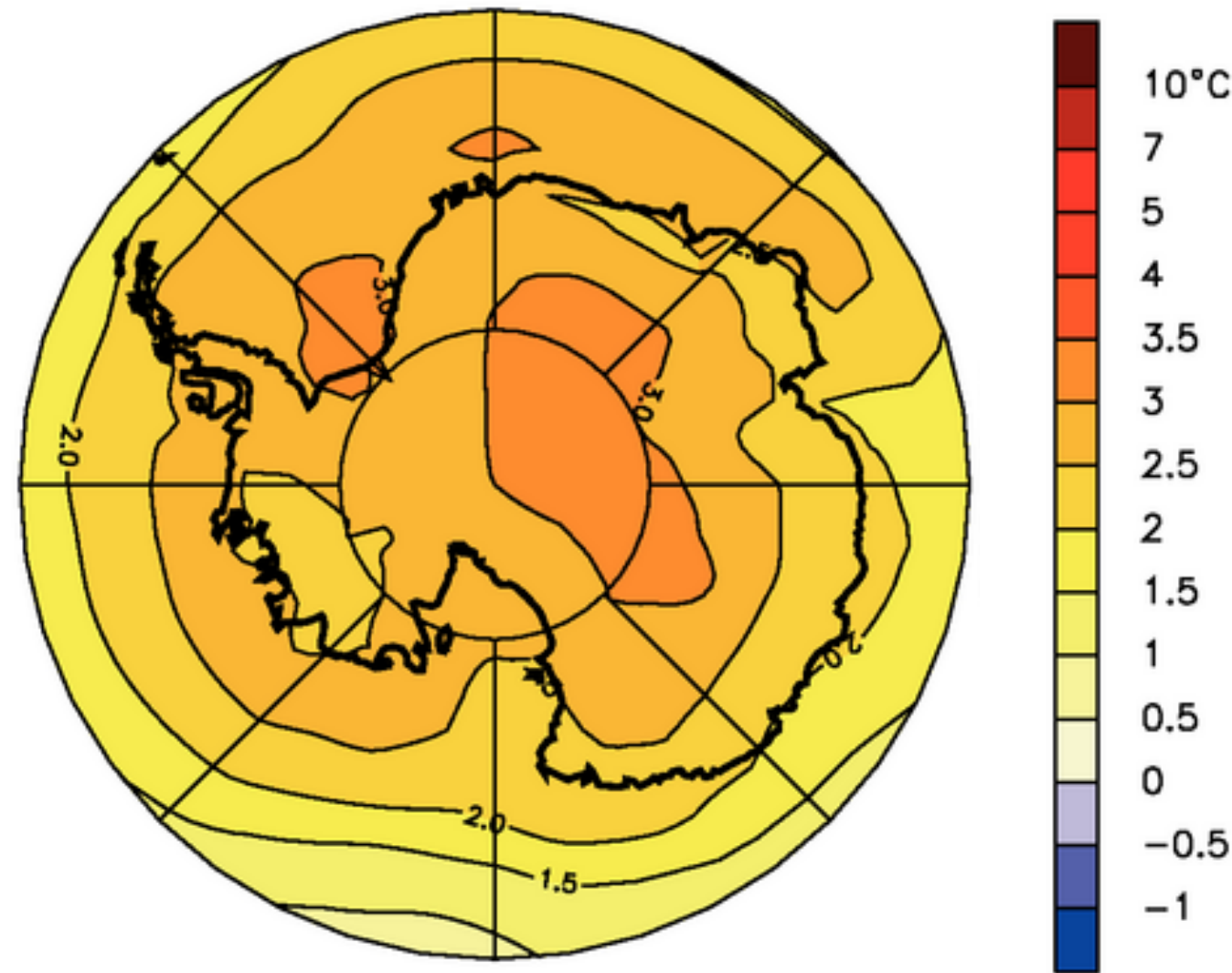
Mass balance uncertainties

Evolution for the next centuries ?

Global warming

End 21st c. - End 20th c.

Multi-model mean, IPCC 2007 (A1B scenario)



1.2

Mass balance uncertainties

Evolution for the next centuries ?

1

Global warming
End 21st c. - End 20th c.

Multi-model mean, IPCC 2007 (A1B scenario)

Modèle

2

Valid.

3

Futur

4

Concl.

5



Atmospheric change impact :

Surface mass balance : instantaneous

Ice flux : acceleration, indirect effect

(in West Antarctica, Pritchard et al. 2012)

1.2

Mass balance uncertainties

Evolution for the next centuries ?

1

Global warming
End 21st c. - End 20th c.

Multi-model mean, IPCC 2007 (A1B scenario)

Modèle

2

Valid.

3

Futur

4

Concl.

5



Atmospheric change impact :
Surface mass balance : instantaneous
Ice flux : acceleration, indirect effect
(in West Antarctica, Pritchard et al. 2012)

5

Perspectives

Enjeu

1

Modèle

2

Valid.

3

Futur

4

5



Régionalisation du BMS pour les modèles d'écoulement
Intermédiaire entre modèle atmosphérique et modèle de calotte
Groenland/Antarctique, siècle/milliers d'années

Thèse de Déborah Verfaillie :

Régionalisation du BMS sur la péninsule Antarctique et Kerguelen
Implantation de l'advection ...

Stratégie d'utilisation de SMHiL :

$SMHiL \sim 15km$

Meilleur **modèle atmosphérique régional** sur l'Antarctique
(processus polaires)

$MAR ? \sim 40km$

Meilleur modèle de **climat global** sur l'Antarctique
(circulation présente)

A choisir parmi les modèles de CMIP5 $\sim 80km$

Régionalisation du BMS pour les modèles d'écoulement
Intermédiaire entre modèle atmosphérique et modèle de calotte
Groenland/Antarctique, siècle/milliers d'années

5

Perspectives

Enjeu

1

Modèle

2

Valid.

3

Futur

4

5



Régionalisation du BMS pour les modèles d'écoulement
Intermédiaire entre modèle atmosphérique et modèle de calotte
Groenland/Antarctique, siècle/milliers d'années

Thèse de Déborah Verfaillie :
Régionalisation du BMS sur la péninsule Antarctique et Kerguelen
Implantation de l'advection ...

Stratégie d'utilisation de SMHiL :

$SMHiL \sim 15km$

Meilleur **modèle atmosphérique régional** sur l'Antarctique
(processus polaires)

$MAR ? \sim 40km$

Meilleur modèle de **climat global** sur l'Antarctique
(circulation présente)

A choisir parmi les modèles de CMIP5 $\sim 80km$

2.2

Régionalisation des précipitations

Elévation de masses d'air à saturation au dessus d'un relief

Enjeu

1

2

Valid.

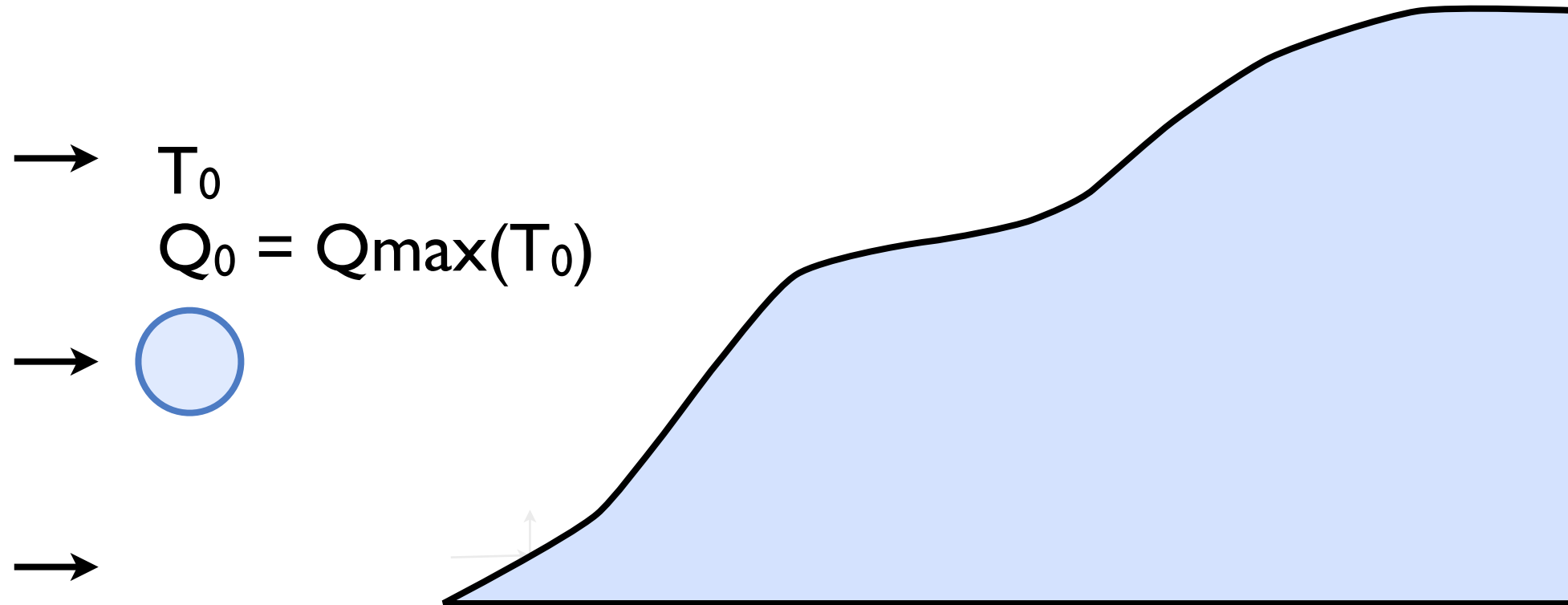
3

Futur

4

Concl.

5



T : Température

Q : Humidité (quantité de vapeur d'eau)

2.2

Régionalisation des précipitations

Elévation de masses d'air à saturation au dessus d'un relief

Enjeu

1

2

Valid.

3

Futur

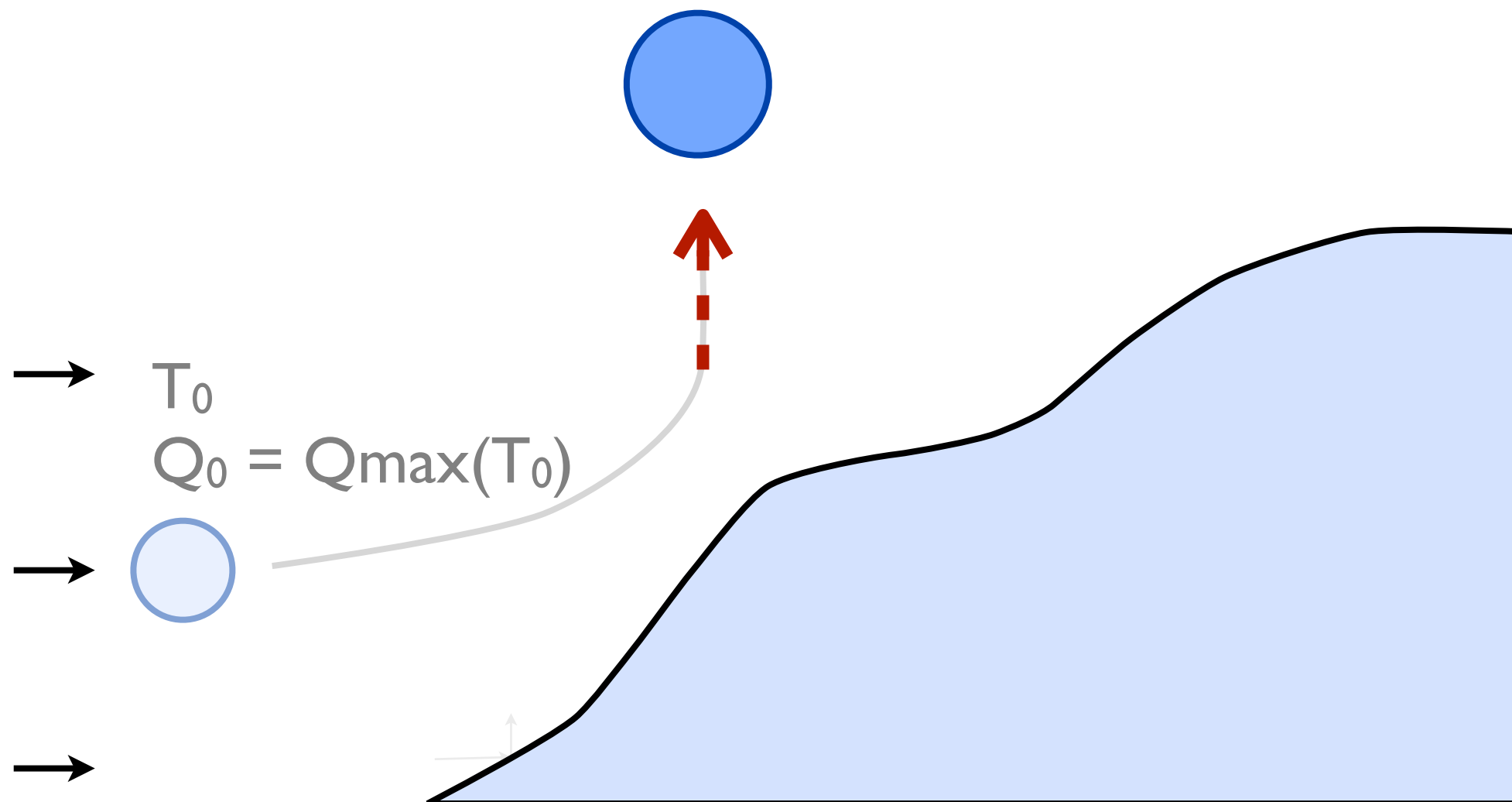
4

Concl.

5



$T_I < T_0$ Refroidissement adiabatique



T : Température

Q : Humidité (quantité de vapeur d'eau)

2.2

Régionalisation des précipitations

Enjeu

1

2

Valid.

3

Futur

4

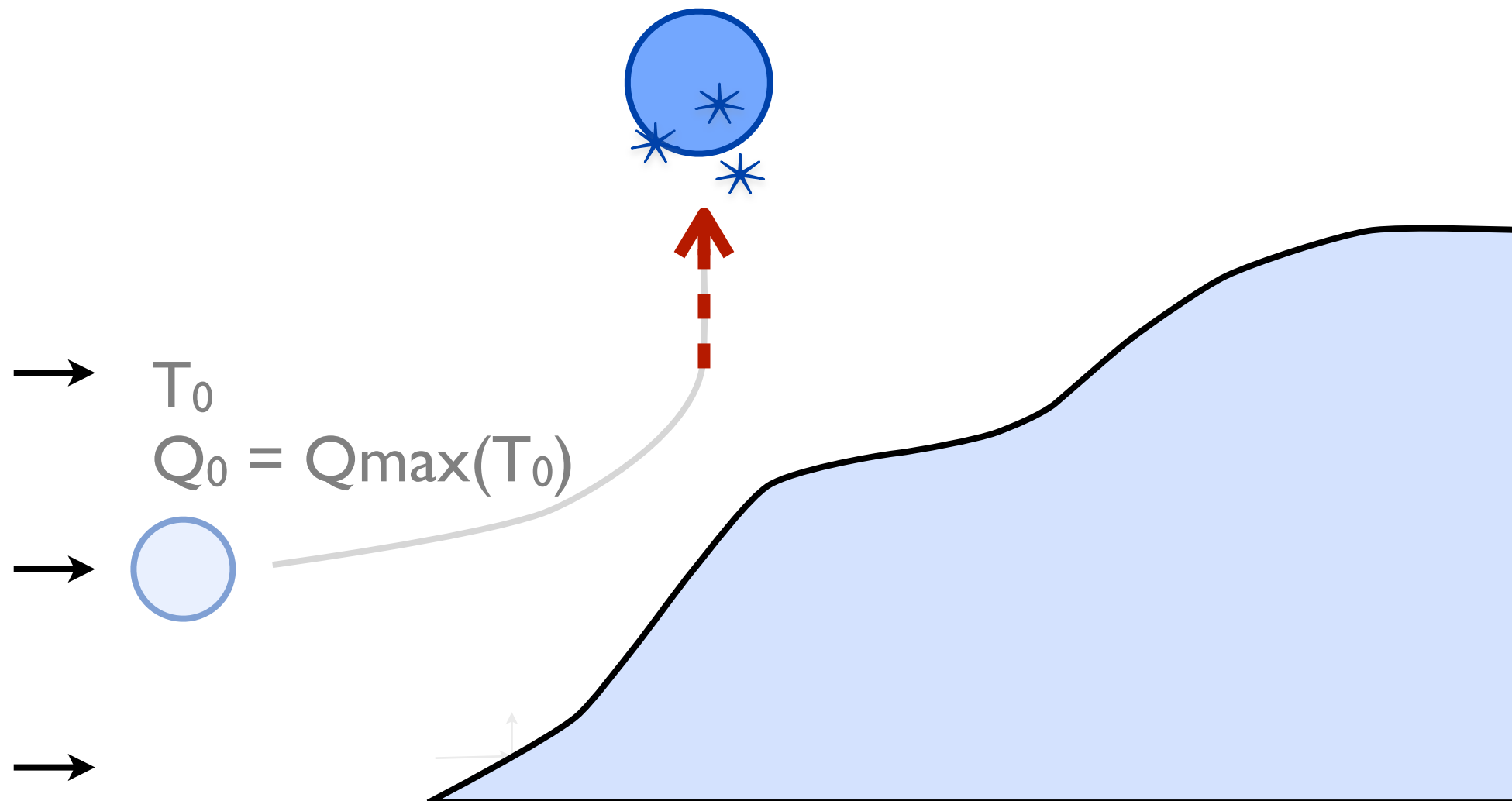
Concl.

5



Elévation de masses d'air à saturation au dessus d'un relief

$$T_1 < T_0 \quad \text{Refroidissement adiabatique}$$
$$Q_1 = Q_{\max}(T_1) < Q_0$$



T : Température

Q : Humidité (quantité de vapeur d'eau)

2.2

Régionalisation des précipitations

Enjeu

1

2

Valid.

3

Futur

4

Concl.

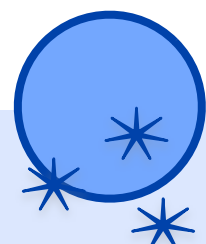
5



Elévation de masses d'air à saturation au dessus d'un relief

$$T_1 < T_0 \quad \text{Refroidissement adiabatique}$$

$$Q_1 = Q_{\max}(T_1) < Q_0$$

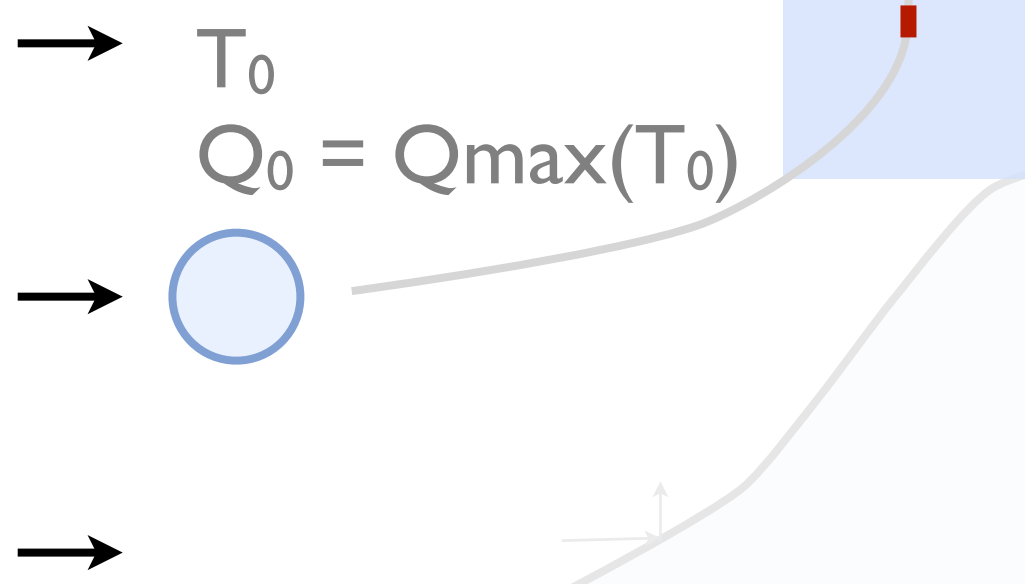


Précipitations orographiques

$$\text{Precip. oro.} = \text{Fonction}(T, P, Q) \times \mathbf{w}$$

Intensité proportionnelle
à la **vitesse verticale** du vent

Brasseur, Fettweis, Gallée, Gentil
Basé sur Sinclair 1994



T : Température

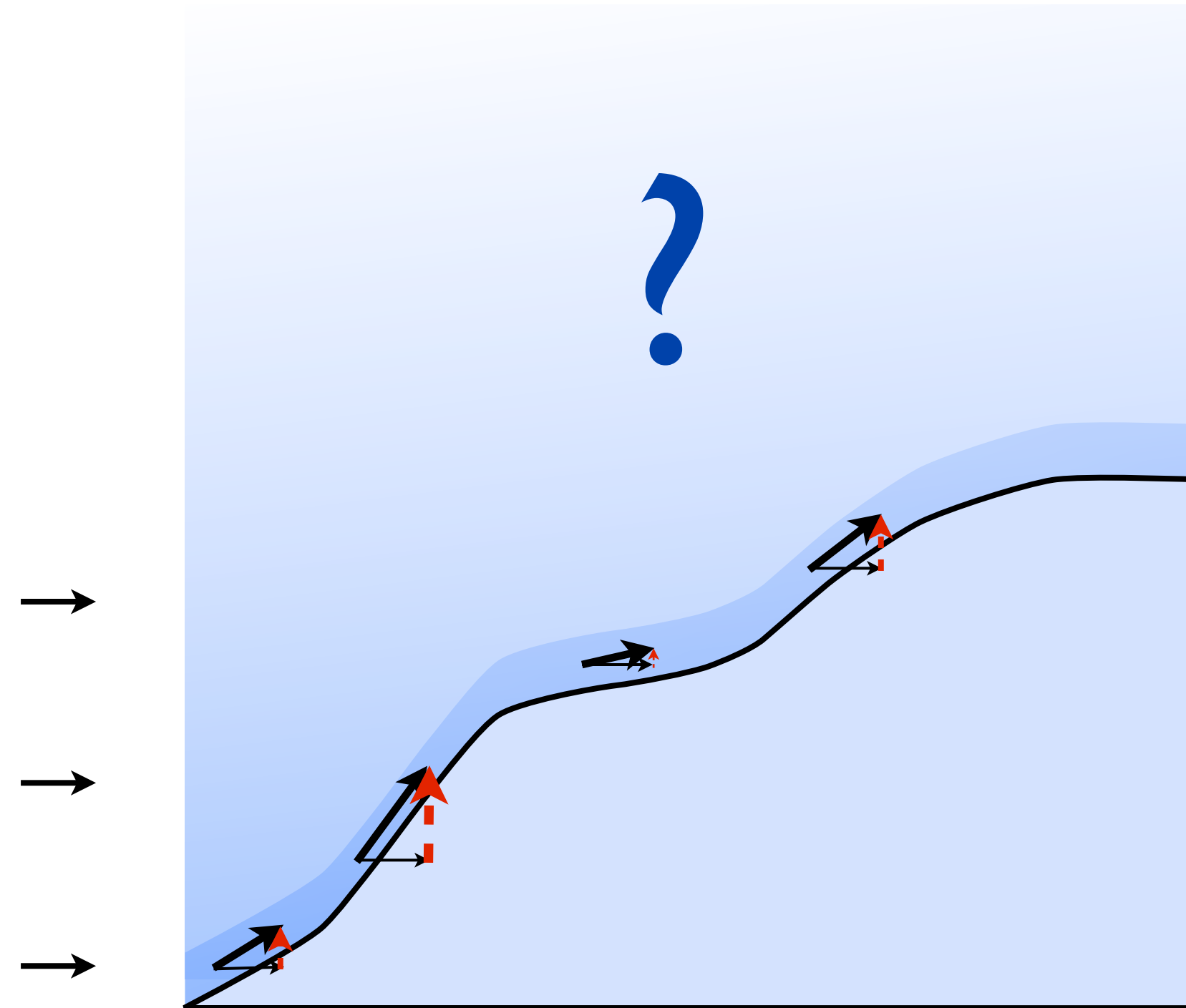
Q : Humidité (quantité de vapeur d'eau)

2.2

Régionalisation des précipitations

En surface : Vitesse verticale dépend directement de la **pente** du relief

Au dessus de la surface :



Enjeu

1

2

Valid.

3

Futur

4

Concl.

5



2.2

Enjeu

1

2

Valid.

3

Futur

4

Concl.

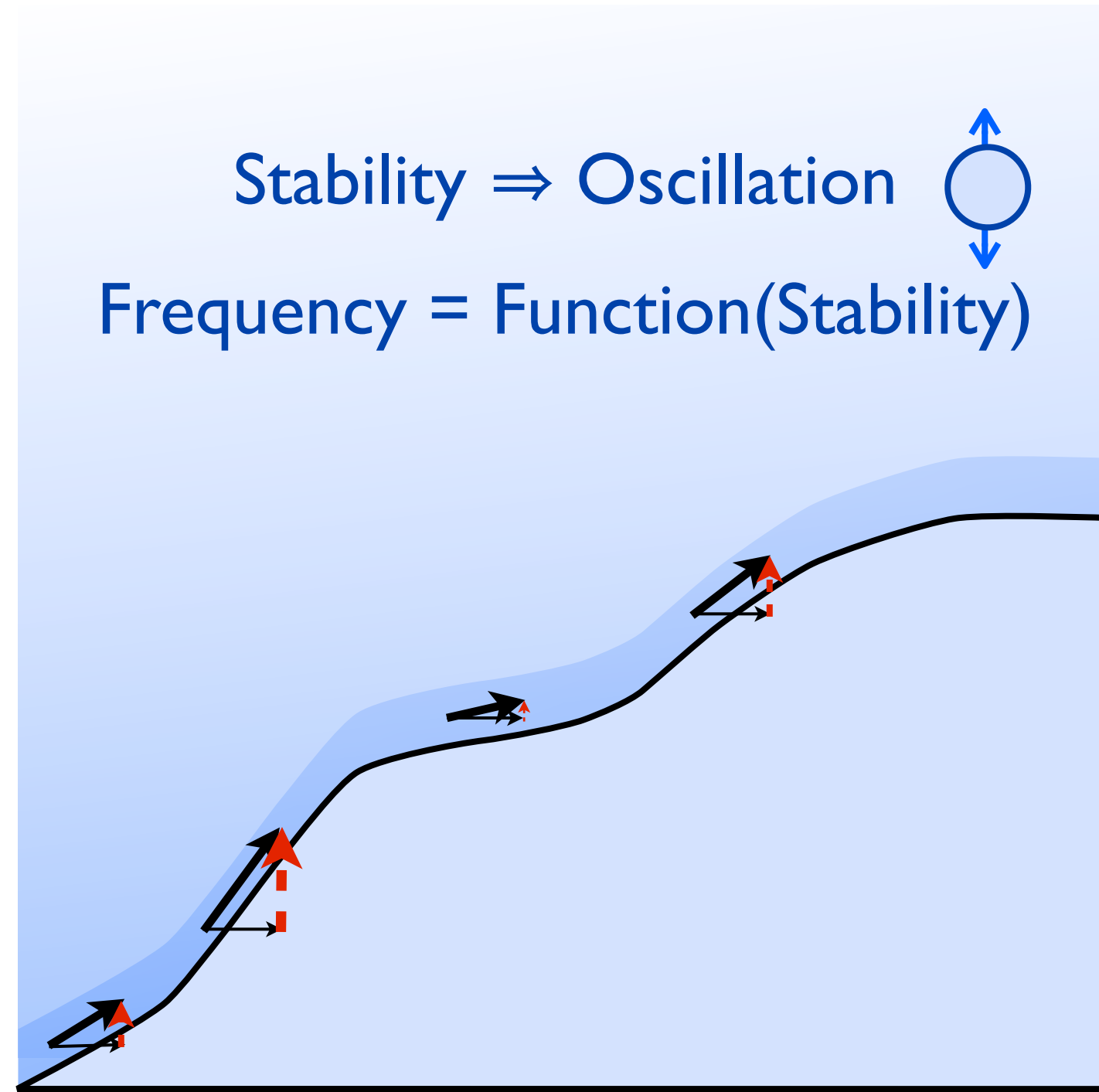
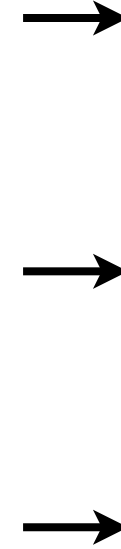
5



Régionalisation des précipitations

En surface : Vitesse verticale dépend directement de la **pente** du relief**Au dessus de la surface :**Stability \Rightarrow Oscillation

Frequency = Function(Stability)



2.2

Enjeu

1

2

Valid.

3

Futur

4

Concl.

5



Régionalisation des précipitations

En surface : Vitesse verticale dépend directement de la **pente** du relief

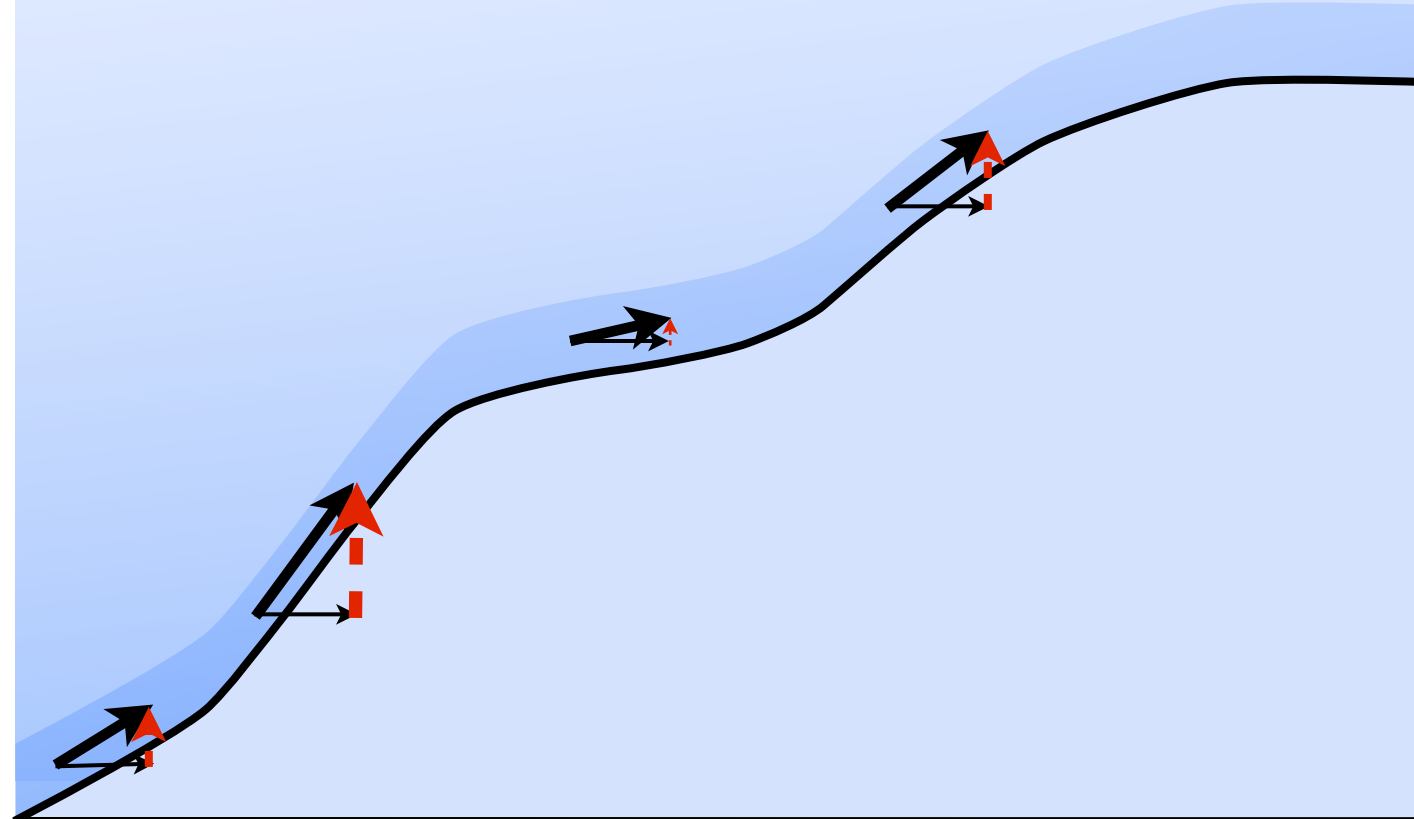
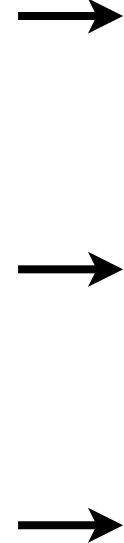
Au dessus de la surface :

Slow-varying stability

Oscillation period << time to pass the obstacle

⇒ **Vertically propagating waves**

(hydrostatic internal gravity wave)



2.2

Régionalisation des précipitations

Enjeu

1

2

Valid.

3

Futur

4

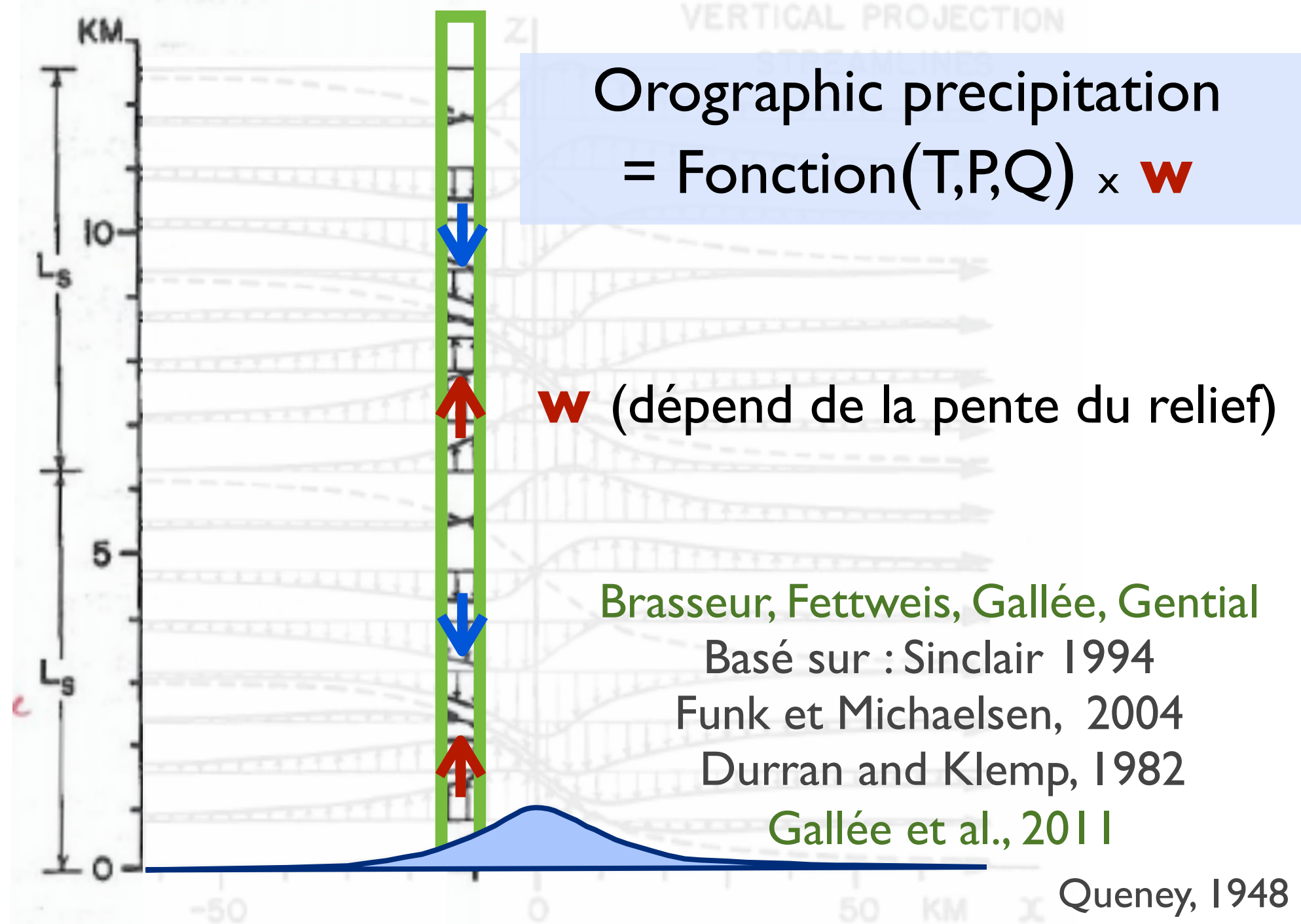
Concl.

5



Onde de gravité hydrostatique

⇒ Paramétrisation uni-colonne



2.2

Precipitation downscaling

Enjeu

1

2

Valid.

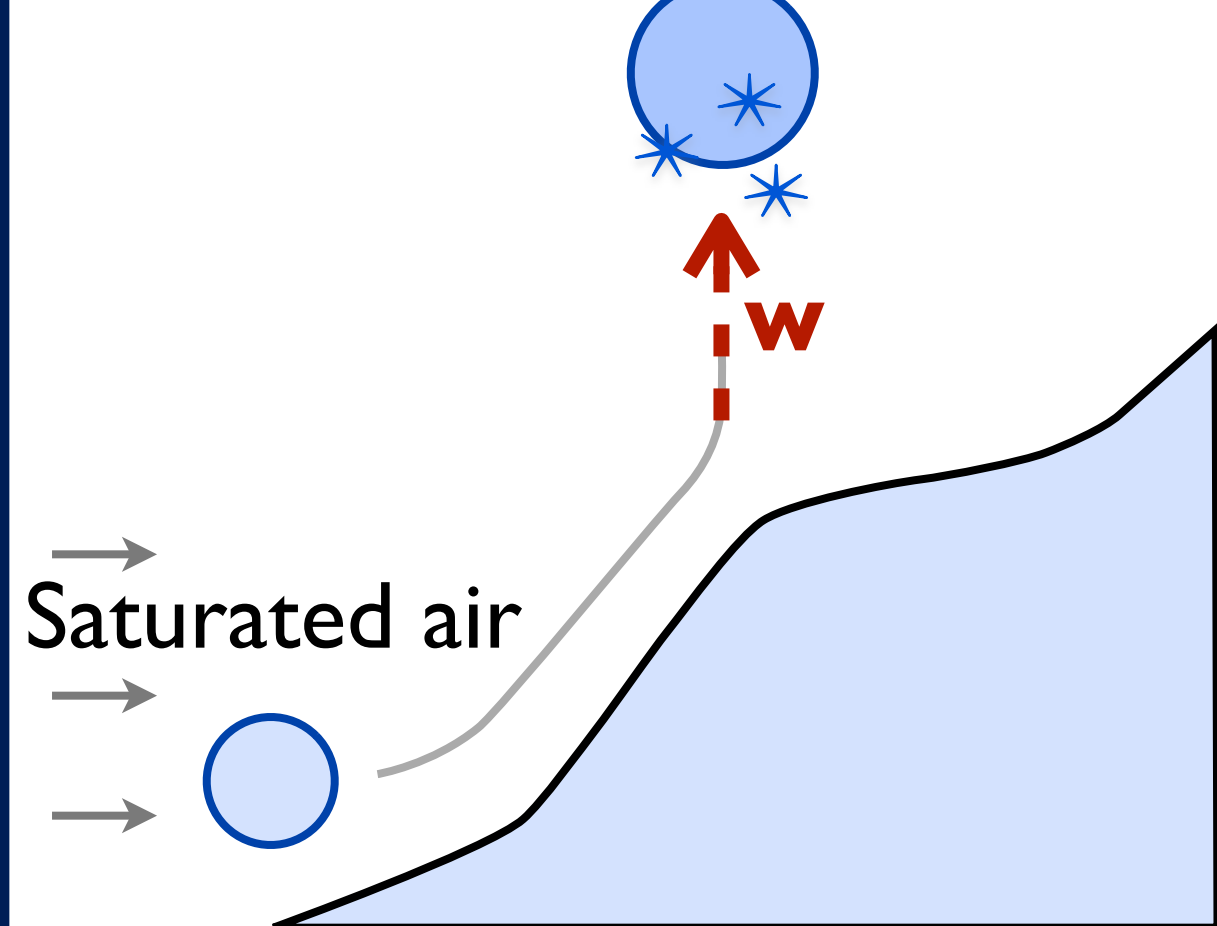
3

Futur

4

Concl.

5



w function of :
Surface slope (topography)
Air stability (gravity waves)
T,P,Q

I-D (air column)
parametrization

Brasseur, Fettweis, Gallée, Gentil
Sinclair, 1994

Funk et Michaelsen, 2004
Durran and Klemp, 1982

2.2

Precipitation downscaling

Enjeu

1

2

Valid.

3

Futur

4

Concl.

5



2.2

Precipitation downscaling

Enjeu

1

2

Valid.

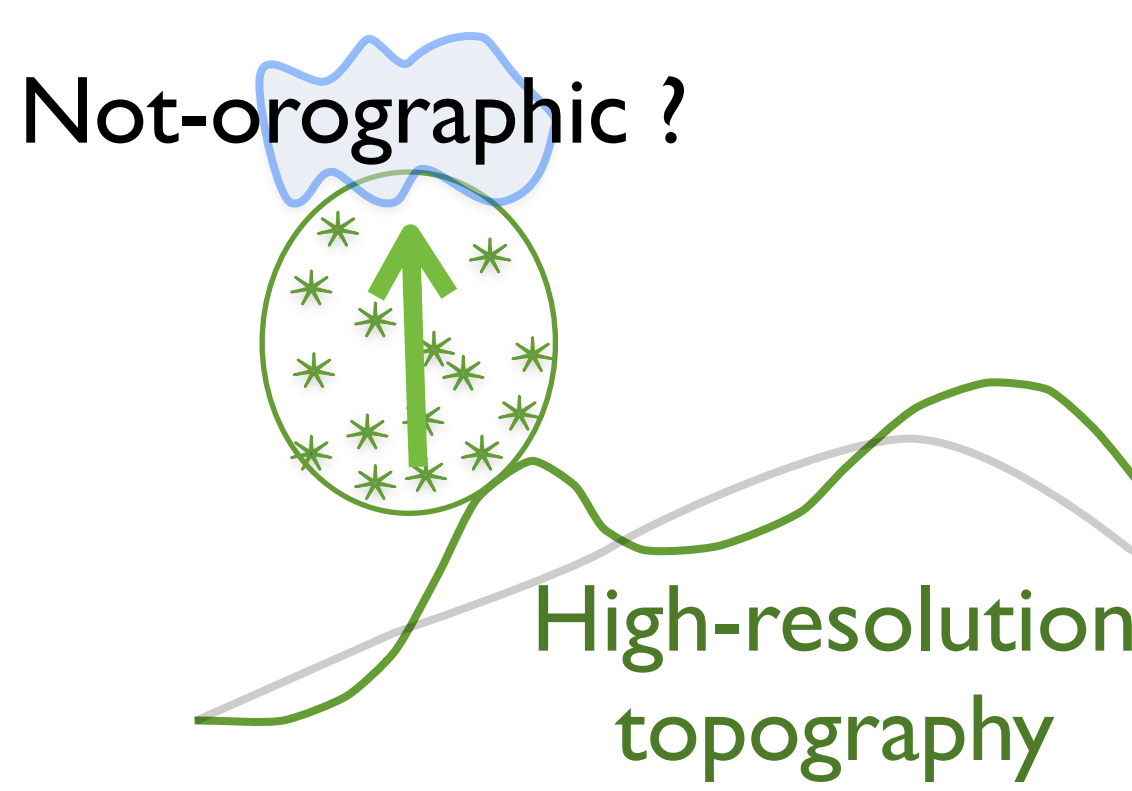
3

Futur

4

Concl.

5



2.2

Enjeu

1

2

Valid.

3

Futur

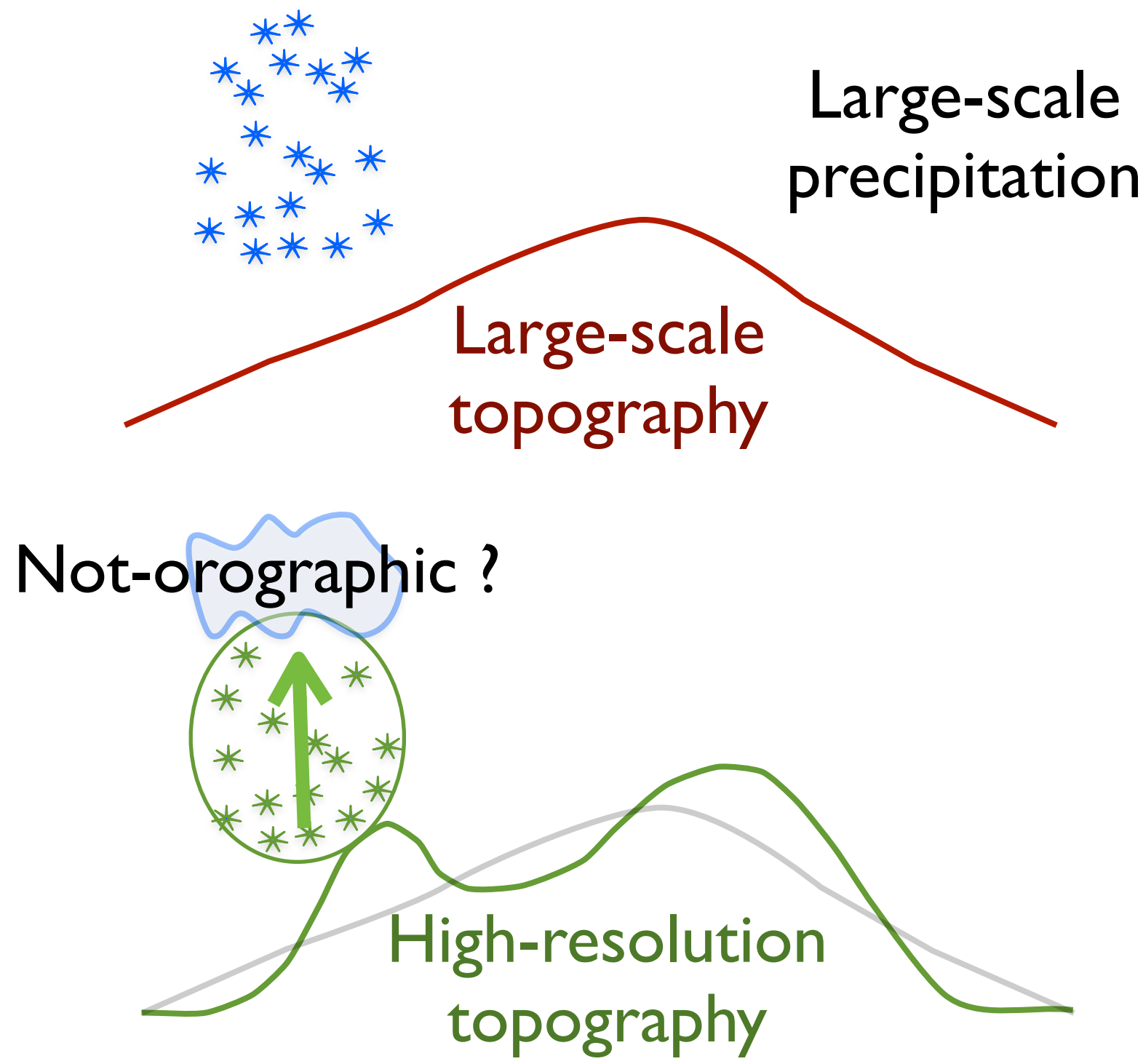
4

Concl.

5



Precipitation downscaling



2.2

Enjeu

1

2

Valid.

3

Futur

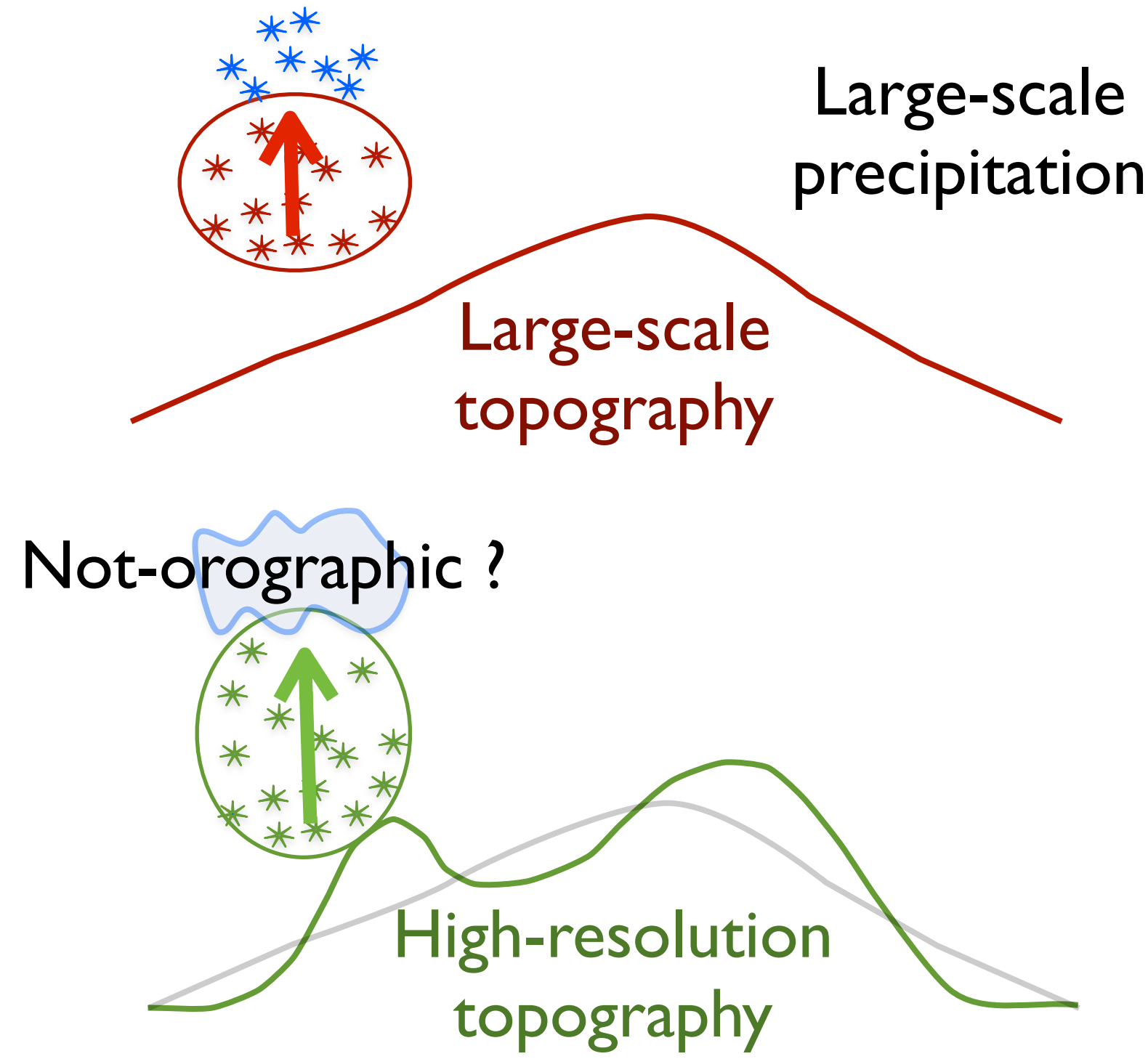
4

Concl.

5



Precipitation downscaling



2.2

Precipitation downscaling

Enjeu

1

2

Valid.

3

Futur

4

Concl.

5

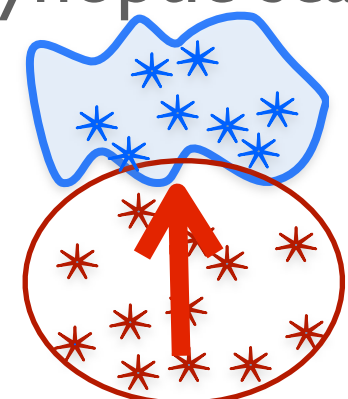


16/07/12

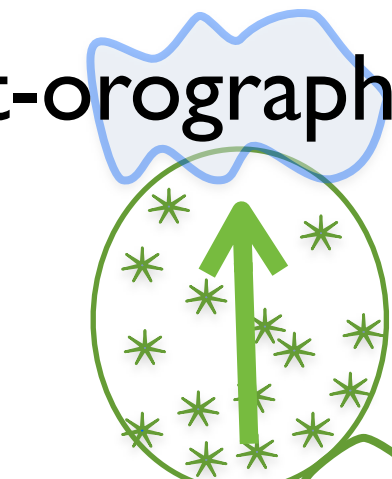
08

Not-orographic

(Synoptic scale)

Large-scale
precipitationLarge-scale
topography

Not-orographic ?

High-resolution
topography

2.2

Enjeu

1

2

Valid.

3

Futur

4

Concl.

5

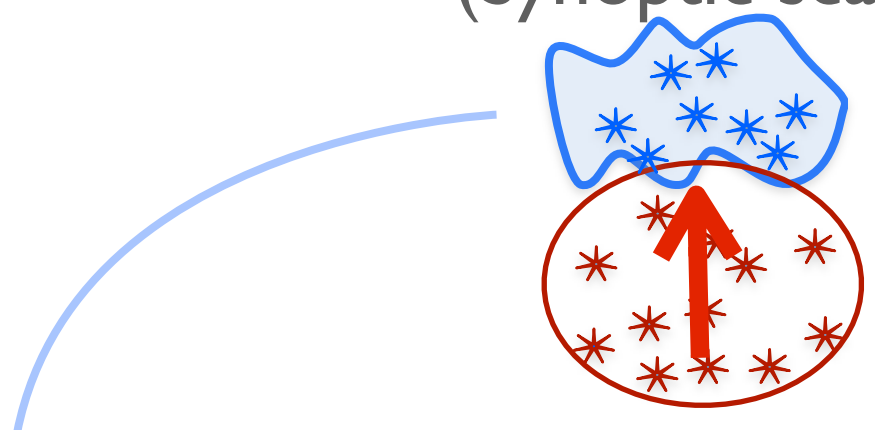


16/07/12

08

Precipitation downscaling

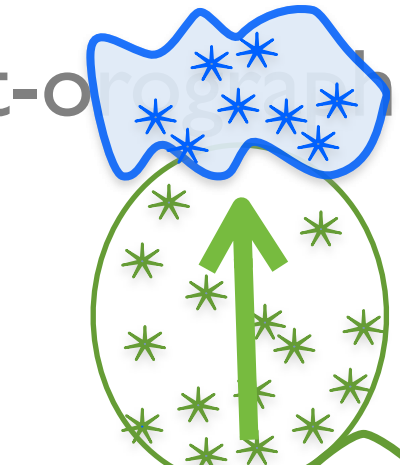
Not-orographic
(Synoptic scale)



**Large-scale
precipitation**

**Large-scale
topography**

Not-orographic



**High-resolution
precipitation**



**High-resolution
topography**

2.4

Forces et faiblesses du modèle

Enjeu

1

2

Valid.

3

Futur

4

Concl.

5

**Paramétrisation des **précipitations** adaptée aux **bordures de calotte****

- ▶ Estimation de l'effet orographique
- ▶ Estimation de la part non-orographique
- ▶ Pas d'advection de l'assèchement de l'air

Modélisation du **bilan d'énergie de surface avec un schéma pensé pour les **régions enneigées****

- ▶ Estimation de la sublimation/fonte/regel
- ▶ Pas de modélisation de l'érosion/dépôt/transport

Temps de calculs réduits*Paramétrisation uni-dimensionnelle*

- ▶ Simulations climatiques à haute résolution

Applicable à **différents modèles de grande échelle**

- ▶ Très dépendant du modèle de grande échelle

2.4

Enjeu

1

2

Valid.

3

Futur

4

Concl.

5



Forces et faiblesses du modèle

Paramétrisation des **précipitations**
adaptée aux **bordures de calotte**

- ▶ Estimation de l'effet orographique
- ▶ Estimation de la part non-orographique
- ▶ Pas d'advection de l'assèchement de l'air

Modélisation du **bilan d'énergie de surface**
avec un schéma pensé pour les **régions enneigées**

- ▶ Estimation de la sublimation/fonte/regel
- ▶ Pas de modélisation de l'érosion/dépôt/transport

Temps de calculs réduits

Paramétrisation uni-dimensionnelle

- ▶ Simulations climatiques à haute résolution

Applicable à **différents modèles de grande échelle**

- ▶ Très dépendant du modèle de grande échelle

2.4

Forces et faiblesses du modèle

Enjeu

1

2

Valid.

3

Futur

4

Concl.

5

Paramétrisation des **précipitations**
adaptée aux **bordures de calotte**

- ▶ Estimation de l'effet orographique
- ▶ Estimation de la part non-orographique
- ▶ Pas d'advection de l'assèchement de l'air

Modélisation du **bilan d'énergie de surface**
avec un schéma pensé pour les **régions enneigées**

- ▶ Estimation de la sublimation/fonte/regel
- ▶ Pas de modélisation de l'érosion/dépôt/transport

Temps de calculs réduits*Paramétrisation uni-dimensionnelle*

- ▶ Simulations climatiques à haute résolution

Applicable à **différents modèles de grande échelle**

- ▶ Très dépendant du modèle de grande échelle

2.4

Enjeu

1

2

Valid.

3

Futur

4

Concl.

5



Forces et faiblesses du modèle

Paramétrisation des **précipitations**
adaptée aux **bordures de calotte**

- ▶ Estimation de l'effet orographique
- ▶ Estimation de la part non-orographique
- ▶ Pas d'advection de l'assèchement de l'air

Modélisation du **bilan d'énergie de surface**
avec un schéma pensé pour les **régions enneigées**

- ▶ Estimation de la sublimation/fonte/regel
- ▶ Pas de modélisation de l'érosion/dépôt/transport

Temps de calculs réduits*Paramétrisation uni-dimensionnelle*

- ▶ Simulations climatiques à haute résolution

Applicable à **differents modèles de grande échelle**

- ▶ Très dépendant du modèle de grande échelle

3.2

Enjeu

1

Modèle

2

3

Futur

4

Concl.

5



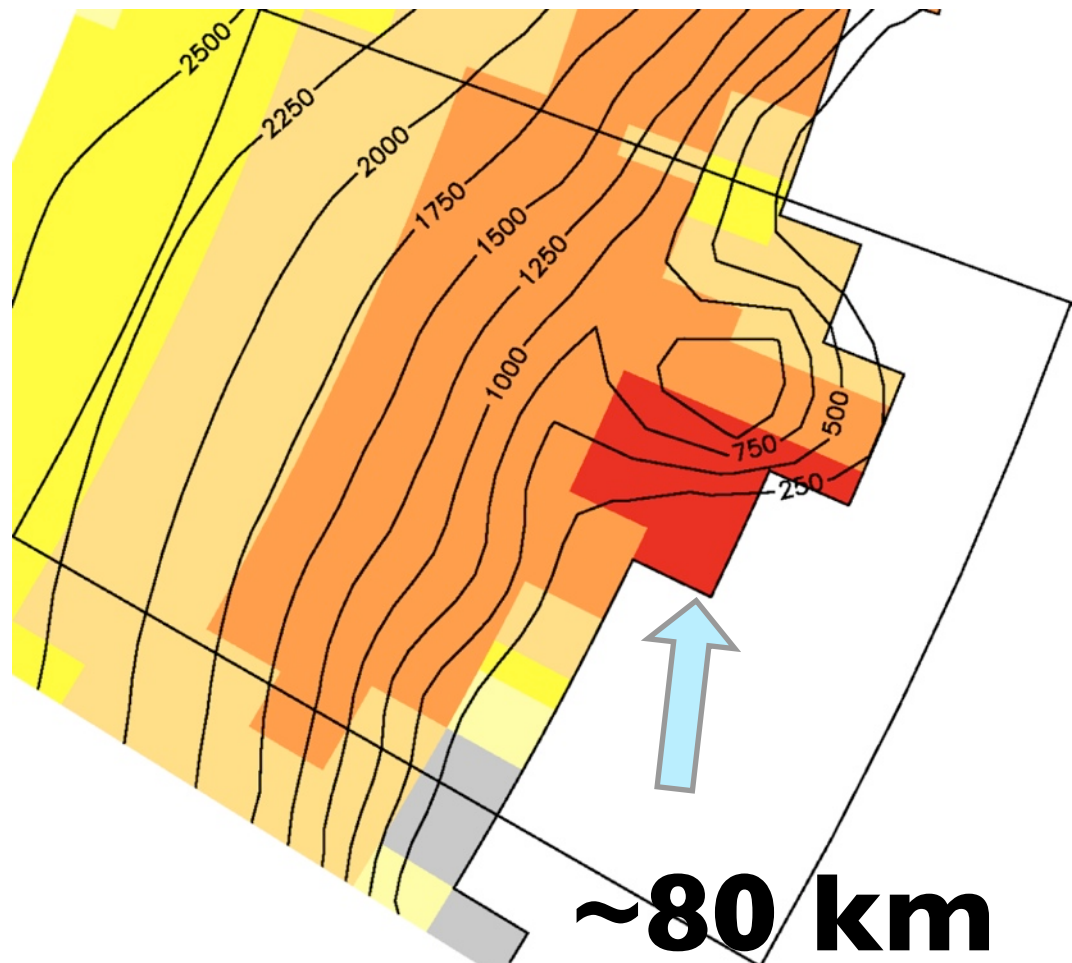
16/07/12

32

Validation sur Law Dome

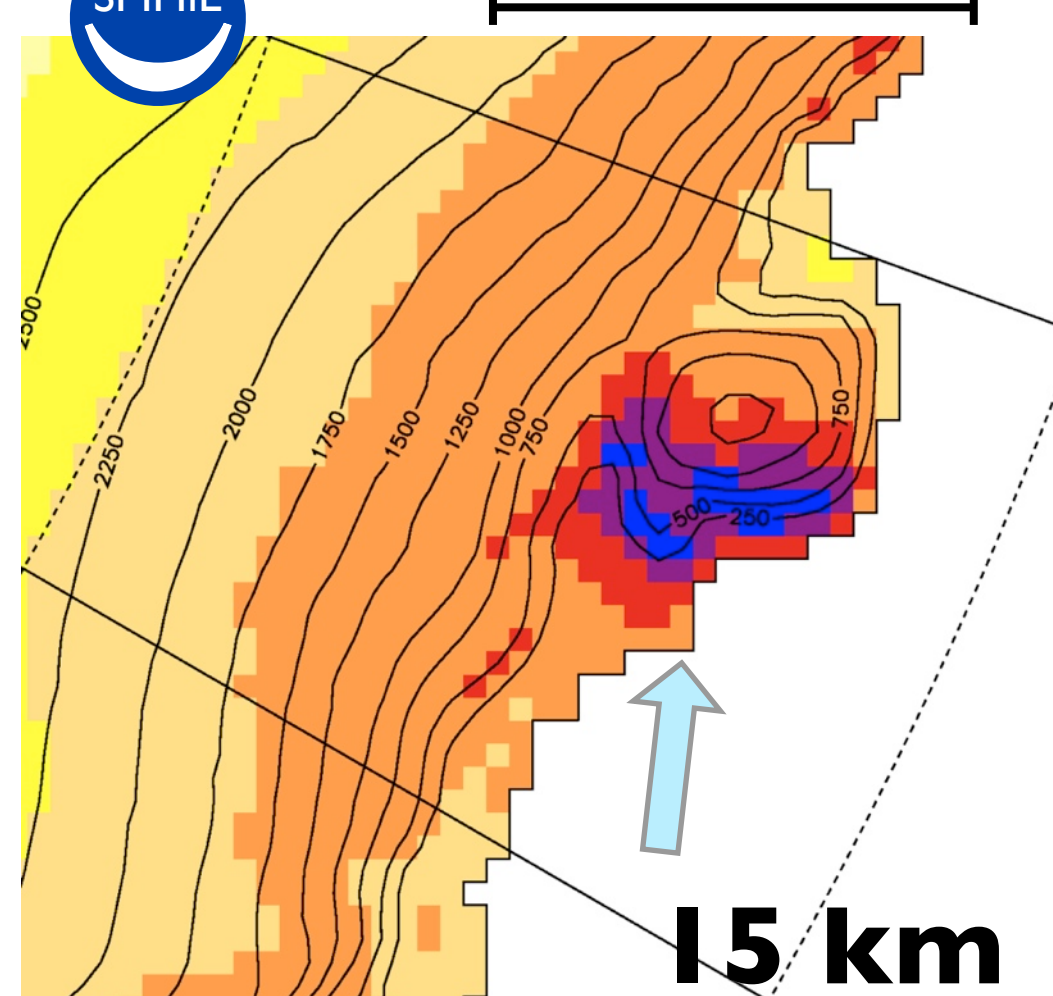
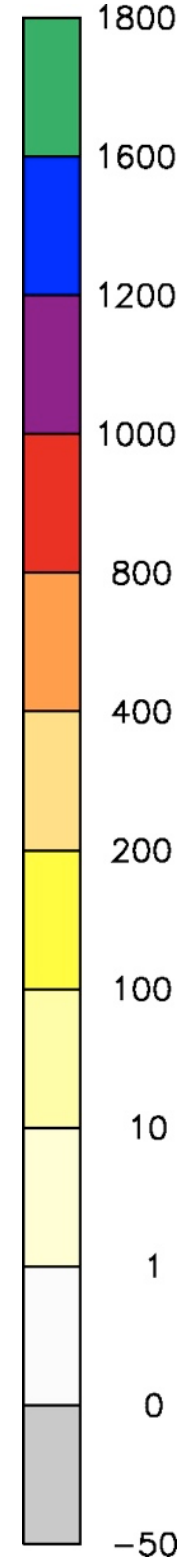


Law Dome

ERA-Interim, 1989-2010
BMS

SMHiL

300 km

mm w.e. a⁻¹

3.4

Enjeu

1

Modèle

2

3

Futur

4

Concl.

5

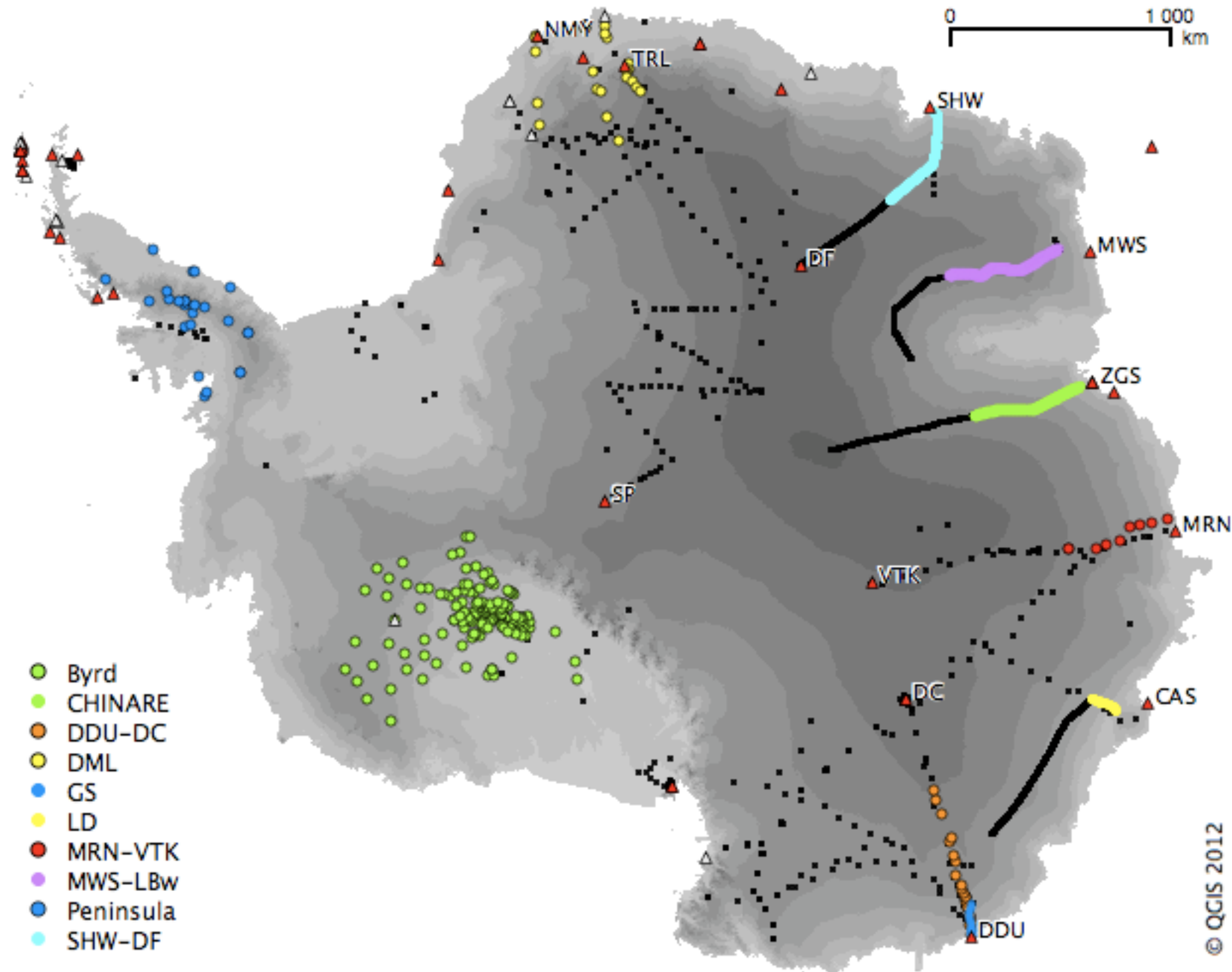


16/07/12

39

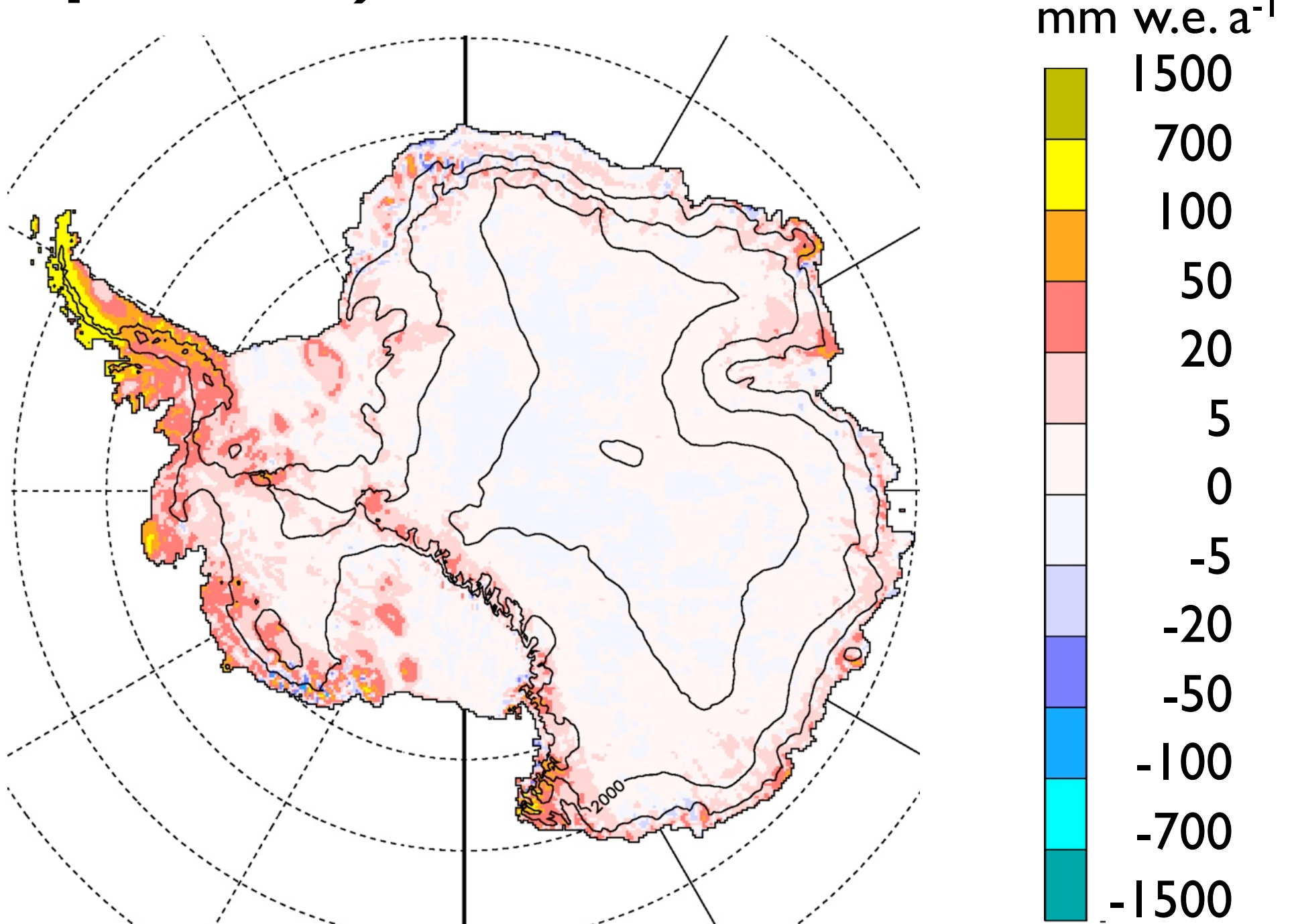
© QGIS 2012

Comparaison à des observations



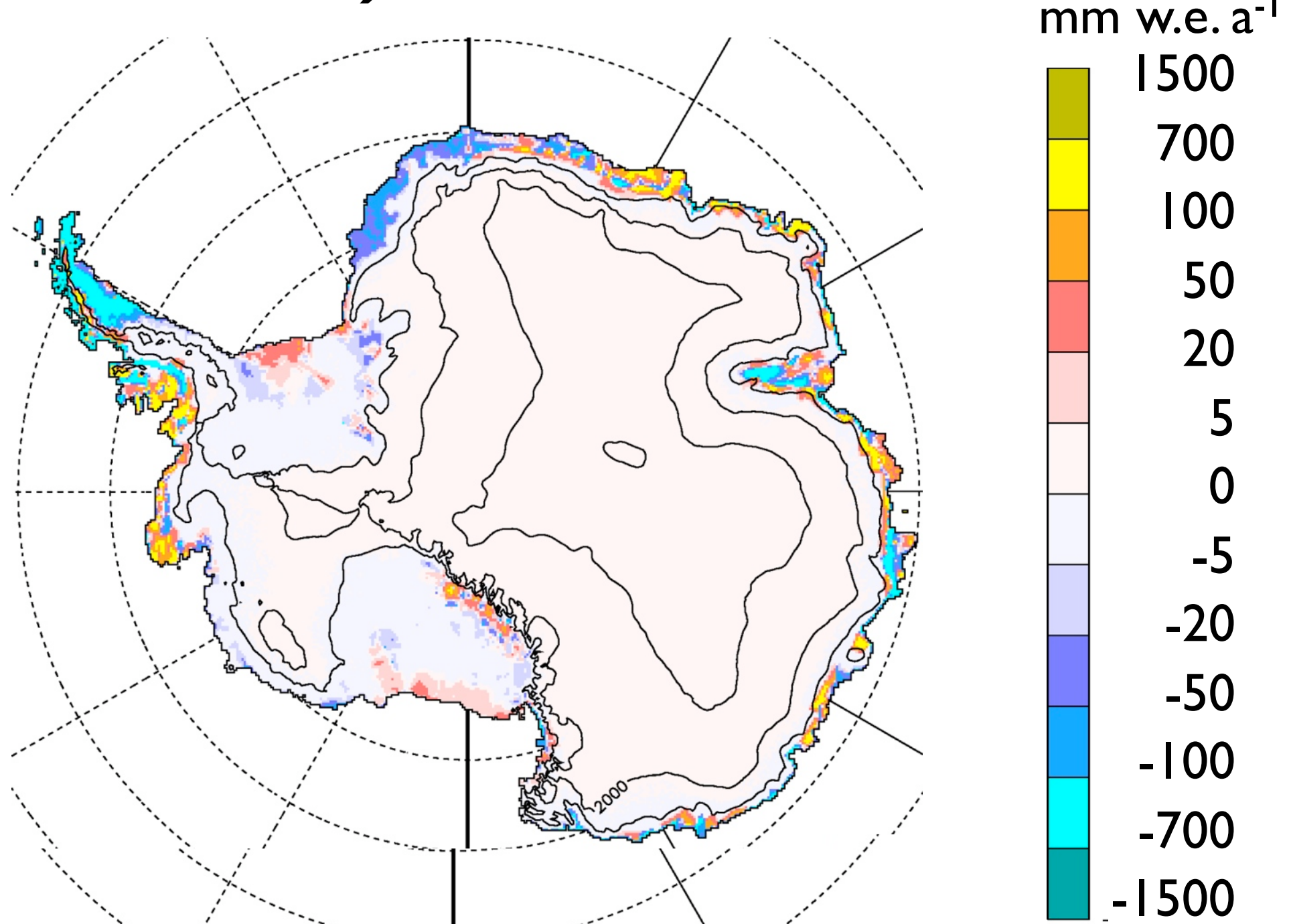
4.2

Evolution du BMS

 $\Delta \text{LMDZ4} = 21^{\circ}\text{e} - 20^{\circ}\text{e} \text{ siècle (évolution)}$ $\Delta(\Delta \text{Precipitations}) = \Delta \text{SMHiL} - \Delta \text{Grande échelle}$ 

4.2

Evolution du BMS

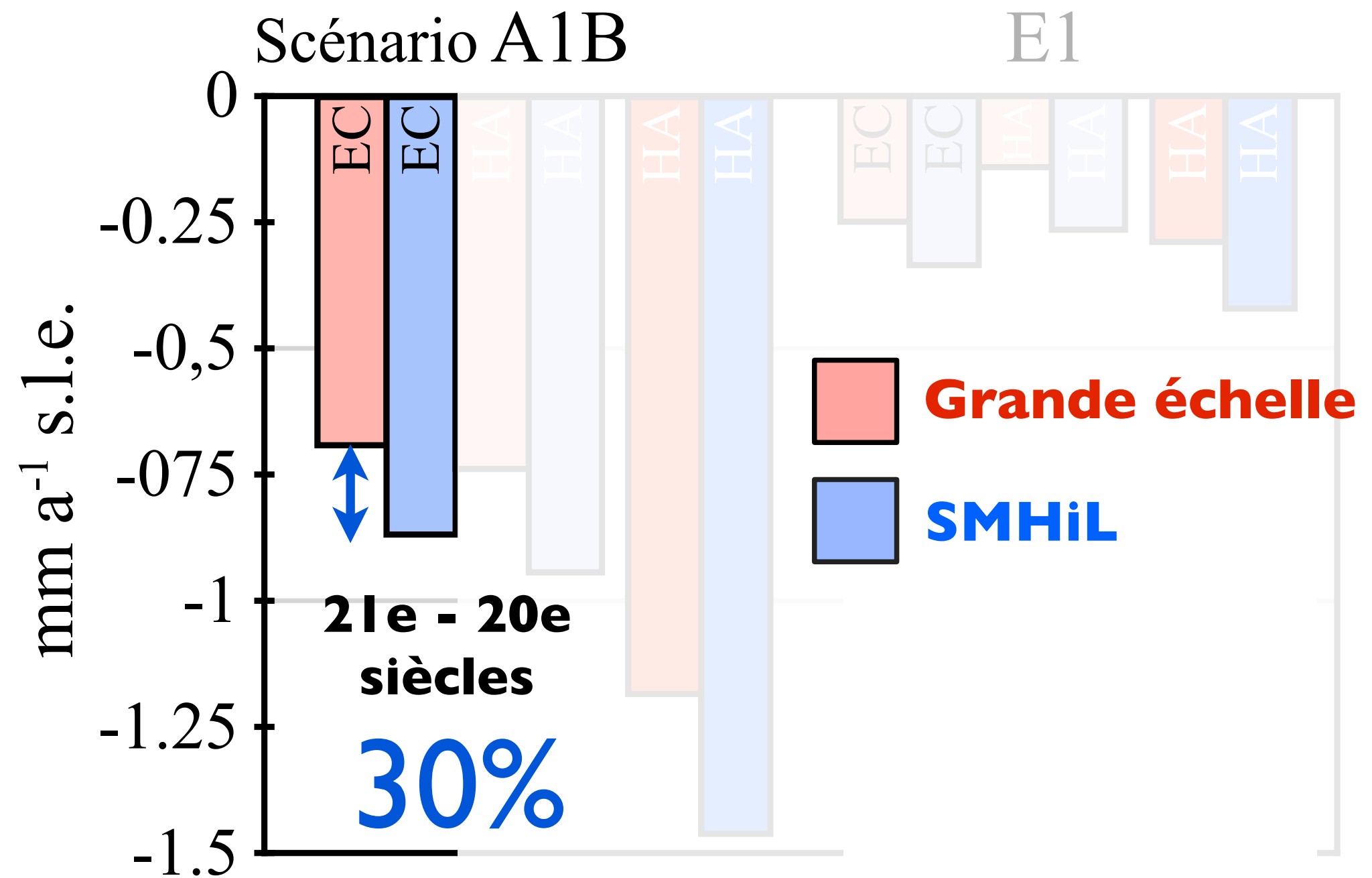
 $\Delta \text{LMDZ4} = 21^{\text{e}} - 20^{\text{e}} \text{ siècle (évolution)}$ $\Delta(\Delta \text{Ruisseaulement}) = \Delta \text{SMHiL} - \Delta \text{Grande échelle}$ 

4.3

Contribution du BMS aux variations du niveau des mers

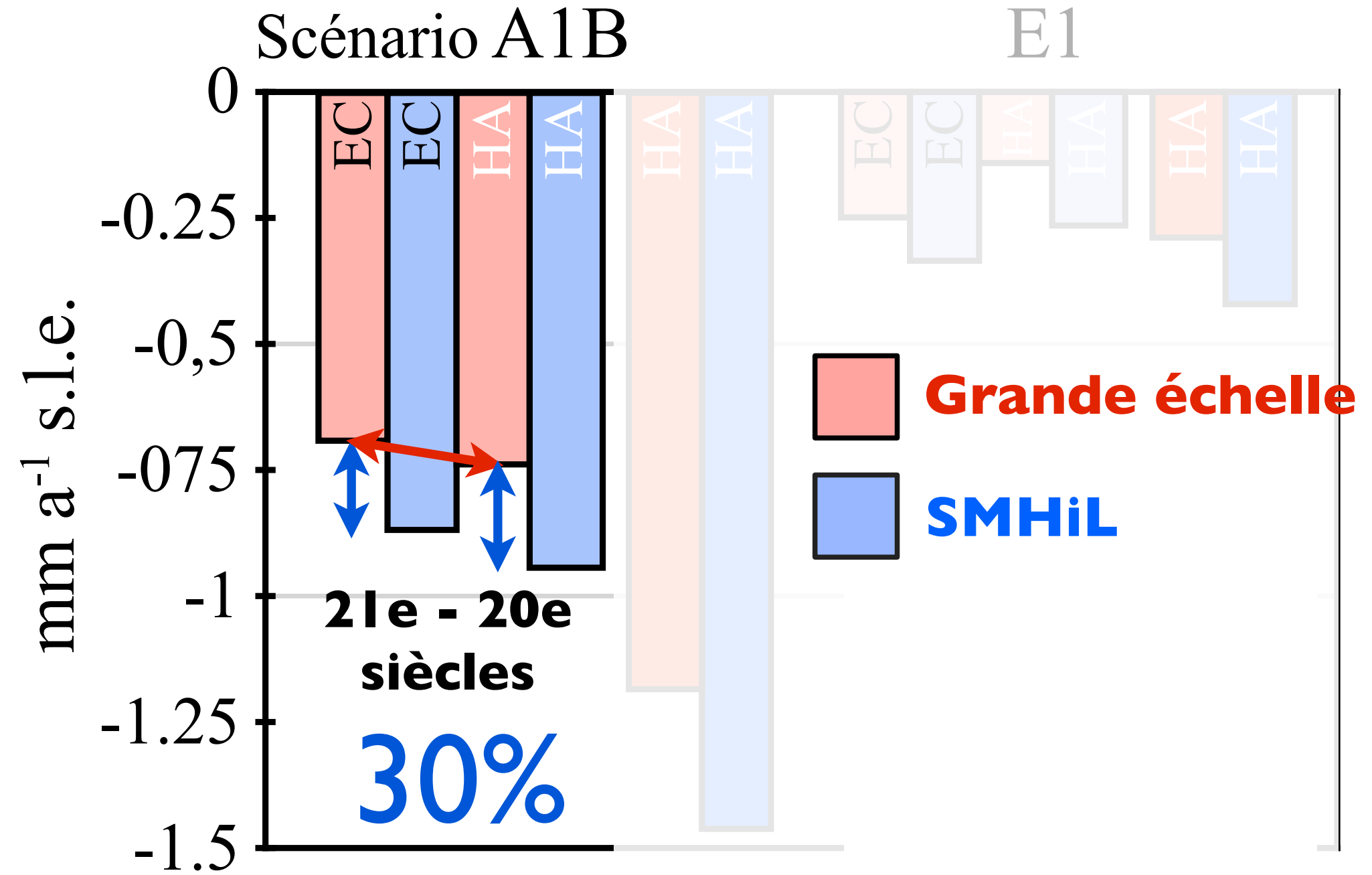
LMDZ4

Forçage océanique : EC = ECHAM5 HA = HADCM3



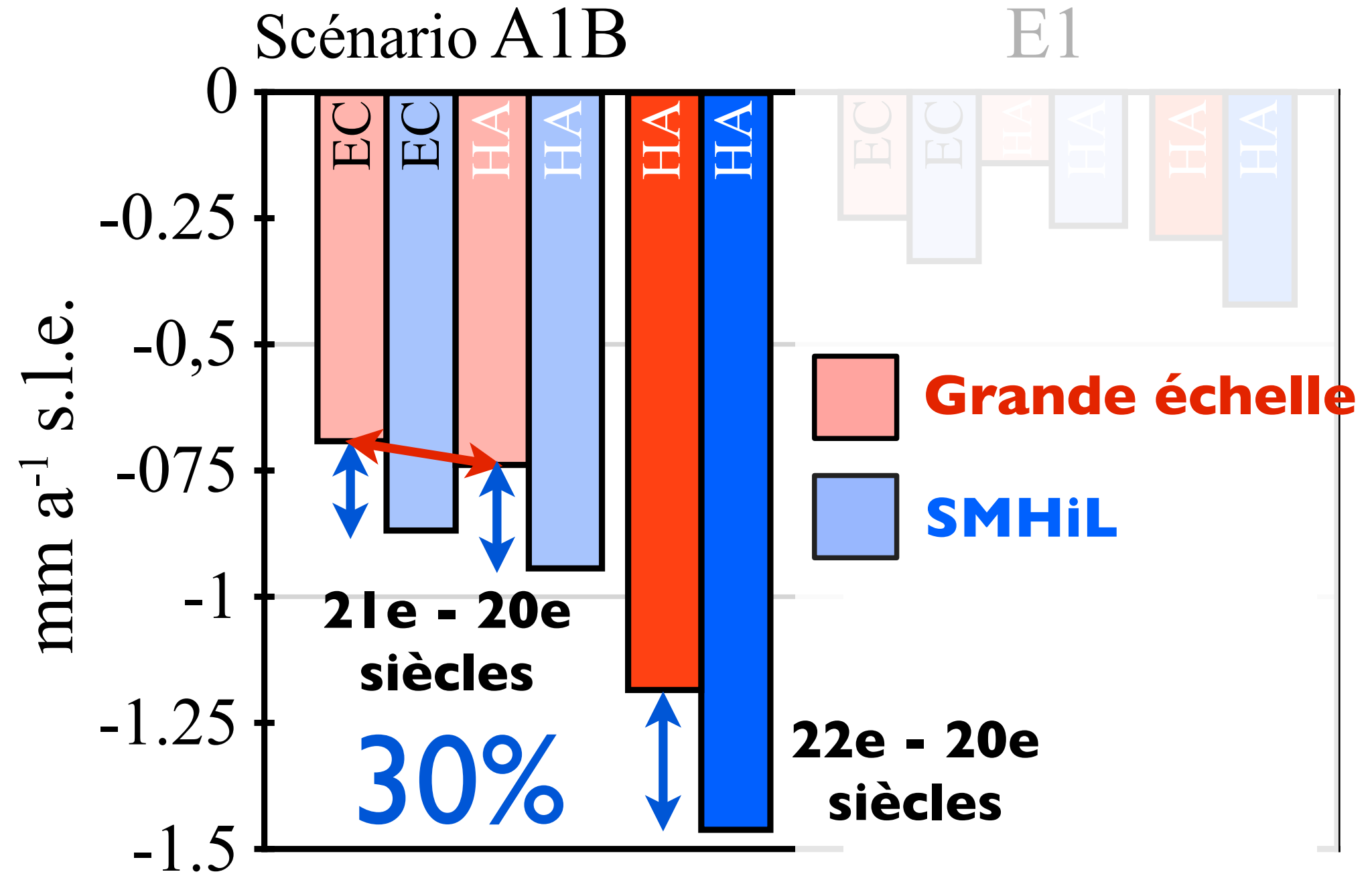
4.3

Contribution du BMS aux variations du niveau des mers

LMDZ4Forçage océanique : **EC** = ECHAM5 **HA** = HADCM3

4.3

Contribution du BMS aux variations du niveau des mers

LMDZ4Forçage océanique : **EC** = ECHAM5 **HA** = HADCM3

2.2

Régionalisation des précipitations

Equations d'écoulement, fluide Newtonien

Conservation de la quantité de mouvement

Conservation de la masse

Conservation de l'énergie

Hypothèses simplificatrices :

Transformation adiabatique

Gaz parfait

Ecoulement irrotationnel

Approximation de Boussinesq

Ecoulement stationnaire

2D

Linéarisation des équations :

Petites perturbations autour de l'équilibre hydrostatique

Vent horizontal \gg Vent vertical

Variables moyennes variant peu horizontalement

⇒ **Equation d'onde sur la vitesse verticale du vent**

Stabilité de l'atmosphère et critères géométriques :

Stabilité variant lentement selon la verticale

Période d'oscillation \ll Temps pour passer l'obstacle

⇒ **Onde de gravité hydrostatique**

2.2

Régionalisation des précipitations

Equations d'écoulement, fluide Newtonien

Conservation de la quantité de mouvement

Conservation de la masse

Conservation de l'énergie

Hypothèses simplificatrices :

Transformation adiabatique

Gaz parfait

Ecoulement irrotationnel

Approximation de Boussinesq

Ecoulement stationnaire

2D

Linéarisation des équations :

Petites perturbations autour de l'équilibre hydrostatique

Vent horizontal \gg Vent vertical

Variables moyennes variant peu horizontalement

⇒ **Equation d'onde sur la vitesse verticale du vent**

Stabilité de l'atmosphère et critères géométriques :

Stabilité variant lentement selon la verticale

Période d'oscillation \ll Temps pour passer l'obstacle

⇒ **Onde de gravité hydrostatique**



2.2

Régionalisation des précipitations

Equations d'écoulement, fluide Newtonien

Conservation de la quantité de mouvement

Conservation de la masse

Conservation de l'énergie

Hypothèses simplificatrices :

Gaz parfait

Transformation adiabatique

Ecoulement irrotationnel

Approximation de Boussinesq

Ecoulement stationnaire

2D

Linéarisation des équations :

Petites perturbations autour de l'équilibre hydrostatique

Vent horizontal \gg Vent vertical

Variables moyennes variant peu horizontalement



2.2

Régionalisation des précipitations

Equations d'écoulement, fluide Newtonien

Conservation de la quantité de mouvement

Conservation de la masse

Conservation de l'énergie

Hypothèses simplificatrices :

Transformation adiabatique

Gaz parfait

Ecoulement irrotationnel

Approximation de Boussinesq

Ecoulement stationnaire

2D

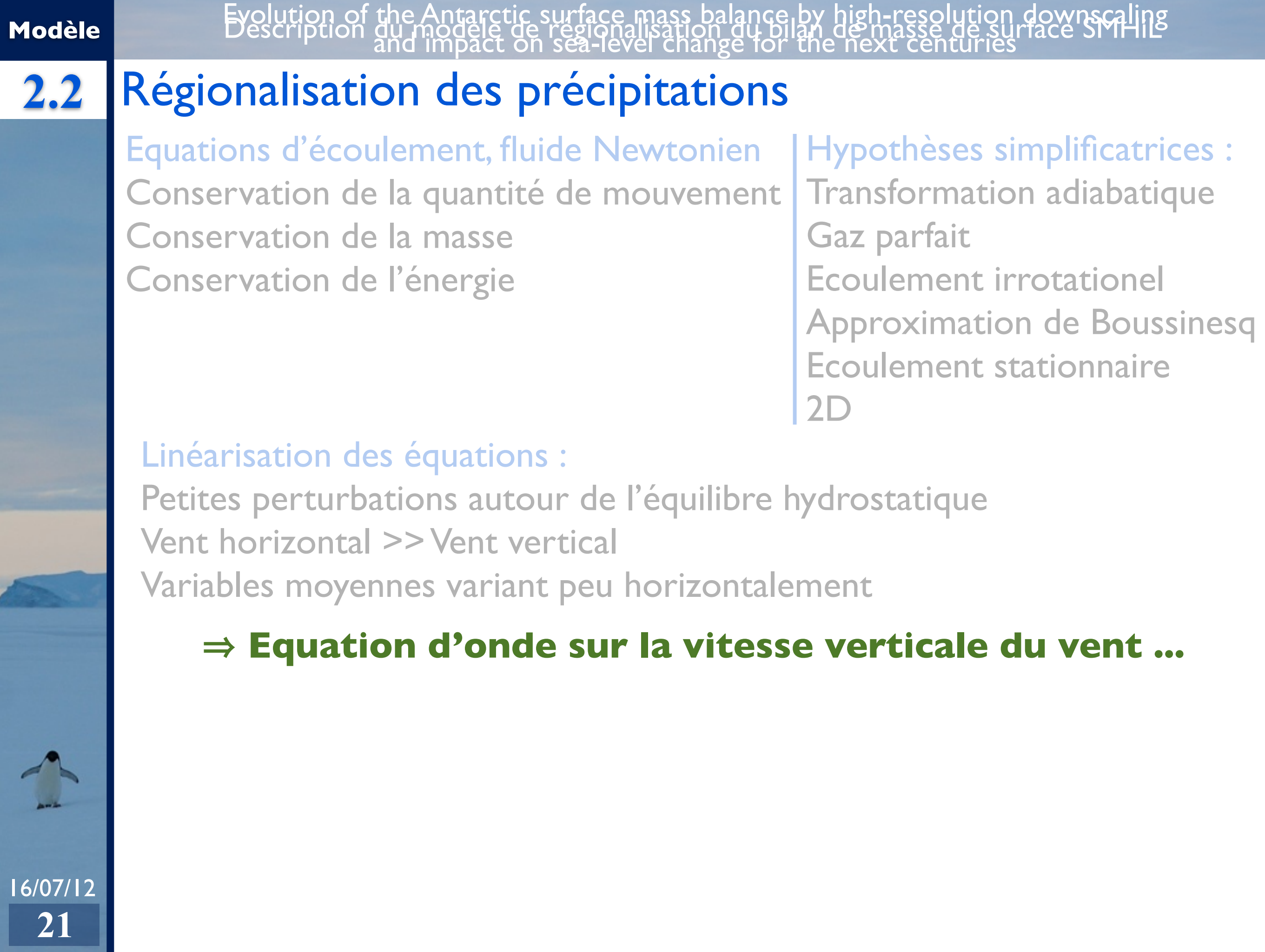
Linéarisation des équations :

Petites perturbations autour de l'équilibre hydrostatique

Vent horizontal \gg Vent vertical

Variables moyennes variant peu horizontalement

⇒ **Equation d'onde sur la vitesse verticale du vent ...**



2.2

Régionalisation des précipitations

Equations d'écoulement, fluide Newtonien

Conservation de la quantité de mouvement

Conservation de la masse

Conservation de l'énergie

Hypothèses simplificatrices :

Transformation adiabatique

Gaz parfait

Ecoulement irrotationnel

Approximation de Boussinesq

Ecoulement stationnaire

2D

Linéarisation des équations :

Petites perturbations autour de l'équilibre hydrostatique

Vent horizontal \gg Vent vertical

Variables moyennes variant peu horizontalement

⇒ **Equation d'onde sur la vitesse verticale du vent ...**

Stabilité de l'atmosphère et critères géométriques :

Stabilité variant lentement selon la verticale

Période d'oscillation \ll Temps pour passer l'obstacle



2.2

Régionalisation des précipitations

Equations d'écoulement, fluide Newtonien

Conservation de la quantité de mouvement

Conservation de la masse

Conservation de l'énergie

Hypothèses simplificatrices :

Transformation adiabatique

Gaz parfait

Ecoulement irrotationnel

Approximation de Boussinesq

Ecoulement stationnaire

2D

Linéarisation des équations :

Petites perturbations autour de l'équilibre hydrostatique

Vent horizontal \gg Vent vertical

Variables moyennes variant peu horizontalement

⇒ **Equation d'onde sur la vitesse verticale du vent ...**

Stabilité de l'atmosphère et critères géométriques :

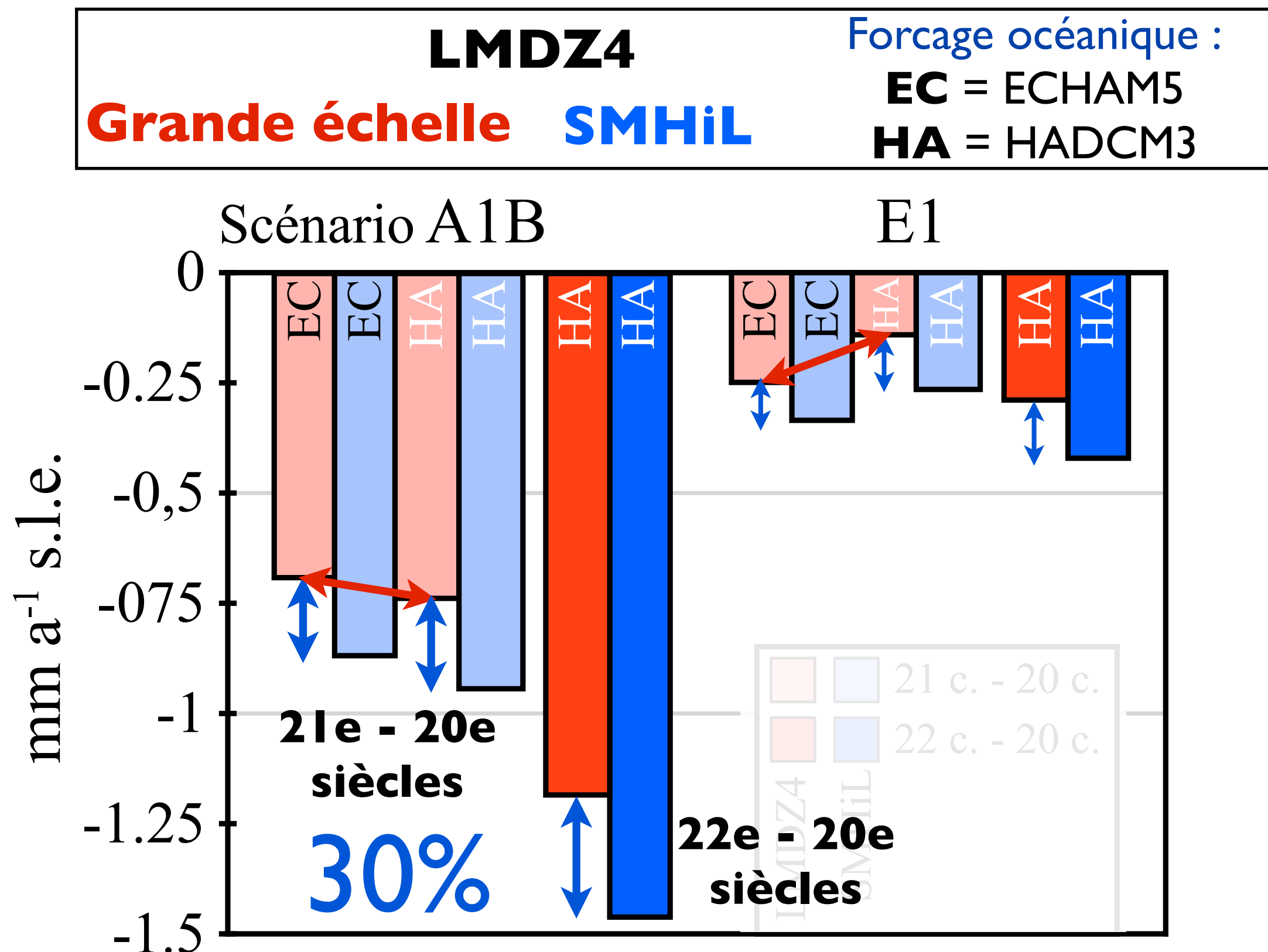
Stabilité variant lentement selon la verticale

Période d'oscillation \ll Temps pour passer l'obstacle

... dépendant des conditions locales de topographie

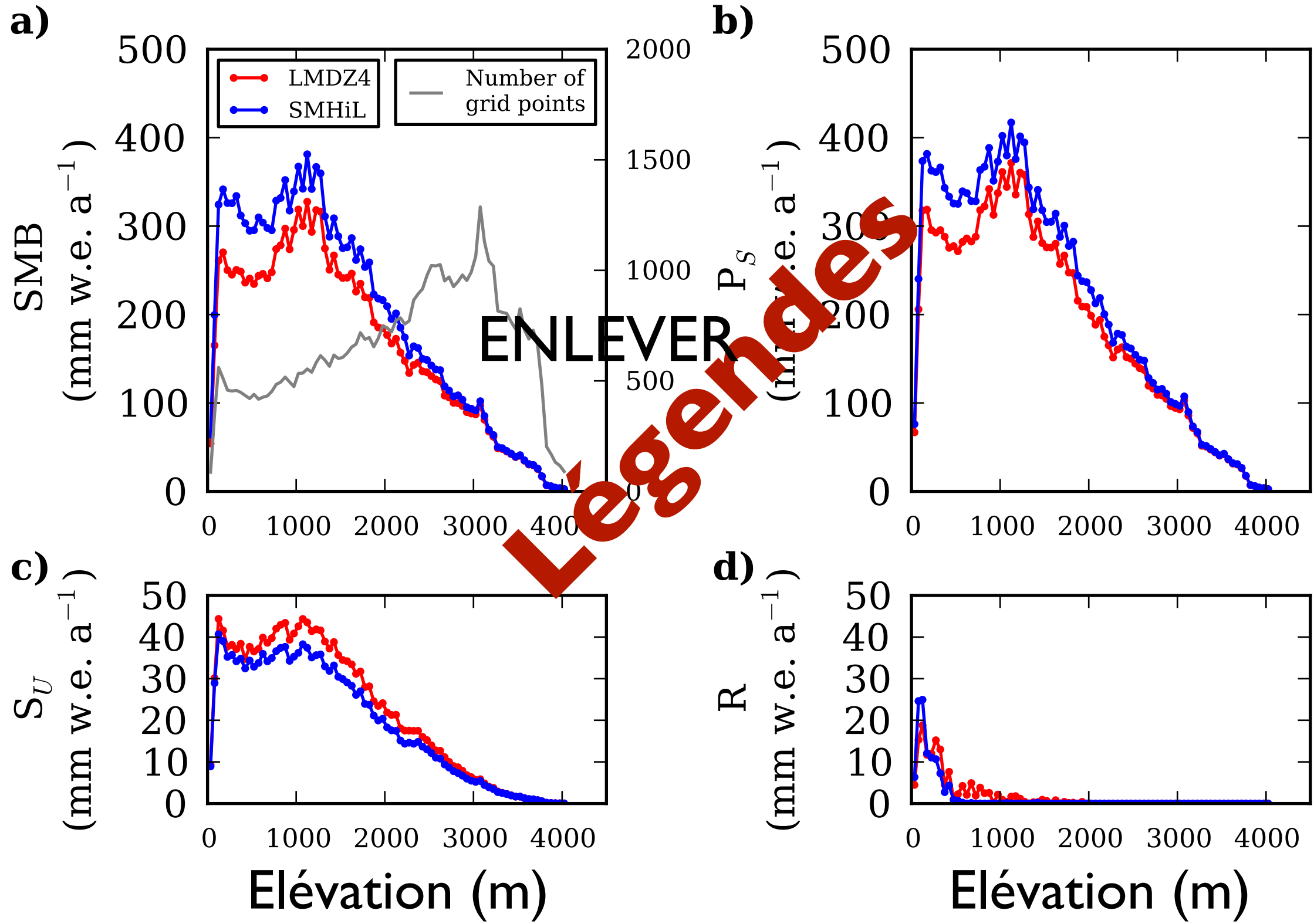
4.1

Augmentation du BMS au cours des prochains siècles



Apport de la régionalisation

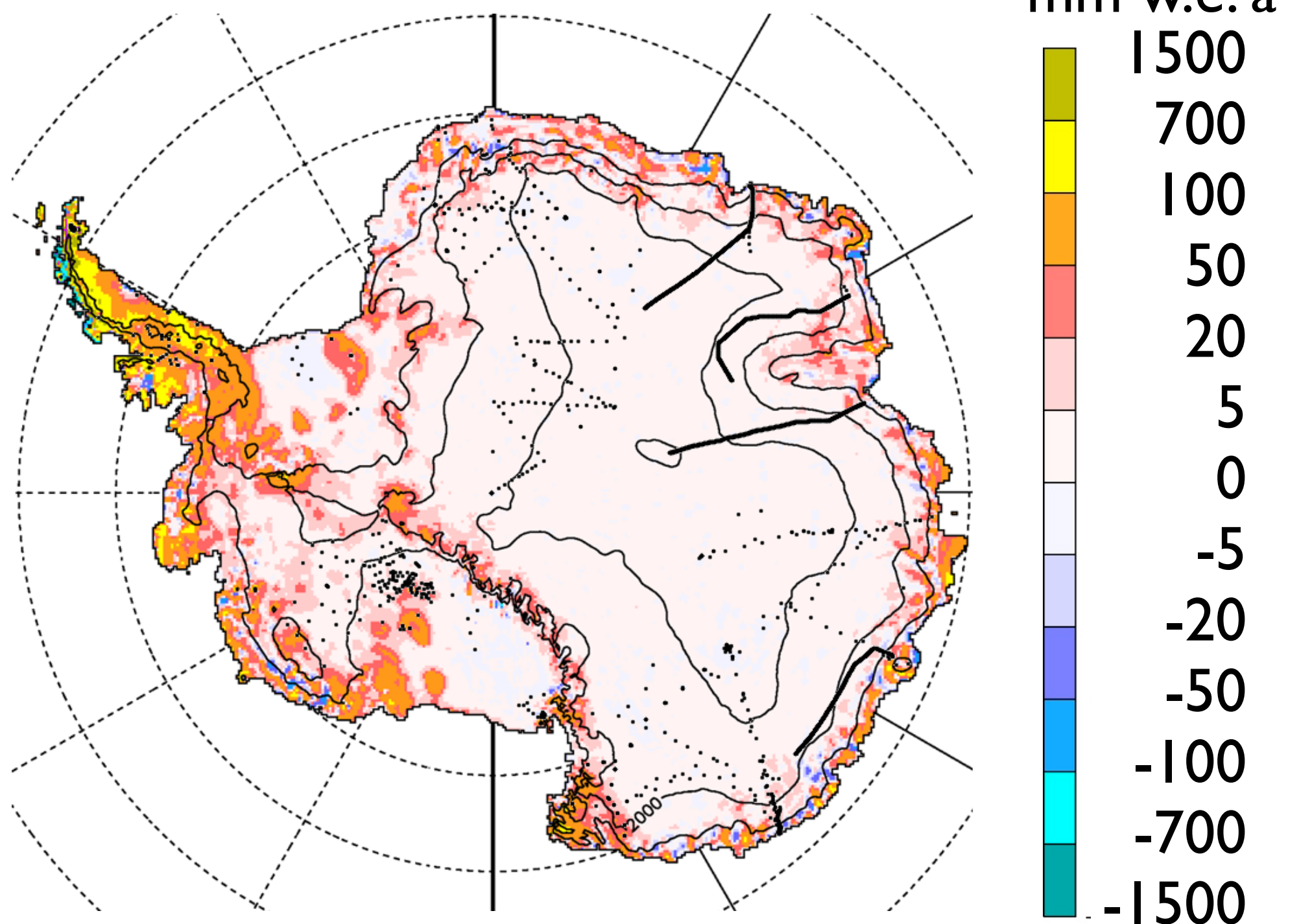
LMDZ4 1981-2000



1.1

Comparaison à des observations de qualité contrôlée

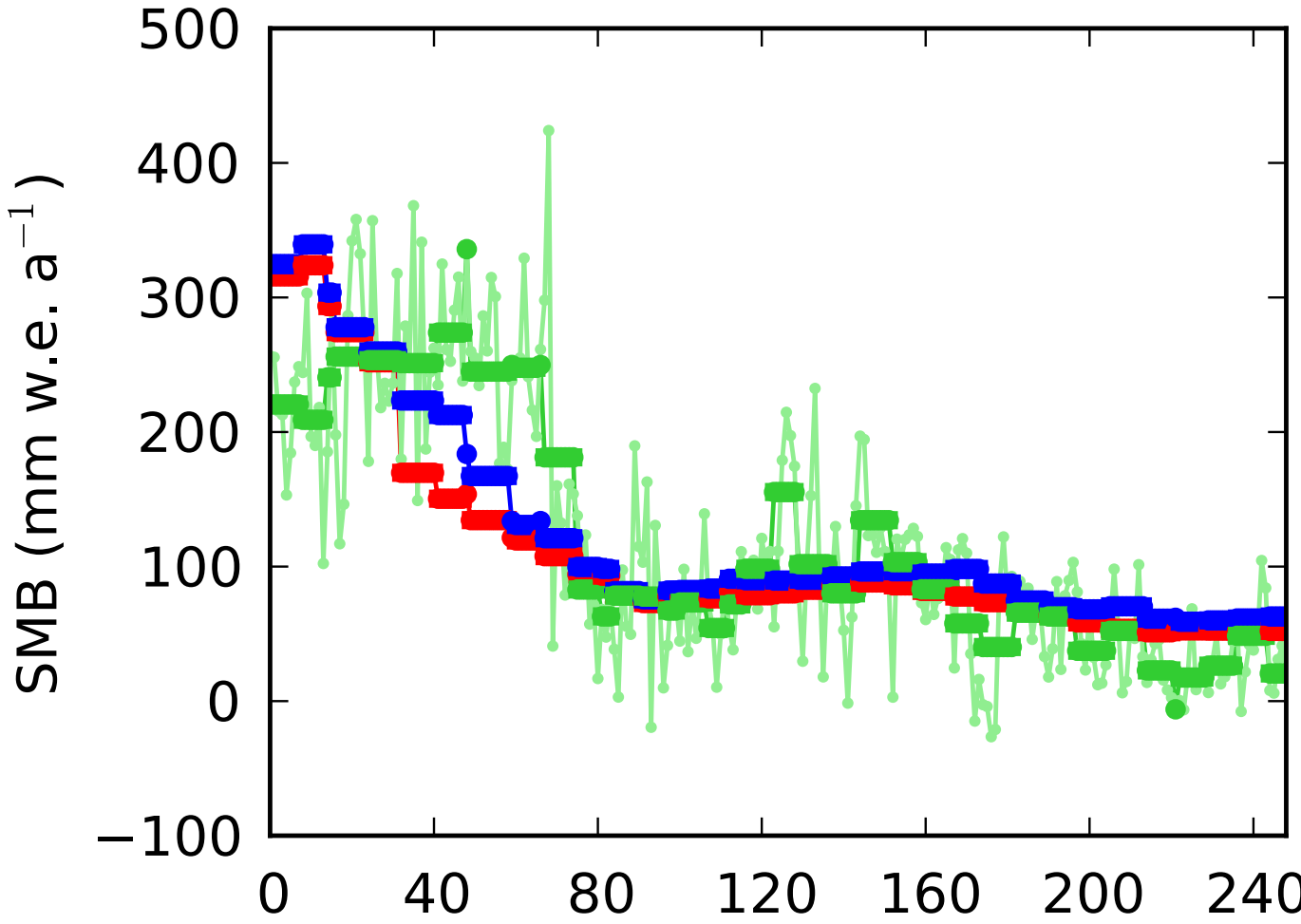
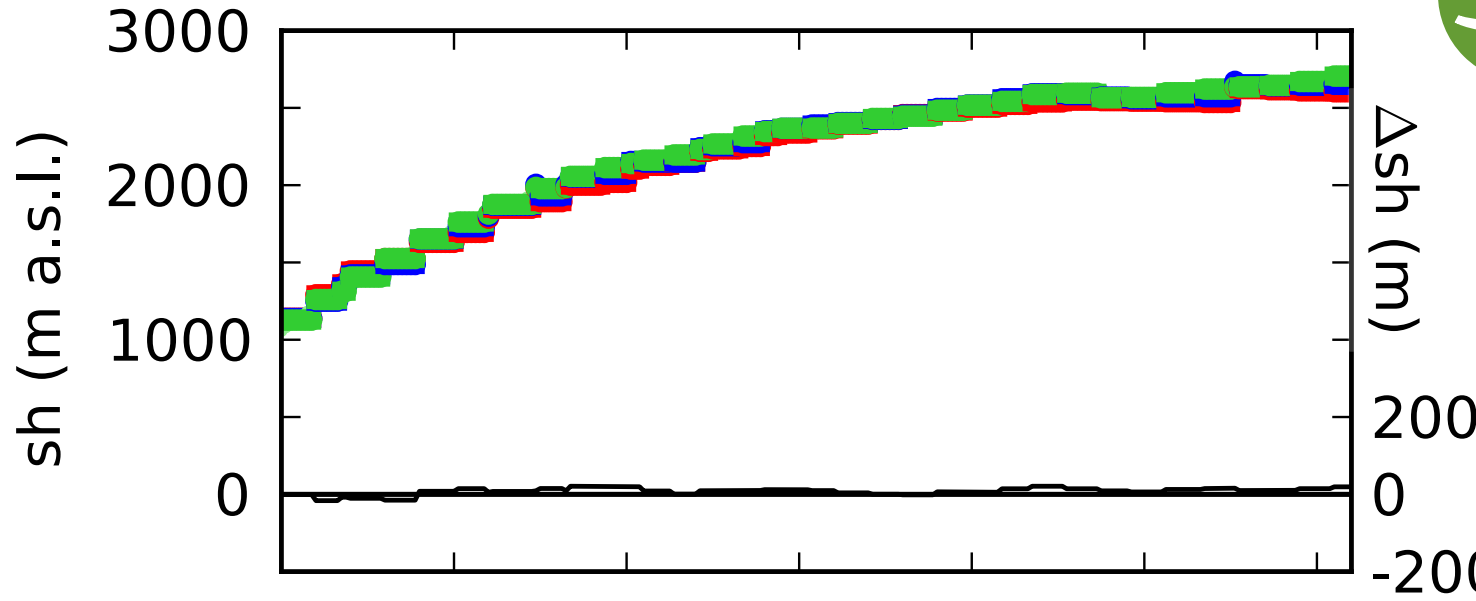
BMS LMDZ4 1981-2000

 $\Delta\text{BMS} = \text{SMHiL} - \text{Grande échelle}$ 

1.1

Comparaison à des observations de qualité contrôlée

e) CHINARE

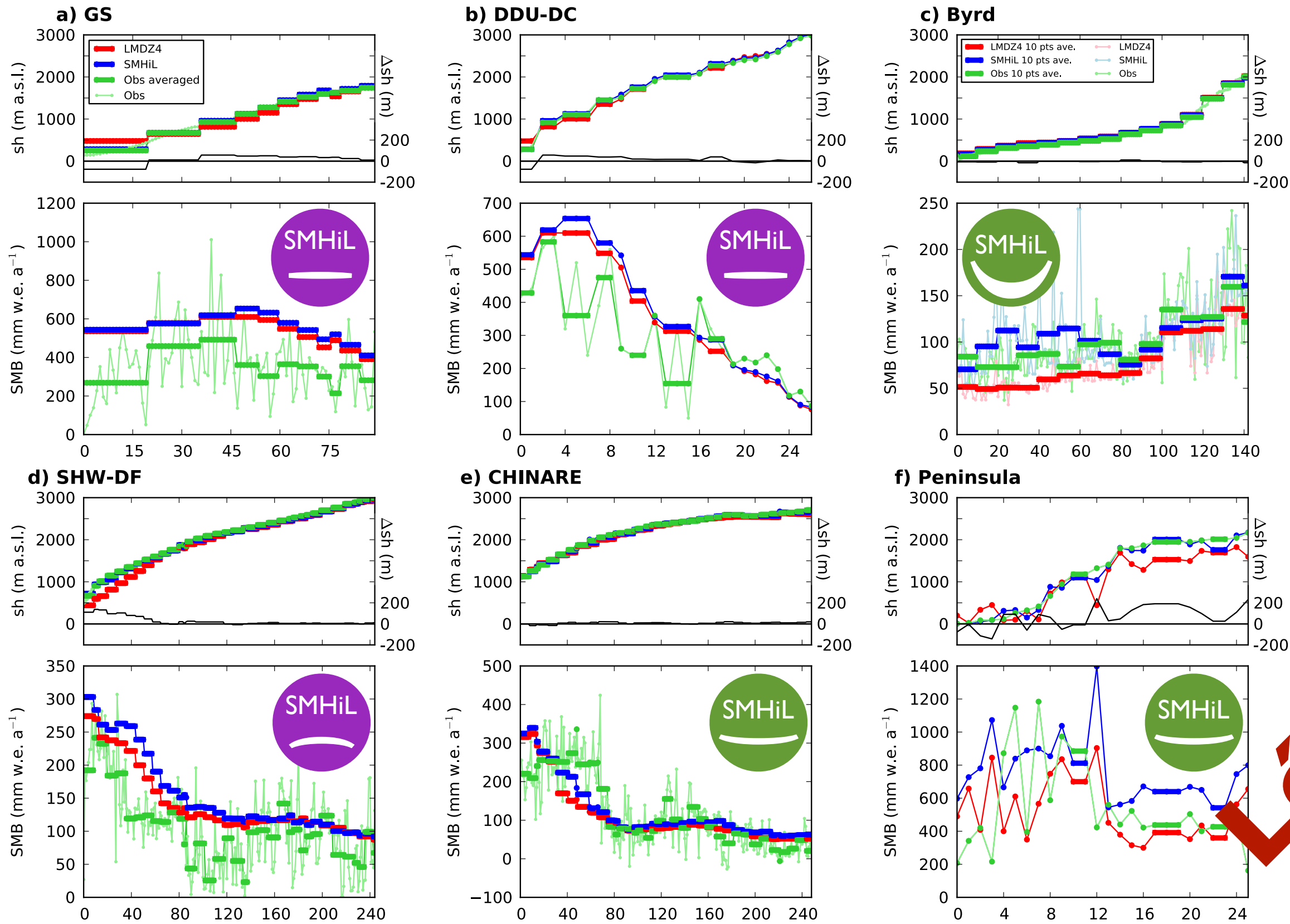


Légende



1.1

Comparaison à des observations de qualité contrôlée



3.2

Apport de la régionalisation à l'évaluation du BMS actuel

80km

40km

15km

mm w.e. a⁻¹

2600

2000

1600

1200

1000

800

400

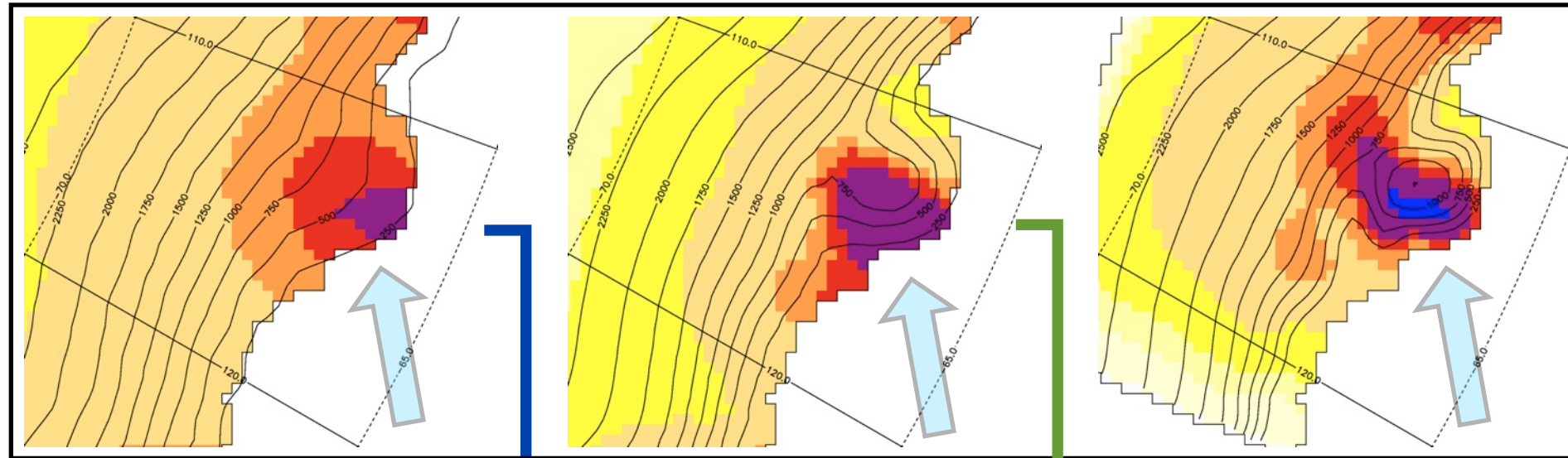
200

100

0

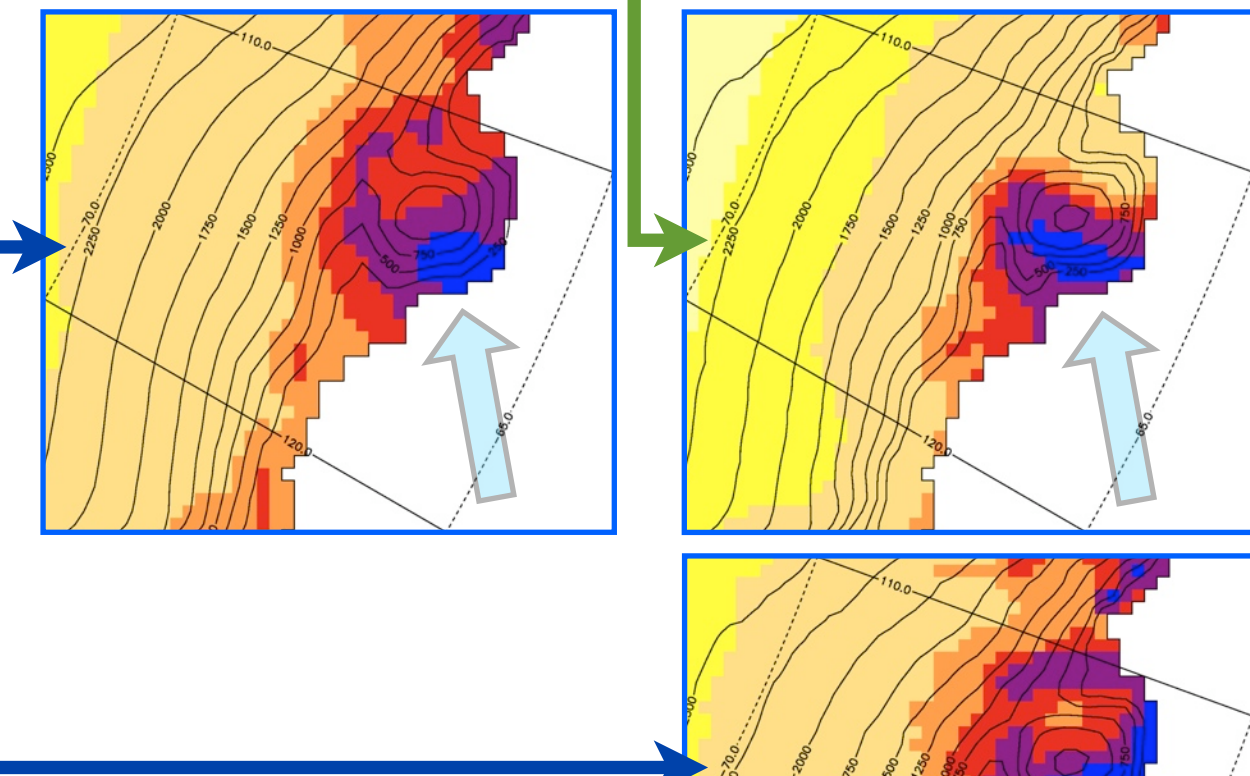
-1

MAR



SMHiL

**Distribution
Intensité**



MAR 2004

Précipitations

1.3

Régionalisation du bilan de masse de surface Antarctique

1

Modèle

2

Actuel

3

Futur

4

Concl.

5



Modèle de climat

**Régionalisation****BMS modélisé
à haute résolution**
mer → calotte

Présent

**BMS observé**Présent
FuturContribution Antarctique au
niveau des mersPrésente
FutureEcoulement
calotte → mer

1.3

Régionalisation du bilan de masse de surface Antarctique

1

Modèle

2

Actuel

3

Futur

4

Concl.

5



Projections futures :

Air : Température ↑ ⇒ Humidité ↑



Précipitations de neige ↑

Occurrences de pluie/fonte, sublimation ↑

Surtout en zone côtière

1.3

Régionalisation du bilan de masse de surface Antarctique

1

Modèle

2

Actuel

3

Futur

4

Concl.

5



Projections futures :

Air : Température ↑ ⇒ Humidité ↑



Précipitations de neige ↑

Occurrences de pluie/fonte, sublimation ↑

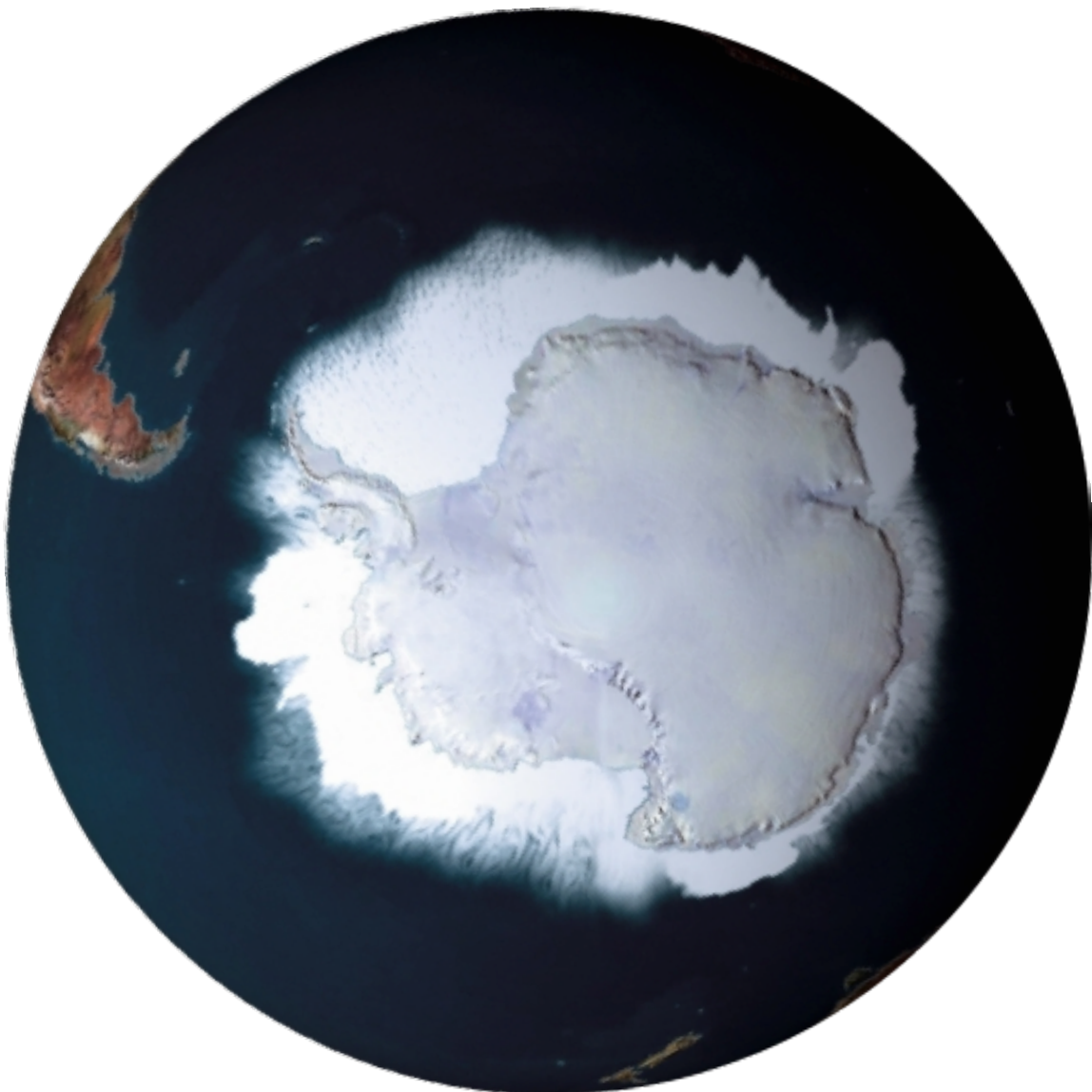
Surtout en zone côtière

1.1 L'Antarctique : un continent englacé



1.1

L'Antarctique : un continent englacé

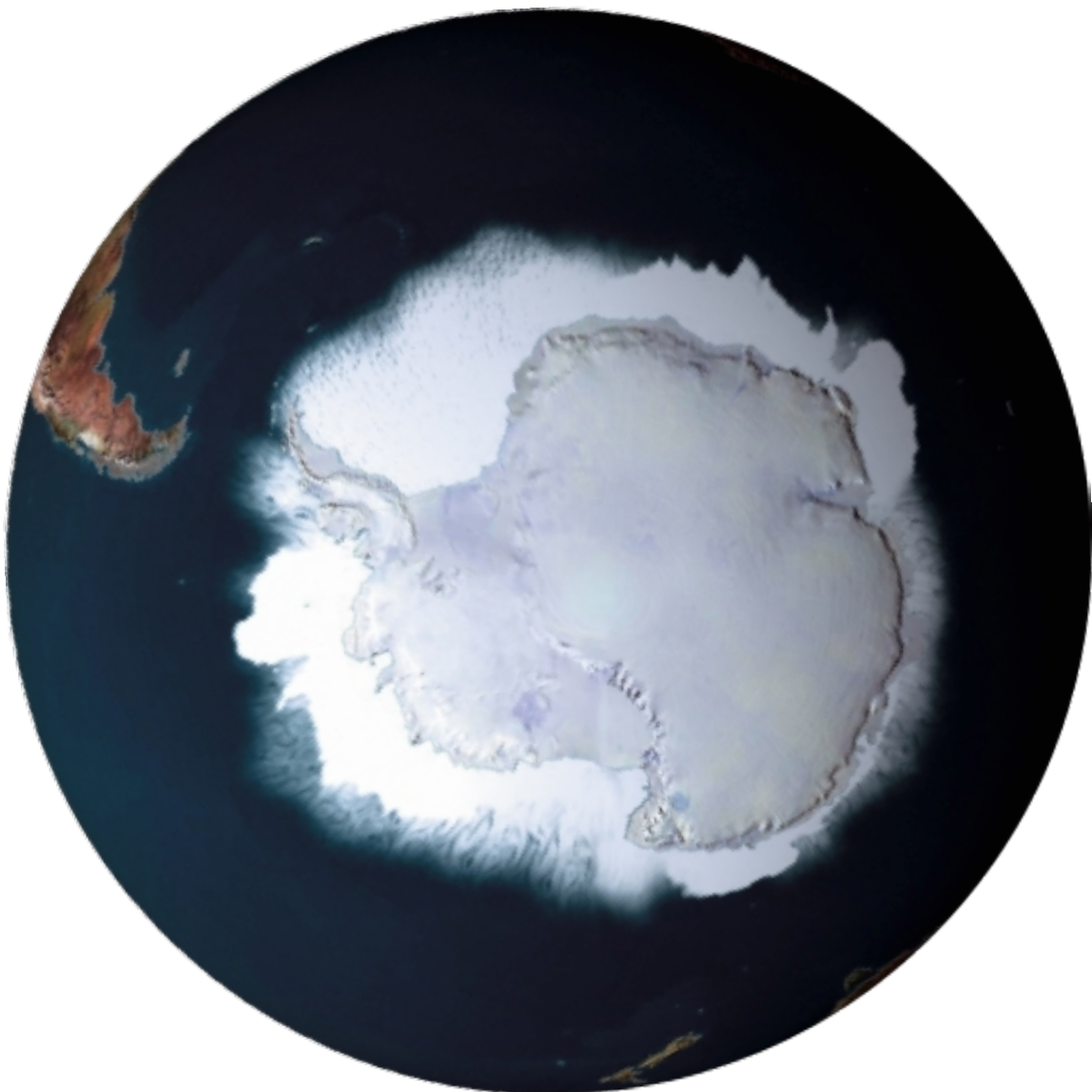


12,5 Millions de km²

(Russie: 17, USA : 7.9, UE : 4.4)

1.1

L'Antarctique : un continent englacé

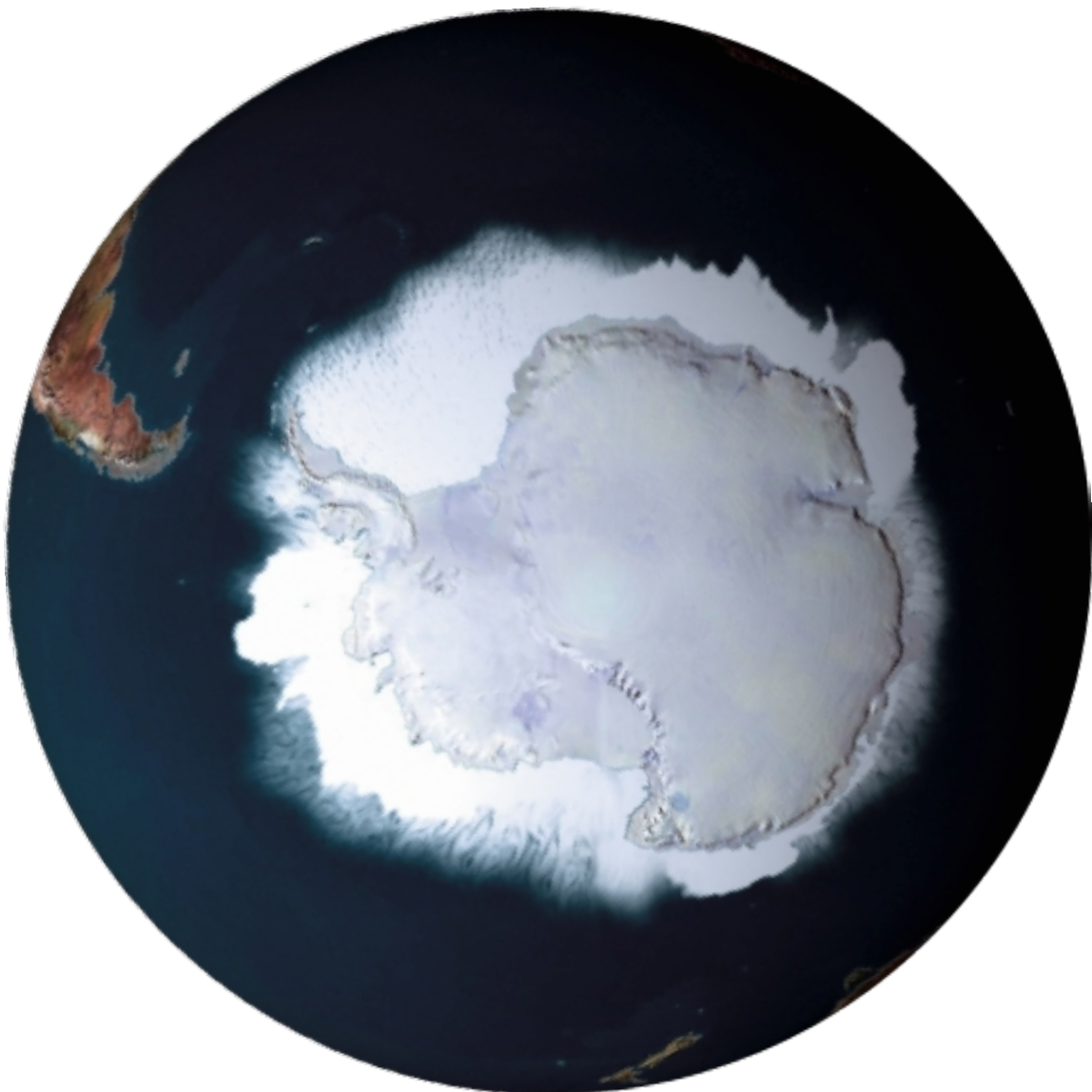


2,5 Millions de km²

(Russie: 17, USA : 7.9, UE : 4.4)

1.1

L'Antarctique : un continent englacé

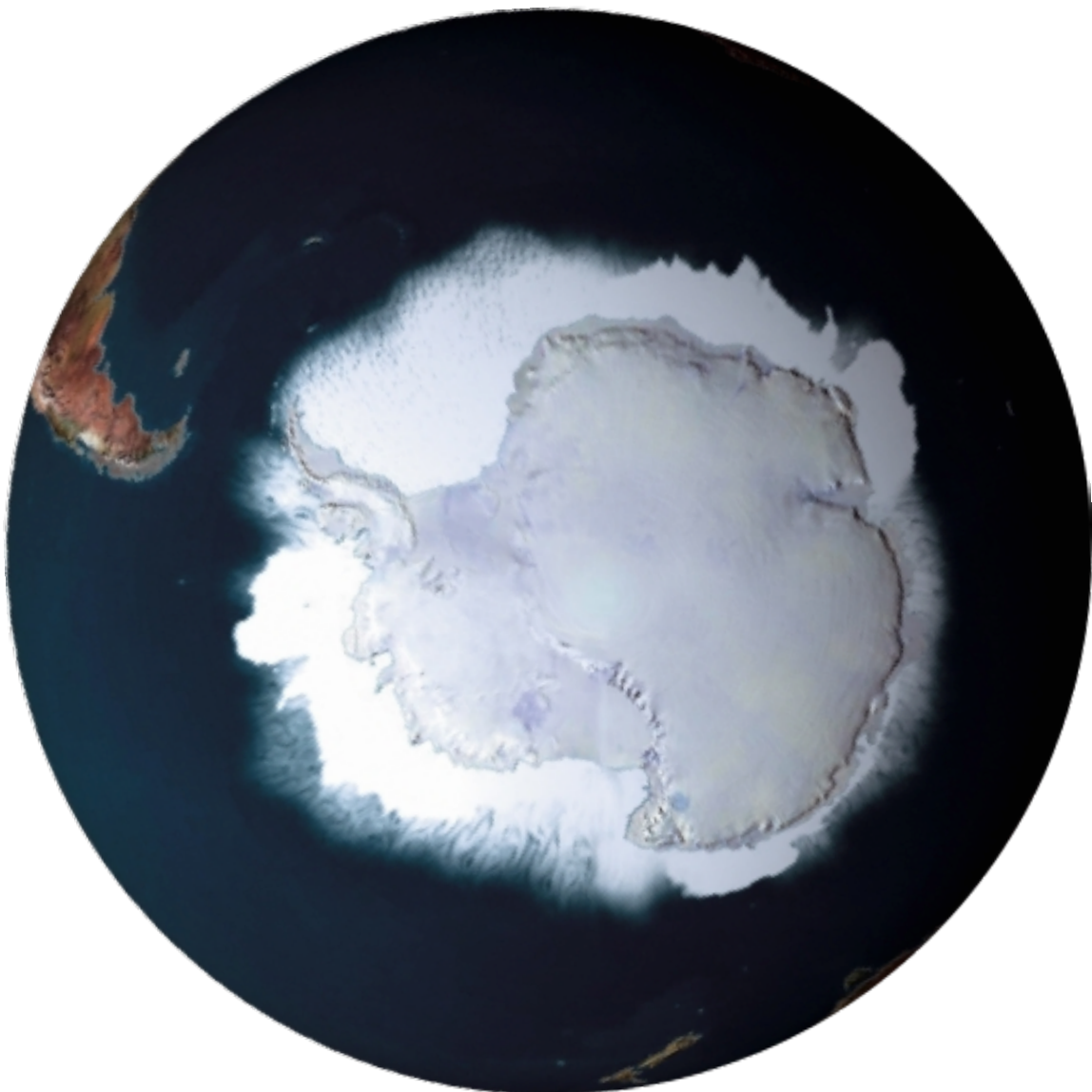


3 à 4 Millions de km²

(Russie: 17, USA : 7.9, UE : 4.4)

1.1

L'Antarctique : un continent englacé



17 à 20 Millions de km²

(Russie: 17, USA : 7.9, UE : 4.4)

1.1

I

Modèle

2

Actuel

3

Futur

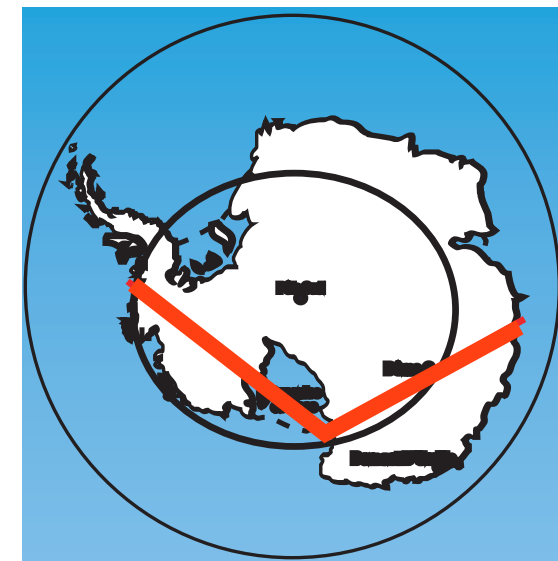
4

Concl.

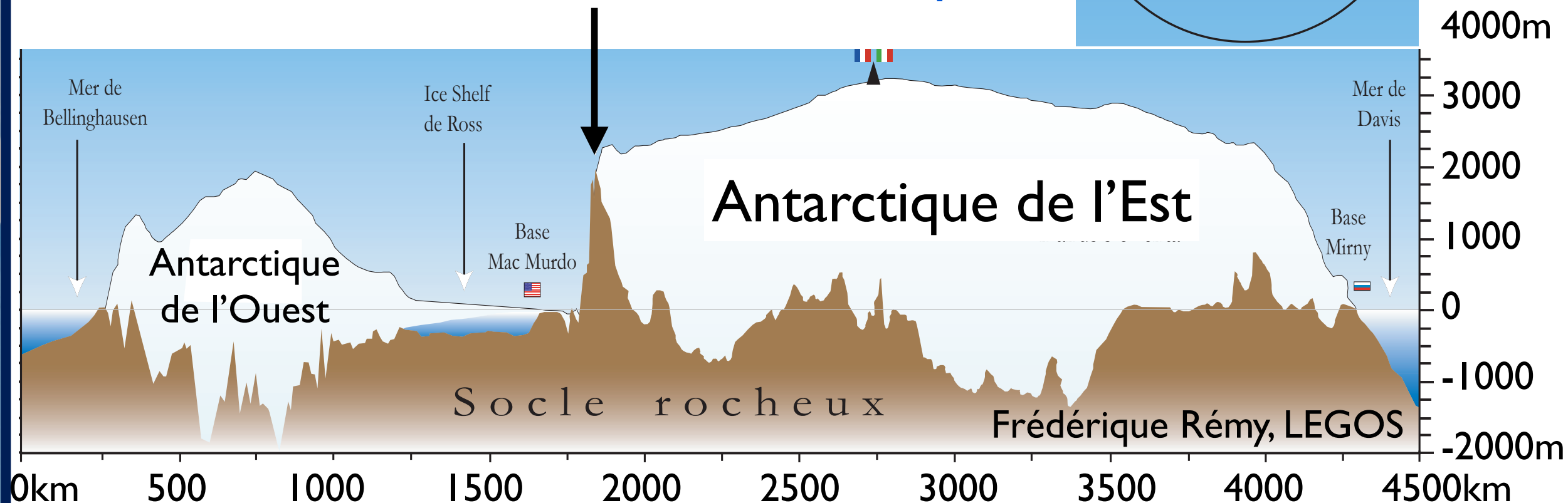


Géographie de la calotte polaire Antarctique

Epaisseur maximale de glace : 4800 m
 Point culminant de glace : 4100 m
 Point culminant en rocher : 4897 m



Chaîne transantarctique



1.1

Géographie de la calotte polaire Antarctique

1

Modèle

2

Actuel

3

Futur

4

Concl.

5

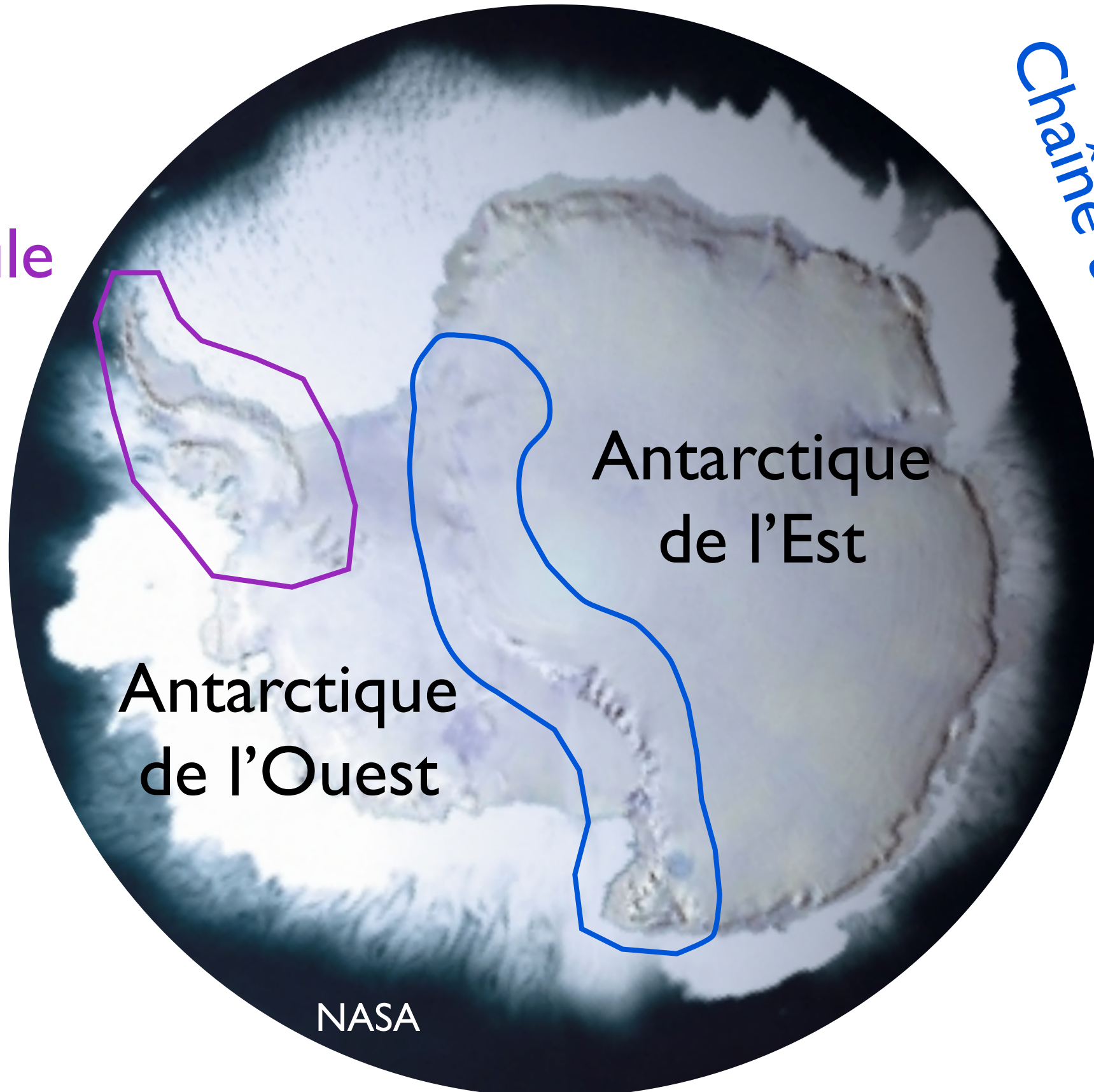


Péninsule

Antarctique
de l'EstAntarctique
de l'Ouest

NASA

Chaîne transantarctique

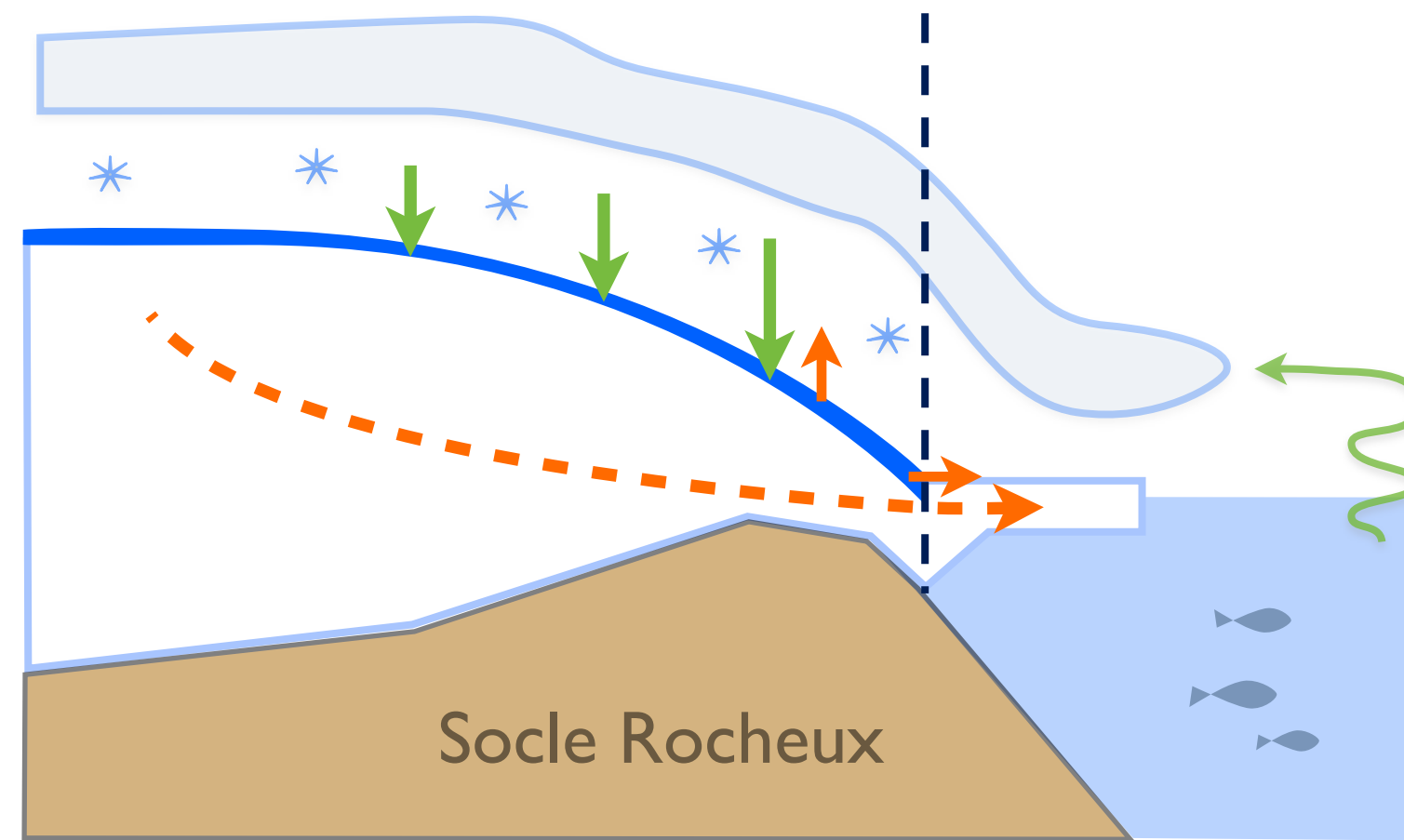


Bilan de masse de la calotte Antarctique et niveau des mers

Bilan de masse de la calotte

= bilan des flux d'eau **entrant** et **sortant** sur la calotte **posée**
= **Contribution au niveau des mers**

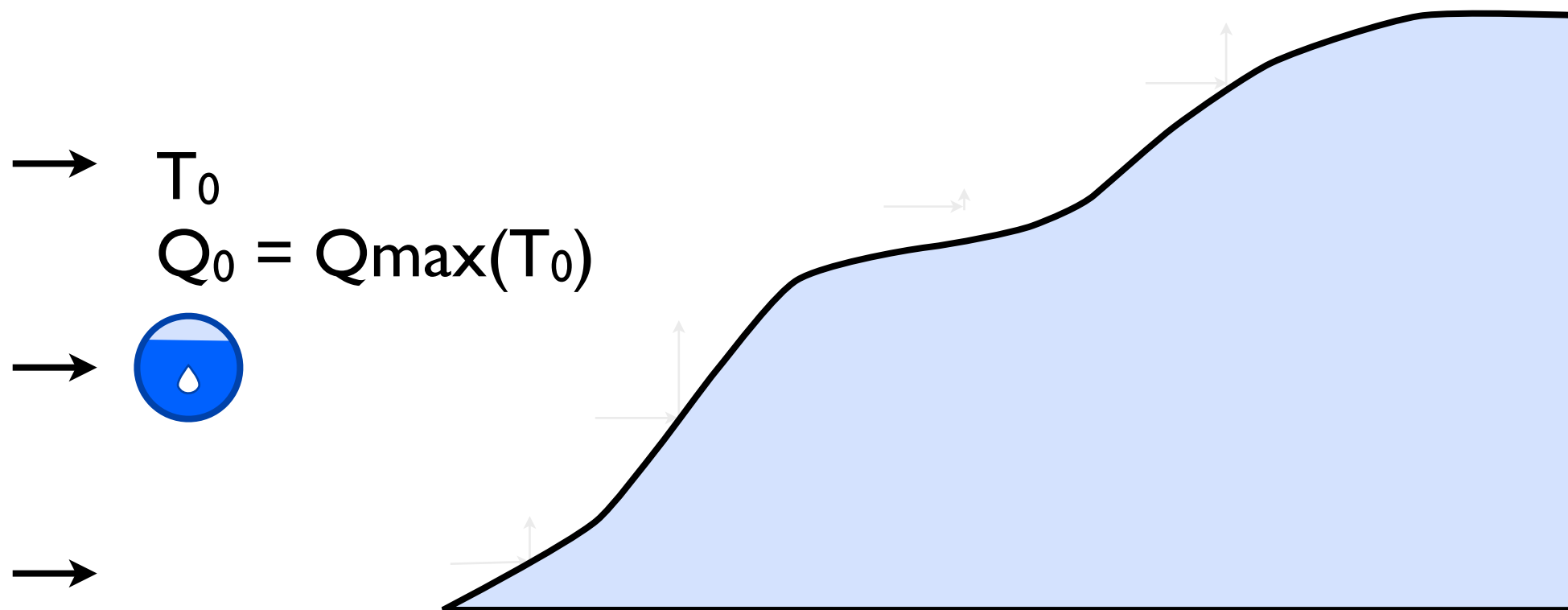
Bilan de Masse de Surface (Accu. nette) : Flux **entrant** et **sortant**
Ecoulement glaciaire (à travers la ligne d'échouage) : Flux **sortant**



2.2

Régionalisation des précipitations

Elévation de masses d'air à saturation au dessus d'un relief



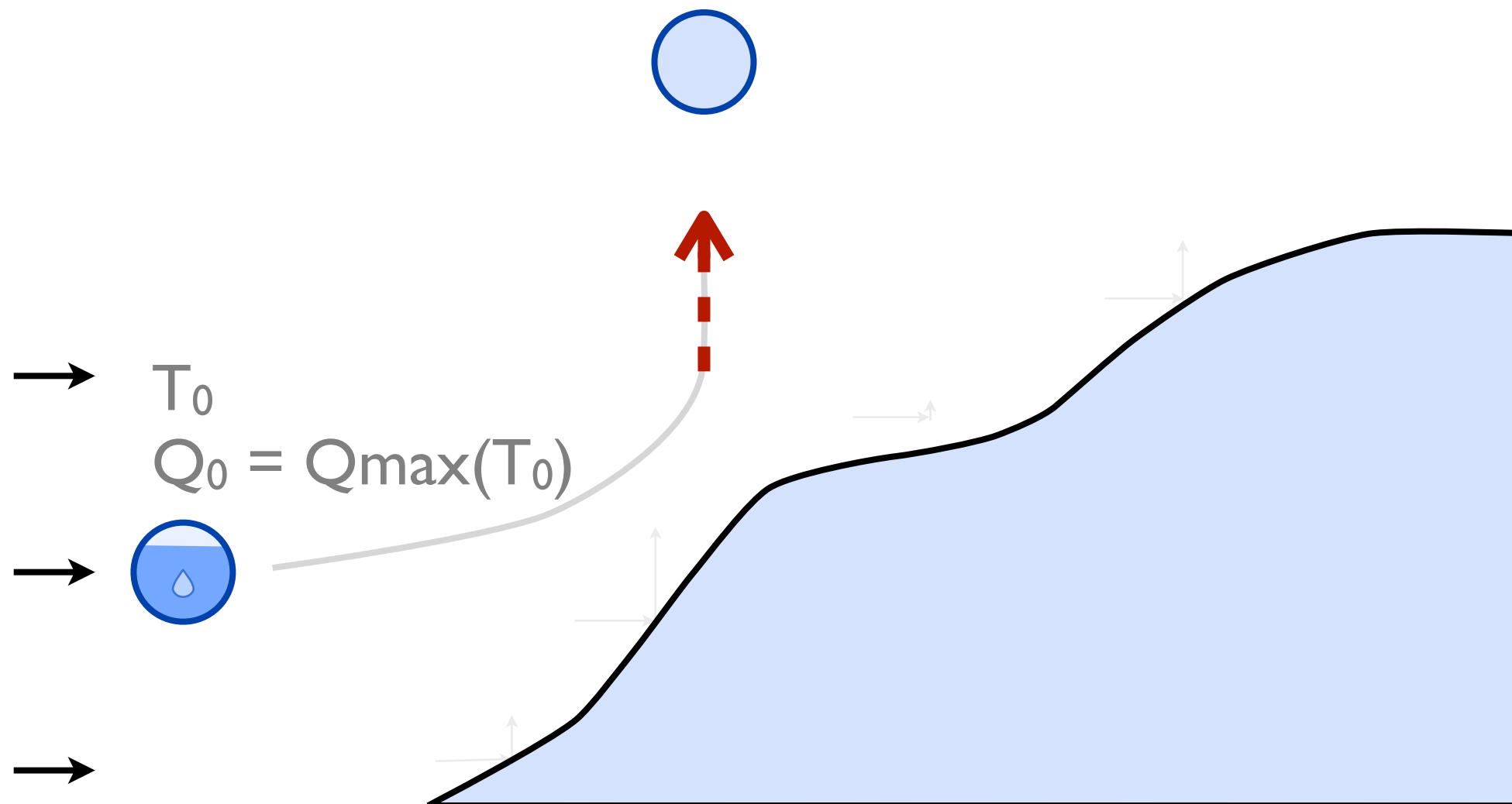
T : Température

Q : Humidité (quantité de vapeur d'eau)

2.2

Régionalisation des précipitations

Elévation de masses d'air à saturation au dessus d'un relief



T : Température

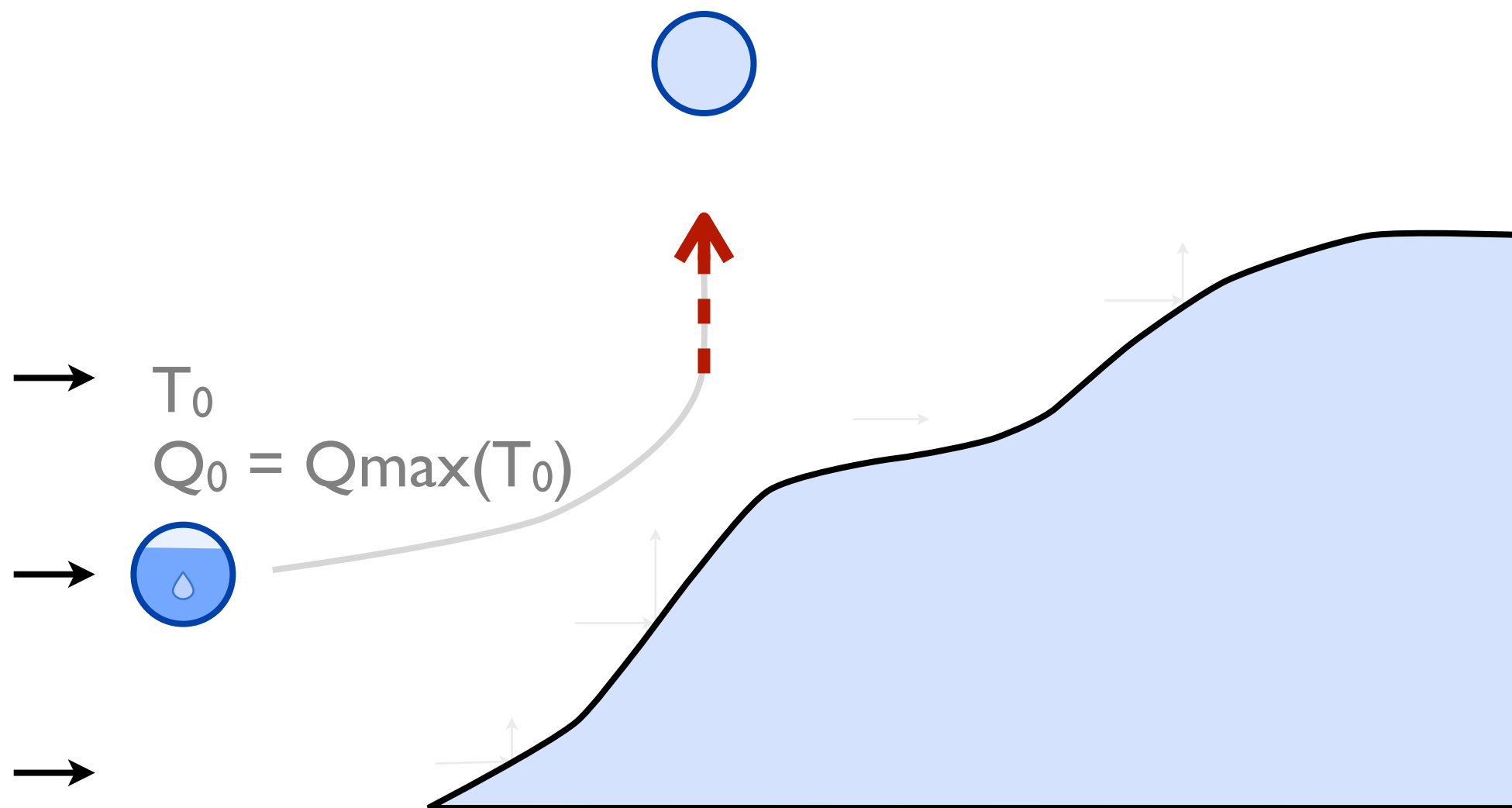
Q : Humidité (quantité de vapeur d'eau)

2.2

Régionalisation des précipitations

Elévation de masses d'air à saturation au dessus d'un relief

$T_I < T_0$ (Refroidissement adiabatique)



T : Température

Q : Humidité (quantité de vapeur d'eau)

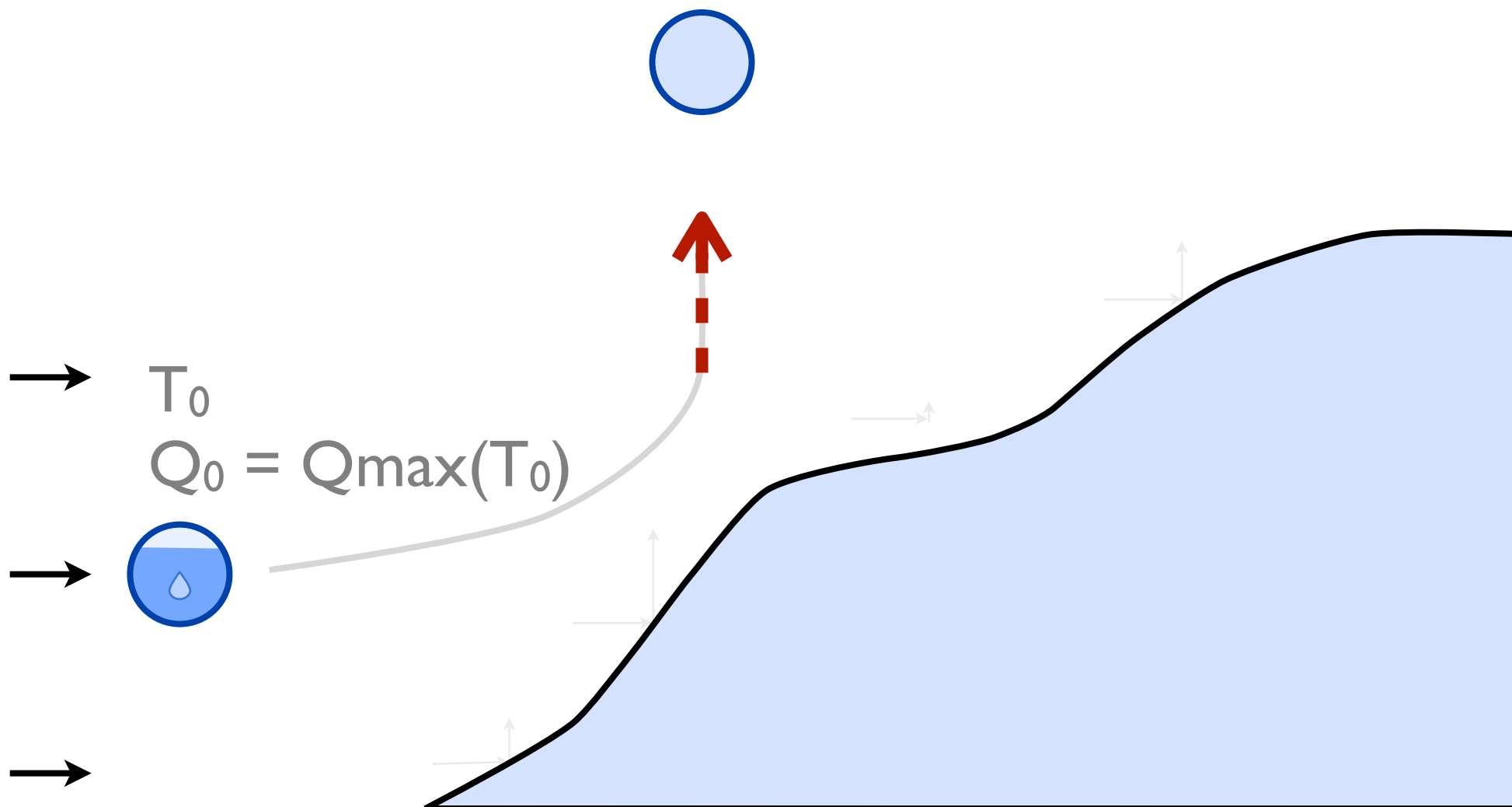
2.2

Régionalisation des précipitations

Elévation de masses d'air à saturation au dessus d'un relief

$T_1 < T_0$ (Refroidissement adiabatique)

$Q_1 = Q_{\max}(T_1) < Q_0$



T : Température

Q : Humidité (quantité de vapeur d'eau)

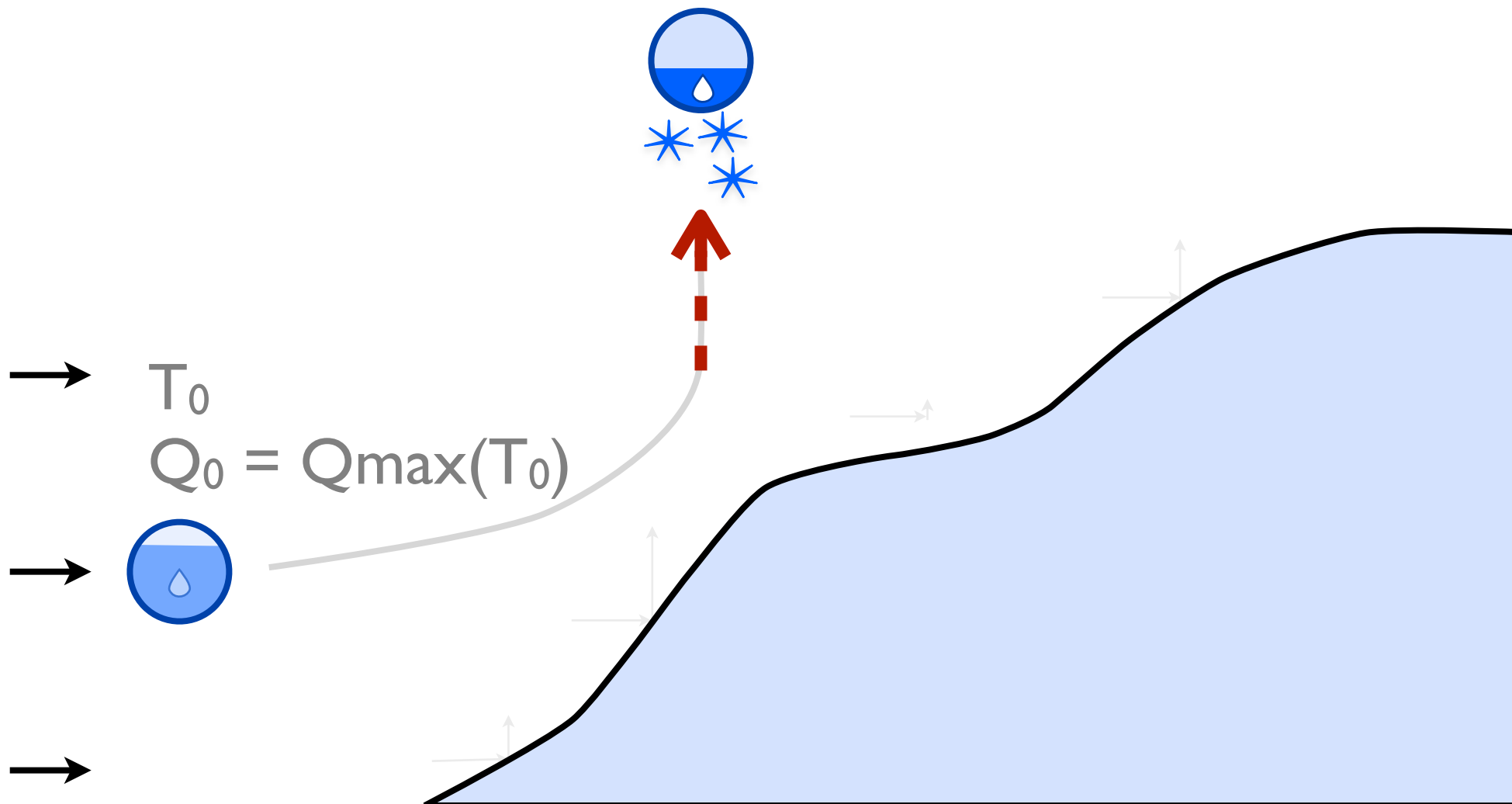
2.2

Régionalisation des précipitations

Elévation de masses d'air à saturation au dessus d'un relief

$T_1 < T_0$ (Refroidissement adiabatique)

$$Q_1 = Q_{\max}(T_1) < Q_0$$



T : Température

Q : Humidité (quantité de vapeur d'eau)

2.2

Régionalisation des précipitations

Elévation de masses d'air à saturation au dessus d'un relief

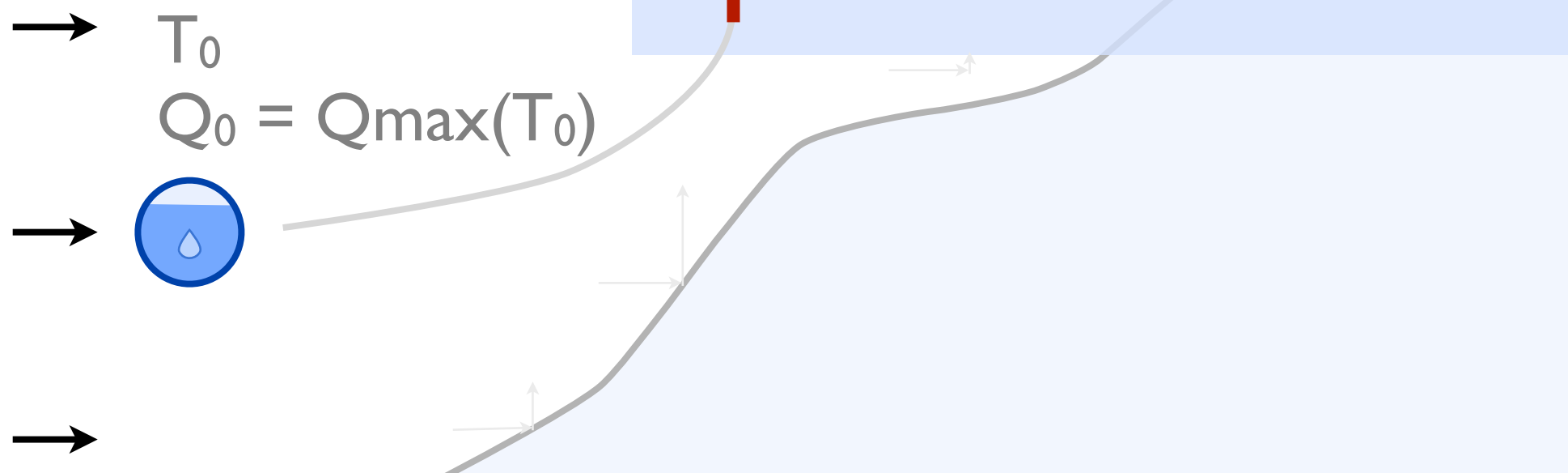
$$T_1 < T_0 \text{ (Refroidissement adiabatique)}$$

$$Q_1 = Q_{\max}(T_1) < Q_0$$



⇒ **Précipitations orographiques**

Intensité proportionnelle
à la **vitesse verticale** du vent



T : Température

Q : Humidité (quantité de vapeur d'eau)